

# Appunti dal corso di Metodi Numerici per la Grafica

Carli Samuele  
E-mail: carlisamuele@csspace.net  
[www.csspace.net](http://www.csspace.net)

17 ottobre 2010



# Indice

|   |          |
|---|----------|
| <b>1 Nozioni di base</b>                | <b>1</b> |
| Definizioni e richiami . . . . .        | 1        |
| Notazione . . . . .                     | 1        |
| Rappresentazione in Scilab . . . . .    | 1        |
| Bulk operations . . . . .               | 1        |
| Operazioni tra vettori . . . . .        | 2        |
| Prodotto scalare . . . . .              | 2        |
| Prodotto vettoriale . . . . .           | 2        |
| Combinazioni di punti . . . . .         | 3        |
| Spazi di lavoro . . . . .               | 4        |
| Trasformazioni affini . . . . .         | 4        |
| Movimenti rigidi . . . . .              | 4        |
| Proprietà . . . . .                     | 5        |
| Rappresentazioni parametriche . . . . . | 5        |
| Riparametrizzazioni . . . . .           | 6        |
| Lunghezza dell'arco . . . . .           | 6        |
| Frenet Frame . . . . .                  | 7        |
| Curvatura e Torsione . . . . .          | 7        |
| <b>2 Curve parametriche</b>             | <b>9</b> |
| Polinomi di Bernstein . . . . .         | 9        |
| Proprietà . . . . .                     | 12       |
| Non negatività . . . . .                | 12       |
| Partizionamento dell'unità . . . . .    | 12       |
| Simmetria . . . . .                     | 12       |
| Indipendenza lineare . . . . .          | 12       |
| Precisione lineare . . . . .            | 13       |
| Variation diminishing . . . . .         | 14       |
| Valori agli estremi . . . . .           | 15       |
| Derivata . . . . .                      | 16       |

---

|   |           |
|---|-----------|
| Curve di Bézier . . . . .                             | 16        |
| Proprietà . . . . .                                   | 17        |
| Convex Hull . . . . .                                 | 17        |
| Interpolazione agli estremi . . . . .                 | 17        |
| Invarianza alle trasformazioni affini . . . . .       | 17        |
| Simmetria . . . . .                                   | 18        |
| Precisione lineare . . . . .                          | 18        |
| Controllo pseudo-locale . . . . .                     | 18        |
| Variation diminishing . . . . .                       | 18        |
| Derivata . . . . .                                    | 21        |
| Tangenza agli estremi . . . . .                       | 21        |
| Algoritmi per curve di Bézier . . . . .               | 25        |
| Disegno della curva: de Casteljau . . . . .           | 25        |
| Degree elevation . . . . .                            | 26        |
| Suddivisione . . . . .                                | 28        |
| Curve di Bézier razionali . . . . .                   | 30        |
| Coordinate omogenee . . . . .                         | 30        |
| Interpretazione geometrica in $d = 3$ . . . . .       | 31        |
| Curve di Bézier razionali . . . . .                   | 32        |
| Proprietà . . . . .                                   | 34        |
| Simmetria . . . . .                                   | 34        |
| Convex Hull . . . . .                                 | 34        |
| Invarianza per trasformazioni affini . . . . .        | 34        |
| Linear precision . . . . .                            | 34        |
| Valori agli estremi . . . . .                         | 36        |
| Variation diminishing . . . . .                       | 36        |
| Controllo pseudolocale . . . . .                      | 36        |
| Derivata . . . . .                                    | 37        |
| Tangenza agli estremi . . . . .                       | 39        |
| Curve di Bézier razionali in forma standard . . . . . | 39        |
| Sezioni coniche . . . . .                             | 40        |
| Coordinate baricentriche bidimensionali . . . . .     | 40        |
| Rappresentazione di curve coniche . . . . .           | 41        |
| Archi di coniche con curve di Bézier . . . . .        | 42        |
| <b>3 Curve SPLINE</b> . . . . .                       | <b>45</b> |
| Bézier-spline . . . . .                               | 45        |
| Continuità dei raccordi . . . . .                     | 46        |
| Continuità geometrica . . . . .                       | 49        |
| Implementazioni . . . . .                             | 51        |
| B-SPLINE . . . . .                                    | 51        |
| Curve SPLINE monovariate . . . . .                    | 51        |
| Base delle potenze troncate . . . . .                 | 52        |

---

---

|   |           |
|---|-----------|
| Base delle B-SPLINE . . . . .                                   | 53        |
| Proprietà . . . . .   | 55        |
| Supporto compatto . . . . .                                     | 55        |
| Non negatività . . . . .  | 55        |
| Partizione dell'unità . . . . .                                 | 55        |
| Derivata . . . . .  | 55        |
| Indipendenza lineare . . . . .                                  | 55        |
| Generalizzazione della base delle B-SPLINE . . . . .            | 57        |
| Derivata . . . . .  | 59        |
| Curve B-SPLINE . . . . .  | 61        |
| Proprietà . . . . .   | 61        |
| Invarianza alle trasformazioni affini . . . . .                 | 61        |
| Controllo locale . . . . .                                      | 61        |
| Strong ConvexHull . . . . .                                     | 61        |
| Linear Precision . . . . .                                      | 63        |
| Derivata . . . . .  | 63        |
| End point interpolation . . . . .                               | 63        |
| Derivata agli estremi: raccordo . . . . .                       | 63        |
| Algoritmi per curve BSPLINE . . . . .                           | 66        |
| Disegno della curva: de Boor . . . . .                          | 66        |
| Knot Insertion . . . . .  | 68        |
| Curve NURBS . . . . .   | 71        |
| Proprietà . . . . .   | 71        |
| <b>4 Interpolazione</b>   | <b>75</b> |
| Parametrizzazioni . . . . .                                     | 75        |
| Interpolazione mediante SPLINE cubica $\mathcal{C}^1$ . . . . . | 78        |
| Schemi di approssimazione delle derivate . . . . .              | 79        |
| Schema FMILL . . . . .  | 79        |
| Tangenti di Bessel . . . . .                                    | 80        |
| Interpolazione mediante SPLINE cubica $\mathcal{C}^2$ . . . . . | 82        |
| Scelta delle tangenti $w_i$ . . . . .                           | 83        |
| Spline cubiche $\mathcal{C}^1 \cap \mathcal{G}^2$ . . . . .     | 92        |
| <b>5 Superfici parametriche</b>                                 | <b>97</b> |
| Rappresentazione parametrica . . . . .                          | 97        |
| Esempi di superfici parametriche . . . . .                      | 98        |
| Sfera . . . . .   | 98        |
| Cono . . . . .  | 100       |
| Riparametrizzazione ammissibile . . . . .                       | 101       |
| Tipologie di superfici . . . . .                                | 101       |
| Superfici di rivoluzione . . . . .                              | 101       |
| Superfici Rigate . . . . .                                      | 103       |

---

---

|   |            |
|---|------------|
| Superficie bilineare . . . . .                            | 103        |
| Superfici tensor-product . . . . .                        | 103        |
| Superfici tensor-product come patch Bézier . . . . .      | 105        |
| Proprietà . . . . .                                       | 105        |
| Curve di contorno . . . . .                               | 105        |
| Posizione negli angoli . . . . .                          | 105        |
| Altre proprietà . . . . .                                 | 105        |
| Forma compatta . . . . .                                  | 106        |
| Algoritmi . . . . .                                       | 106        |
| de Casteljau . . . . .                                    | 106        |
| Degree-elevation . . . . .                                | 109        |
| Subdivision . . . . .                                     | 110        |
| Interpolazione di superfici con patch di Bézier . . . . . | 113        |
| Interpolazione su punti sparsi . . . . .                  | 115        |
| Interpolazione su griglia rettangolare . . . . .          | 115        |
| Patch triangolari di Bézier . . . . .                     | 118        |
| Coordinate baricentriche . . . . .                        | 118        |
| Polinomi di Bernstein generalizzati . . . . .             | 118        |
| Proprietà . . . . .                                       | 119        |
| Non negatività . . . . .                                  | 119        |
| Partizione dell'unità . . . . .                           | 119        |
| Linear Precision . . . . .                                | 119        |
| Patch triangolari . . . . .                               | 120        |
| Proprietà . . . . .                                       | 120        |
| Comportamento ai bordi . . . . .                          | 120        |
| Controllo pseudolocale . . . . .                          | 120        |
| End-point interpolation . . . . .                         | 121        |
| Forma ricorsiva . . . . .                                 | 121        |
| Algoritmi . . . . .                                       | 121        |
| de Casteljau . . . . .                                    | 121        |
| Degree-elevation . . . . .                                | 122        |
| <b>A Codici</b>   | <b>129</b> |
| A.1 Bézier SPLINE . . . . .                               | 129        |
| A.2 Curve di Bézier . . . . .                             | 133        |
| A.3 Curve BSPLINE . . . . .                               | 137        |
| A.4 Interpolazione . . . . .                              | 140        |
| A.5 Superfici parametriche . . . . .                      | 149        |
| A.6 Mouse input . . . . .                                 | 155        |
| A.7 Lista di import per tutti gli script . . . . .        | 156        |

---

# Nozioni di base

## Definizioni e richiami

### Notazione

- $v$  è un vettore
- $v_i$  è l' $i$ -esma componente del vettore  $v$
- $\alpha, \alpha_i$  è un numero (array di)
- $P$  è un punto (ovvero un vettore  $d$ -dimensionale)
- $X$  è una curva

dove non diversamente specificato.

### Rappresentazione in Scilab

I vettori sono convenzionalmente intesi come vettori colonna<sup>†</sup>.

### Bulk operations

Gli oggetti grafici sono usualmente rappresentati come liste di punti; in generale una curva sarà rappresentata con una matrice  $d \times n$ <sup>‡</sup>.

Per migliorare l'efficienza le operazioni tra vettori sono implementate in modo da eseguire la stessa operazione in blocco su liste di vettori di lunghezza arbitraria (ovvero punto a punto lungo una curva).

<sup>†</sup>da dichiarare esplicitamente tali in Scilab

<sup>‡</sup>In questo contesto  $d=2$  o  $3$

## Operazioni tra vettori

### Prodotto scalare

**Definizione 1.1** (Prodotto scalare).

$$\bullet, \cdot^\dagger : \mathbb{R}^d \times \mathbb{R}^d \rightarrow \mathbb{R}$$

### Proprietà

- $vw = |v||w| \cos \alpha = v^T w$
- $v, w \neq 0 \implies vw = 0 \Leftrightarrow v \perp w$
- $vw = wv$
- $\lambda vw = (\lambda v)w = v(\lambda w)$
- $v(u + w) = vu + vw$

Su una base canonica:  $vw = \sum v_i w_i = v^T w$

Dati  $v(t), w(t)$ :

$$\frac{d}{dt} v(t) w(t) = \frac{dv(t)}{dt} w(t) + \frac{dw(t)}{dt} v(t)$$

### Prodotto vettoriale

**Definizione 1.2** (Prodotto vettoriale).

$$\times, \wedge : \mathbb{R}^d \times \mathbb{R}^d \rightarrow \mathbb{R}^d$$

con  $d = 2, 3$

### Proprietà

- $v \wedge w = u$
- $u = w \wedge v = 0 \Leftrightarrow v = 0 \circ w = 0 \circ w = v = 0$
- $u = w \wedge v = 0$  se  $w$  parallelo  $v$
- $u$  è perpendicolare al piano individuato da  $u, w$  con direzione convenzionale
- $|u| = |v||w| |\sin \alpha|$
- $\lambda v \wedge w = (\lambda v) \wedge w = v \wedge (\lambda w)$

---

<sup>†</sup>Per brevità talvolta si omette completamente l'operatore:  $vw$

Dati  $v(t), w(t)$ :

$$\frac{d}{dt}(v(t) \wedge w(t)) = \frac{dv(t)}{dt} \wedge w(t) + \frac{dw(t)}{dt} \wedge v(t)$$

Casi particolari:

$$\begin{pmatrix} a \\ b \end{pmatrix} \wedge \begin{pmatrix} c \\ d \end{pmatrix} = (ad - cb)$$

$$\begin{pmatrix} v_1 \\ v_2 \\ v_3 \end{pmatrix} \wedge \begin{pmatrix} w_1 \\ w_2 \\ w_3 \end{pmatrix} = \begin{pmatrix} v_2 w_3 - v_3 w_2 \\ v_3 w_1 - v_1 w_3 \\ v_1 w_2 - v_2 w_1 \end{pmatrix}$$

Cross product 2D/3D su array di vettori

```

1 function cp = crossprod(x,y)
2     [rx,cx] = size(x);
3     [ry,cy] = size(y);
4     if or([rx~=ry,cx~=cy]) then printf("Cannot crossprod different vectors!"); cp=0; end;
5     if rx==2 then
6         cp = diag( x' * [y(2,:);-y(1,:)] )'
7     end;
8     if rx==3 then
9         cp = []
10        for n=1:cx
11            cp = [cp,[x(2,n)*y(3,n)-x(3,n)*y(2,n); x(3,n)*y(1,n)-x(1,n)*y(3,n); x(1,n)*y(2,n)-x(2,n)*y(1,n) ] ]
12        end;
13    end;
14 endfunction

```

## Combinazioni di punti

Una combinazione di punti:

$$P = \sum_i \alpha_i P_i, \quad \alpha_i \in \mathbb{R}, P_i \in \mathbb{E}^d$$

si dice *baricentrica* se  $\sum_i \alpha_i = 1$ , *convessa* se anche  $\alpha_i > 0 \forall i$

Se la combinazione è baricentrica, può essere scritta come la somma di uno qualsiasi degli addendi e un vettore:

$$\sum_i \alpha_i P_i = P_k + \sum_i \alpha_i P_i - \sum_i \alpha_i P_k = P_k + \sum_i \alpha_i (P_i - P_k)$$

Una combinazione baricentrica convessa è utile per rappresentare parametrizzazioni di oggetti:

**Esempio 1.1** (Punto medio di un segmento).

$$s = \overline{b_0 b_1}; \quad b_0, b_1 \in \mathbb{R}^2;$$

$$M = \sum_{i=1,2} \alpha_i b_i = b_0 + \alpha_0(b_1 - b_0) + \alpha_1(b_1 - b_0) = b_0 + \alpha_1(b_1 - b_0); \quad \alpha_1 = \alpha_2 = \frac{1}{2}$$

**Esempio 1.2** (Punti di un segmento). Generalizzando l'esempio precedente:

$$s = \overline{b_0 b_1}; \quad b_0, b_1 \in \mathbb{R}^2; \quad t \in [0, 1];$$

$$P(t) = tb_0 + (1-t)b_1 = b_0 + (1-t)(b_1 - b_0)$$

## Spazi di lavoro

**Definizione 1.3** (Spazio di lavoro). Si definisce *spazio affine* di ordine  $d$ , a partire da un punto  $O \in \mathbb{R}^d$ , l'insieme:

$$\mathbb{E}^d = \{P = O + v \mid v \in \mathbb{R}^d\}$$

**Definizione 1.4** (Convex Hull).

$$CH_{b_0 \dots b_n} = \left\{ P \in \mathbb{E}^d \mid P = \sum_i \alpha_i b_i \right\}$$

in cui gli  $\alpha_i$  formano una combinazione baricentrica convessa.

$CH$  è il più piccolo insieme convesso che contiene i punti  $b_0 \dots b_n$

## Trasformazioni affini

**Definizione 1.5** (Trasformazione affine).

$$\Phi(x) : \mathbb{E}^d \rightarrow \mathbb{E}^d$$

lineare rispetto ad  $x$ .

Generalmente si usano funzioni del tipo

$$\Phi(x) = Ax + v \tag{1.1}$$

in cui  $A \in \mathcal{M}^{d \times d}$  e  $v \in \mathbb{R}^d$  che sono lineari e permettono di definire facilmente le trasformazioni più comuni in grafica.

## Movimenti rigidi

**Traslazione** La traslazione si ottiene con una funzione del tipo (1.1) in cui  $A \equiv I$ , per cui  $\Phi(x) = x + v$ . Alternativamente è possibile modificare la matrice  $A$ :

$$\begin{pmatrix} 1 & 0 & a \\ 0 & 1 & b \\ 0 & 0 & 1 \end{pmatrix} \begin{pmatrix} x \\ y \\ 1 \end{pmatrix} = \begin{pmatrix} x + a \\ y + b \\ 1 \end{pmatrix}$$

**Rotazione** La rotazione intorno all'origine (del sistema di riferimento ortonormale corrente) si ottiene ancora con una funzione del tipo (1.1) in cui  $v \equiv 0$  (vettore nullo, non c'è traslazione) ed in cui la matrice, nel caso tridimensionale, assume la forma<sup>†</sup>:

$$\begin{pmatrix} \cos \theta & -\sin \theta & 0 \\ \sin \theta & \cos \theta & 0 \\ 0 & 0 & 1 \end{pmatrix}$$

---

<sup>†</sup>In questo esempio ruota intorno all'asse  $z$ ; per cambiare asse è sufficiente modificare coerentemente la matrice. Ad esempio per ruotare intorno all'asse  $x$ :  $\begin{pmatrix} 1 & 0 & 0 \\ 0 & \cos \theta & -\sin \theta \\ 0 & \sin \theta & \cos \theta \end{pmatrix}$

**Scalatura** La scalatura si ottiene imponendo un fattore di scala ad ogni dimensione della matrice identità:

$$\begin{pmatrix} \alpha & 0 & 0 \\ 0 & \beta & 0 \\ 0 & 0 & \gamma \end{pmatrix}$$

### Proprietà delle trasformazioni affini della famiglia (1.1)

Le trasformazioni affini sono lineari rispetto alle combinazioni baricentriche. Infatti:

$$\Phi(P) = \Phi\left(\sum_i \alpha_i P_i\right) = A\left(\sum_i \alpha_i P_i\right) + v \sum_i^= \alpha_i = \sum_i \alpha_i(AP_i + v) = \sum_i \alpha_i \Phi(P_i)$$

Inoltre, se  $A$  è ortogonale<sup>†</sup>, una trasformazione della famiglia (1.1) lascia invariati angoli e lunghezze.

Infatti, dati  $x, y$  vettori, per le lunghezze:

$$\|\Phi(x) - \Phi(y)\|^2 = \|Ax + v - Ay - v\|^2 = \|A(x - y)\|^2 =_{def} (A(x - y))^T (A(x - y)) = \|x - y\|^2$$

Per gli angoli, se  $x, y$  sono tali che  $x^T y = |x||y| \cos \theta$  ed, in quanto vettori, possono essere letti come  $x = a - b; y = c - d$  (con  $a, b, c, d \in \mathbb{R}^d$ ):

$$\Phi(x)^T \Phi(y) = (\Phi(a) - \Phi(b))^T (\Phi(c) - \Phi(d)) = (Ax)^T Ay = x^T y$$

## Rappresentazioni parametriche

**Definizione 1.6** (Curva). Si definisce curva l'immagine di un'applicazione  $X : I \rightarrow \mathbb{E}^d$  continua e localmente iniettiva.

**Definizione 1.7** (Rappresentazione Parametrica). L'applicazione  $X : I \rightarrow \mathbb{E}^d$  continua e localmente iniettiva si dice rappresentazione a parametri in  $I$  della curva; in generale una stessa curva può ammettere più di una rappresentazione parametrica.<sup>‡</sup>

**Definizione 1.8** (Rappresentazione parametrica differenziabile). La rappresentazione  $X(t)$  di dice differenziabile se esiste la funzione:

$$\dot{X}(t) = \frac{dX(t)}{dt}$$

Se  $\dot{X} \neq 0$  su tutto l'intervallo di definizione  $I$ ,  $X$  si dice *differenziabile regolare*

---

<sup>†</sup> $A^T A = AA^T = I$

<sup>‡</sup>Ad esempio, un segmento di retta (curva degenera) tra l'origine e il punto  $(1,1)$  può essere rappresentata in forma implicita ( $ax + by + c = 0$ ), esplicita ( $y = mx + q$ ) o parametrica su un'intervallo  $I (= [0, 1]$  per esempio):

$$X(t) = \begin{cases} x = t \\ y = t \end{cases} \quad \text{o equivalentemente } X(t) = \begin{cases} x = 1 - t^k \\ y = 1 - t^k \end{cases}$$

## Riparametrizzazioni

La non unicità della rappresentazione parametrica suggerisce che si possa passare da una rappresentazione all'altra di una stessa curva, utilizzando di volta in volta la parametrizzazione con le caratteristiche più adatte al contesto.

**Definizione 1.9** (Funzioni di riparametrizzazione). Sia  $\tau : I \rightarrow I_2$ . Si definisce *riparametrizzazione di  $X$  rispetto a  $\tau$*  una funzione  $\tilde{X}$  tale che  $\tilde{X}(\tau(t)) = X(t)$ .

Si ha che:

$$\frac{d\tilde{X}}{d\tau} = \frac{dX}{dt} \frac{1}{\frac{d\tau}{dt}} = \frac{dX}{dt} \frac{dt}{d\tau}$$

in cui  $dX/dt$  è la tangente alla curva e  $dt/d\tau$  è uno scalare  $> 0$ .

Se  $\tau \in C^1$  e  $\dot{\tau} > 0$  su tutto  $I$  la riparametrizzazione si dice *ammissibile*; in questo caso la curva è percorsa tutta nello stesso verso e la sua tangente non cambia verso né direzione, ma solo il modulo.

*Osservazione 1.1* (Tangente alla curva). La tangente alla curva non può essere usata per caratterizzarla, in quanto potenzialmente cambia modulo al cambiare della rappresentazione.

Per caratterizzare una curva occorre definire il *versore tangente*:

$$e_1(t) = \frac{\dot{X}(t)}{|\dot{X}(t)|}, \quad \dot{X}(t) \neq 0$$

**Definizione 1.10** (Rappresentazione parametrica regolare). Se  $\dot{X}(t) \neq 0 \forall t \in I$  la rappresentazione parametrica si dice *regolare*.

## Lunghezza dell'arco

**Definizione 1.11** (Lunghezza dell'arco). Si definisce *lunghezza dell'arco* la funzione:

$$S(t) = \int_a^t \left| \frac{dX(z)}{dz} \right| dz$$

La lunghezza dell'arco può essere usata come funzione di riparametrizzazione ammissibile, che ha anche la caratteristica di essere lineare rispetto alle lunghezze sulla curva. In particolare  $S : [a, b] \rightarrow [0, l]$ , e  $\frac{dS(t)}{dt} = \left| \frac{dX(t)}{dt} \right|$  implica che se  $X(t)$  è regolare anche  $S(t)$  lo è, e vale anche:

$$\frac{dX}{dS} = \frac{dX}{dt} \frac{dt}{dS} = \frac{dX}{dt} \frac{1}{\left| \frac{dX}{dt} \right|} = 1$$

*Osservazione 1.2* (Invarianza rispetto alla rappresentazione). La lunghezza dell'arco è invariante rispetto alla rappresentazione parametrica della curva, infatti, cambiando parametrizzazione:

$$S(z) = \int_a^z \left| \frac{dX}{dy} \right| dy = \int_a^k \left| \frac{dX}{dt} \frac{dt}{dy} \right| \frac{dy}{dt} dt = S(k)$$

## Frenet Frame

**Definizione 1.12** (Fernet Frame). Il *Frenet Frame* è un sistema di coordinate ortonormali definito localmente in un punto di una curva  $X(t)$ .

È possibile definire un Frenet frame<sup>†</sup> a partire dalle derivate di una qualsiasi rappresentazione parametrica  $X(t)$  di una curva:

$$\left\{ \begin{array}{ll} e_1(t) = \frac{\dot{X}(t)}{|\dot{X}(t)|} & \text{versore tangente} \\ e_2(t) = \frac{\frac{de_1(t)}{dt}}{|\frac{de_1(t)}{dt}|} = \frac{\dot{X}(t) \times (\ddot{X}(t) \times \dot{X}(t))}{|\dot{X}(t)||\ddot{X}(t) \times \dot{X}(t)|} = \frac{\dot{X}(t)(\dot{X}(t) \cdot \ddot{X}(t))}{|\dot{X}(t)(\dot{X}(t) \cdot \ddot{X}(t))|} & \text{versore normale} \\ e_3(t) = e_1(t) \times e_2(t) & \text{versore binormale}^{\ddagger} \end{array} \right.$$

## Curvatura e Torsione

**Definizione 1.13** (Curvatura). Si definisce *curvatura* la quantità:

$$K(t) = \frac{|\dot{X}(t) \times \ddot{X}(t)|}{|\dot{X}(t)|^3}$$

La curvatura è una grandezza caratteristica della curva indipendente dalla sua rappresentazione parametrica.

L'espressione della curvatura si semplifica notevolmente quando la rappresentazione è lunghezza dell'arco:

$$K(s) = |\ddot{X}(s)|$$

in quanto  $\dot{X}(s) \equiv 1$ .

### Calcolo della curvatura

```

1 function K = curvature(dx, ddx)
2   K=(sum(crossprod(dx, ddx).^2, 'r')^0.5)./(sum(dx.^2, 'r')^0.5)^3
3 endfunction

```

**Definizione 1.14** (Torsione). Si definisce *torsione* la quantità:

$$\tau(t) = \frac{\det([\dot{X}(t); \ddot{X}(t); \dddot{X}(t)])}{|\dot{X}(t) \times \ddot{X}(t)|^2}$$

<sup>†</sup>L'insieme di tutti i Frenet frame è rappresentato tramite tre vettori ortonormali  $e_1, e_2, e_3$ ; in realtà ognuno di essi è una funzione del parametro della rappresentazione della curva (C'è un Frenet frame diverso per ogni punto della curva).

<sup>‡</sup>Identità "BAC-CAB":  $A \times (B \times C) = B(A \cdot C) - C(A \cdot B)$ .

La torsione si annulla solo quando il prodotto misto è nullo:

$$(\dot{X}(t) \times \ddot{X}(t)) \cdot \ddot{X}(t) = \det([\dot{X}(t); \ddot{X}(t); \ddot{X}(t)]) = 0$$

La torsione è non nulla solo nello spazio e non su un piano.

#### Calcolo della torsione

```
1 function T = torsione(dx,ddx,dddx)
2 [d,n] = size(dx)
3 den = (sum(crossprod(dx,ddx).^2,'r'));
4 T = [];
5 for i=1:n
6     T = [T,det([dx(:,i),ddx(:,i),dddx(:,i)])]/den(i)];
7 end;
8 endfunction
```

## Curve parametriche

### Polinomi di Bernstein

**Definizione 2.1** (Base di Bernstein). I *polinomi di Bernstein* sono una famiglia di polinomi definiti, per ogni  $n \in \mathbb{N}^+$ , come:

$$\begin{cases} B_0^0(t)^\dagger = 1 \\ B_i^n(t) = \binom{n}{i} t^i (1-t)^{n-i} \in \Pi_n, i \leq n \\ B_i^n(t) = 0, i > n, i < 0 \ddagger \end{cases}$$

**Definizione 2.2** (Polinomi di Bernstein in forma ricorsiva).

$$\begin{aligned} B_0^0 &= 1 \\ B_j^n &= 0, \quad j \neq 0, 1, \dots, n \\ B_i^n &= (1-t)B_{i-1}^{n-1} + tB_i^{n-1} \end{aligned}$$

Le due definizioni sono equivalenti, infatti:

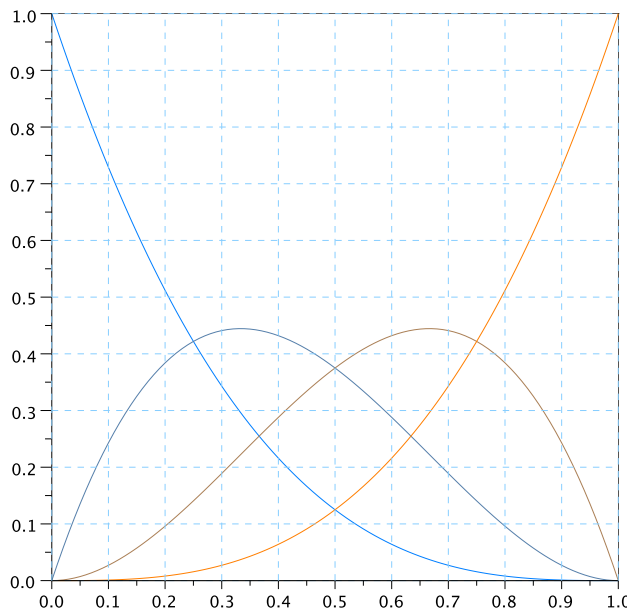
Caso ( $i = 0$  e  $i = n$ ).

$$B_0^n(t) = (1-t)^n, \quad B_n^n = t^n$$

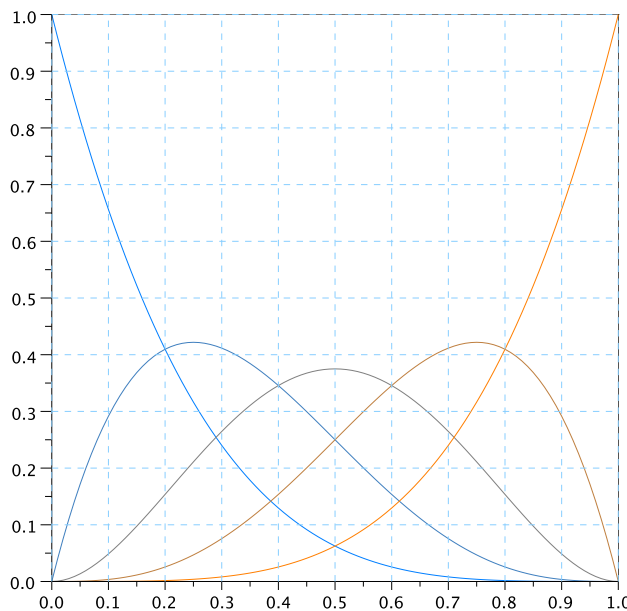
---

<sup>†</sup>Per brevità talvolta si omette di specificare il parametro ( $t$ )

<sup>‡</sup>Successivamente utile ai fini della rappresentazione e del calcolo



(a) Terzo grado



(b) Quarto grado

Figura 2.1: Basi di Bernstein  $B_i^n(t)$

---

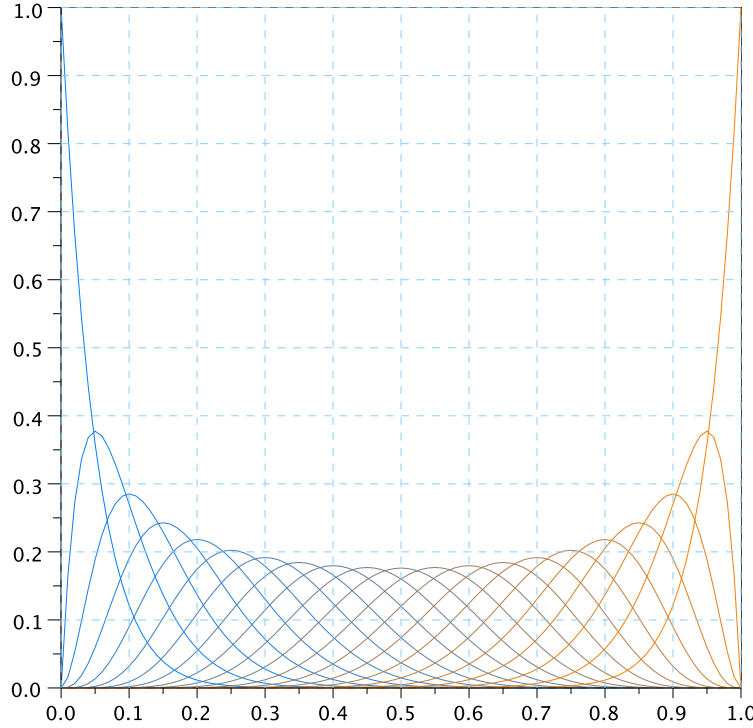


Figura 2.2: Basi di Bernstein di ventesimo grado

Caso ( $0 < i < n$ ). in quanto  $\binom{n}{i} = \binom{n-1}{i} + \binom{n-1}{i-1}$ :

$$\begin{aligned}
 B_i^n(t) &= \binom{n}{i} t^i (1-t)^{n-i} = \left( \binom{n-1}{i} + \binom{n-1}{i-1} \right) t^i (1-t)^{n-i} \\
 &= (1-t) \binom{n-1}{i} t^i (1-t)^{n-i-1} + t \binom{n-1}{i-1} t^{i-1} (1-t)^{n-i} \\
 &= (1-t) B_i^{n-1} + t B_{i-1}^{n-1}
 \end{aligned}$$

**Definizione 2.3** (Polinomi di Bernstein di grado  $n$ ). Si definisce *Polinomio di Bernstein di grado  $n$*  la serie:

$$p(t) = \sum_{k=0}^n c_k B_k^n(t)$$

## Proprietà

I polinomi di Bernstein sono definiti su tutto  $\mathbb{R}$ , ma ci si limita a studiarne le proprietà nell'intervallo  $[0, 1]$  (sufficiente in questo contesto).

*Osservazione 2.1 (Mappabilità della base).* I polinomi di Bernstein possono essere definiti, in maniera equivalente, su qualsiasi intervallo  $[a, b]$  mappabile a  $[0, 1]$ :

$$B_i^n(t) = \binom{n}{i} \frac{(t-1)^i (b-t)^{n-i}}{(b-a)^n}, \quad t \in [a, b]$$

### Non negatività

Ogni polinomio della base è non negativo in quanto prodotto di componenti non negative ( $\binom{n}{i}, t^i, (1-t)^{n-i}$ ).

### Partizionamento dell'unità

$$\sum_{i=0}^n B_i^n(t) = 1$$

infatti,  $\forall t \in \mathbb{R}$ :

$$1 = (t + (1-t))^n =_{def} \sum_{i=0}^n \binom{n}{i} t^i (1-t)^{n-i} \equiv \sum_{i=0}^n B_i^n(t)$$

### Simmetria

$$B_i^n(t) = B_{n-i}^n(1-t)$$

infatti:

$$B_i^n(t) = \binom{n}{i} t^i (1-t)^{n-i} = \binom{n}{n-i} (1-t)^{n-i} t^i = {}^\dagger B_{n-i}^n(1-t)$$

### Indipendenza lineare

I polinomi di Bernstein sono una base per  $\Pi_n$ ; infatti,  $B_i^n$  può essere scritto come:

$$B_i^n(t) = \binom{n}{i} t^i (1-t)^{n-i} = t^i \binom{n}{i} \sum_{j=0}^{n-i} \binom{n-i}{j} [1^j] - 1^{n-i-j} t^{n-i-j}$$

---

<sup>†</sup>Per il binomio di Newton vale la proprietà  $\binom{n}{i} = \binom{n}{n-i}$

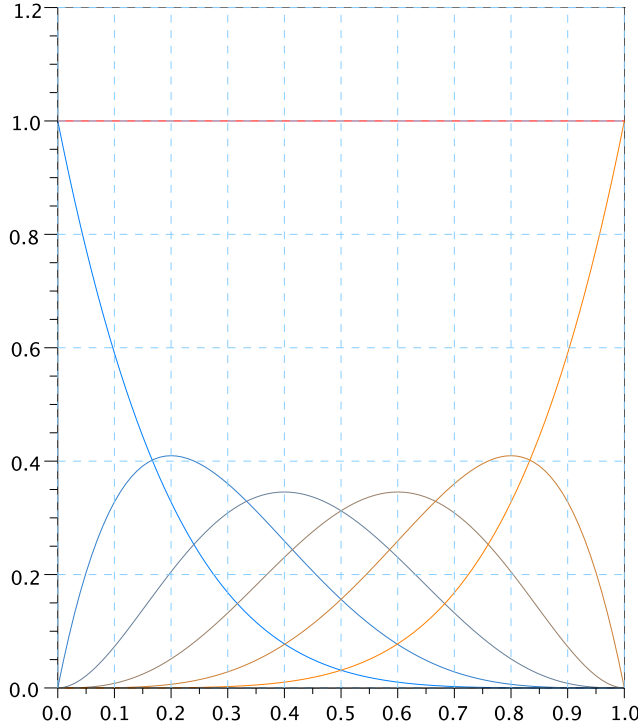


Figura 2.3: Partizionamento dell'unità, la somma dei polinomi è evidenziata in rosso

da cui:

$$\begin{pmatrix} B_0^n \\ \vdots \\ B_n^n \end{pmatrix} = \begin{pmatrix} 1 & \dots & \dots & \dots & 1 \\ 0 & \ddots & & & \vdots \\ \vdots & & \binom{n}{i} & & \vdots \\ \vdots & & & \ddots & \vdots \\ 0 & & & & 1 \end{pmatrix} \begin{pmatrix} t^0 \\ \vdots \\ t^n \end{pmatrix}$$

Se la matrice del cambio di base è non singolare i polinomi di Bernstein sono linearmente indipendenti; la matrice è non singolare in quanto triangolare superiore con tutti elementi non nulli sulla diagonale (determinante non nullo).

### Precisione lineare

$$\sum_{i=0}^n \frac{i}{n} B_i^n(t) = t$$

Infatti, per induzione su  $n$ :

$$B_1^1(t) = t$$

e supponendo che valga per  $n - 1$ :

$$\begin{aligned} \sum_{i=0}^n \frac{i}{n} B_i^n(t) &= \sum_{i=0}^n \frac{i}{n} [(1-t)B_i^{n-1} + tB_{i-1}^{n-1}] \\ &= \frac{n-1}{n}(1-t) \sum_{i=0}^{n-1} \frac{i}{n-1} B_i^{n-1}(t) + t \frac{n-1}{n} \sum_{i=1}^n \frac{i}{n-1} B_{i-1}^{n-1}(t) \\ &= \frac{n-1}{n}(1-t)t + \frac{n-1}{n}t \sum_{j=0}^{n-1} \frac{j+1}{n-1} B_j^{n-1}(t) = \\ &= \frac{n-1}{n}(1-t)t + \frac{n-1}{n}t \left[ \sum_{j=0}^{n-1} \frac{j}{n-1} B_j^{n-1}(t) + \frac{1}{n-1} \sum_{j=0}^{n-1} \frac{j+1}{n-1} B_j^{n-1}(t) \right] \\ &= \frac{n-1}{n}(1-t)t + \frac{n-1}{n}t \left[ t + \frac{1}{n-1} \right] = \\ &= \frac{n-1}{n}(1-t)t + \frac{n-1}{n}t^2 + \frac{t}{n} = t \end{aligned}$$

## Variation diminishing

Un polinomio di Bernstein  $p(t) = \sum_{k=0}^n c_k B_k^n(t)$  a coefficienti  $c_0, \dots, c_n$ , dato  $V$  il numero di variazioni di segno della sequenza di costanti e  $N$  numero di radici reali di  $p(t)$  contate con la loro molteplicità, gode della proprietà:

$$N \leq V, \quad \text{e} \quad N = V - 2k, \quad t \in [0, 1].$$

Infatti,

$$p(t) = \sum_{k=0}^n c_k \binom{n}{k} t^k (1-t)^{n-k}$$

parametrizzato su  $u \in [0, \infty]$ , ovvero considerando  $t = \frac{u}{1+u}$  e  $(1-t) = \frac{1}{1+u}$ , diventa:

$$p(t(u)) = \sum_{k=0}^n c_k \binom{n}{k} \left(\frac{u}{1+u}\right)^k \left(\frac{1}{1+u}\right)^{n-k} = \sum_{k=0}^n c_k \binom{n}{k} \frac{u^k}{(1+u)^n} = \frac{1}{(1+u)^n} \sum_{k=0}^n c_k \binom{n}{k} u^k$$

che è un polinomio sulla base canonica per il quale vale la regola di Cartesio<sup>†</sup>.

---

<sup>†</sup>Il numero di radici positive (contato con molteplicità) è dato dal numero di cambi di segno (variazioni) fra due coefficienti consecutivi.

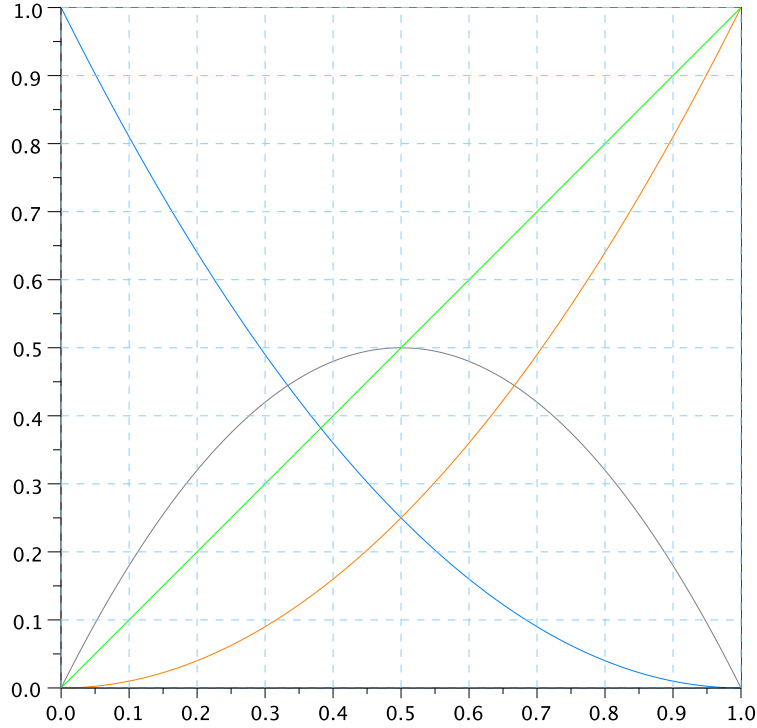


Figura 2.4: Precisione lineare: in verde  $\sum_{i=0}^n \frac{i}{n} B_i^n(t)$ .

### Valori agli estremi

$$B_i^n(0) = \begin{cases} 1, & i = 0 \\ 0, & i \neq 0 \end{cases}$$

$$B_i^n(1) = \begin{cases} 1, & i = n \\ 0, & i \neq n \end{cases}$$

## Derivata

La derivata dei polinomi di Bernstein può essere espressa in termini della base di Bernstein stessa:

$$\begin{aligned}
 \frac{dB_i^n}{dt} &= \frac{d}{dt} \binom{n}{i} t^i (1-t)^{n-i} = \\
 &= \frac{i n!}{i!(n-i)!} t^{i-1} (1-t)^{n-1} - \frac{(n-i)n!}{i!(n-i)!} t^i (1-t)^{n-1-i} \\
 &= n \frac{(n-1)!}{(i-1)!(n-i)!} t^{i-1} (1-t)^{n-i} - n \frac{(n-i)!}{i!(n-i-1)!} t^i (1-t)^{n-i-1} \\
 &= n \left( \binom{n-1}{i-1} t^{i-1} (1-t)^{n-1} - \binom{n-1}{i} t^i (1-t)^{n-i-1} \right) \\
 &= n (B_{i-1}^{n-1}(t) - B_i^{n-1}(t))
 \end{aligned}$$

La stessa derivata però può anche essere rappresentata in modo da evidenziare il comportamento della funzione:

$$\begin{aligned}
 \frac{dB_i^n}{dt} &= \frac{d}{dt} \binom{n}{i} t^i (1-t)^{n-i} \\
 &= \binom{n}{i} t^{i-1} (1-t)^{n-i-1} [i(1-t) - t(n-i)] \\
 &= \binom{n}{i} t^{i-1} (1-t)^{n-i-1} [i - nt]
 \end{aligned}$$

da cui si nota che i punti non banali in cui la derivata si annulla sono facilmente determinabili:  
 $\hat{t}_i = \frac{i}{n}$ , con  $i = 0, \dots, n$

## Curve di Bézier

**Definizione 2.4** (Curva di Bézier). Dati  $b_0, \dots, b_n \in \mathbb{E}^d$  insieme di punti di controllo, si definisce *curva di Bézier* il polinomio:

$$X(t) = \sum_{i=0}^n b_i B_i^n(t), \quad t \in [0, 1]$$

**Definizione 2.5** (Poligono di controllo). Si definisce *poligono di controllo* il poligono che si ottiene unendo ordinatamente i punti di controllo.

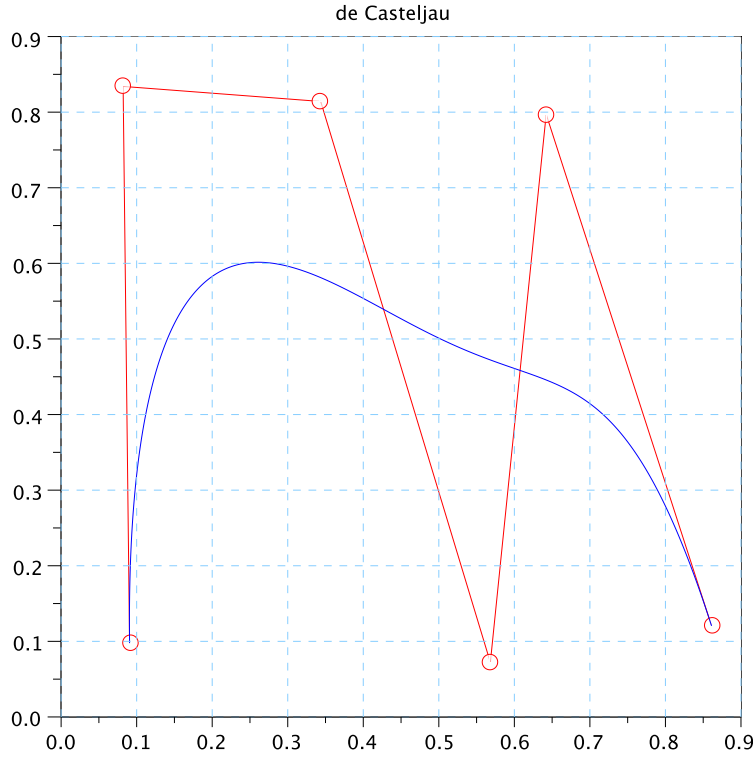


Figura 2.5: Esempio di curve di Bézier; in rosso il poligono di controllo

## Proprietà

### Convex Hull

La curva giace completamente nella convex hull dei punti di controllo, in quanto ogni punto della curva è una combinazione baricentrica di questi<sup>†</sup>.

### Interpolazione agli estremi

Segue direttamente dai valori agli estremi dei polinomi di Bernstein che  $X(0) \equiv b_0$  e  $X(1) \equiv b_n$ .

### Invarianza alle trasformazioni affini

Data  $\Phi : \mathbb{E}^d \rightarrow \mathbb{E}^d$  di tipo  $\Phi(p) = Ap + v$ , si ha:

$$\Phi(X(t)) = AX(t) + v = \sum_{i=0}^n Ab_i B_i^n(t) + \sum_{i=0}^n v B_i^n(t) = \sum_{i=0}^n (Ab_i + v) B_i^n(t) = \sum_{i=0}^n \Phi(b_i) B_i^n(t)$$

---

<sup>†</sup>I polinomi di Bernstein partizionano l'unità

## Simmetria

Le curve di Bézier sono simmetriche rispetto all'ordine dei punti di controllo, infatti, dati  $c_i = b_{n-i}$ :

$$\tilde{X}(t) = \sum_{i=0}^n c_i B_i^n(t) = \sum_{i=0}^n c_i B_{n-i}^n(1-t) = \sum_{i=0}^n b_i B_i^n(1-t) = X(1-t)$$

## Precisione lineare

Se i punti di controllo sono allineati ed equidistanti la convex hull è il segmento  $\overline{b_0 b_n}$  e la curva giace su una retta:

$$X(t) = \sum_{i=0}^n (b_0 + \frac{i}{n}(b_n - b_0)) B_i^n(t) = b_0 \sum_{i=0}^n B_i^n(t) + (b_n - b_0) \sum_{i=0}^n \frac{i}{n} B_i^n(t) = {}^\dagger b_0 + t(b_n - b_0)$$

## Controllo pseudo-locale

Modificando uno dei punti di controllo  $b_0, \dots, b_n$ :

$$c_i = \begin{cases} b_i, & i \neq j \\ b_i + v & i = j \end{cases}$$

si ottiene:

$$\tilde{X}(t) = \sum_{i=0}^n c_i B_i^n(t) = \sum_{i=0}^n b_i B_i^n(t) + v B_j^n(t)$$

ovvero tutti i punti della curva si spostano nella direzione di  $v$  con un'incidenza che dipende da  $t$  e dalla forma del  $j$ -esimo polinomio di Bernstein. In generale, in quanto i polinomi hanno una forma a campana, i punti della curva sono interessati in maniera proporzionale alla distanza dal punto di controllo modificato.

## Variation diminishing

La proprietà di variation diminishing aiuta a capire l'andamento della curva; si può infatti sapere il numero massimo di intersezione che la curva può avere con una retta ( $N$ ) a partire da quello del poligono di controllo ( $N_p$ ). In particolare,  $N \leq N_p$  e  $N = N_p - 2k$ .

Sia  $r = \alpha x + \beta y + \gamma$ , le intersezioni si possono ricavare, separando le dimensioni, con l'equazione:

$$\alpha \sum_{i=0}^n b_{ix} B_i^n(t) + \beta \sum_{i=0}^n b_{iy} B_i^n(t) + \gamma \sum_{i=0}^n B_i^n(t) = 0$$

da cui:

$$\sum_{i=0}^n \underbrace{(\alpha b_{ix} + \beta b_{iy} + \gamma)}_{c_i} B_i^n(t) = 0$$

e la proprietà segue direttamente da quella di variation diminishing dei polinomi di Bernstein.

---

<sup>†</sup>Precisione lineare dei polinomi di Bernstein

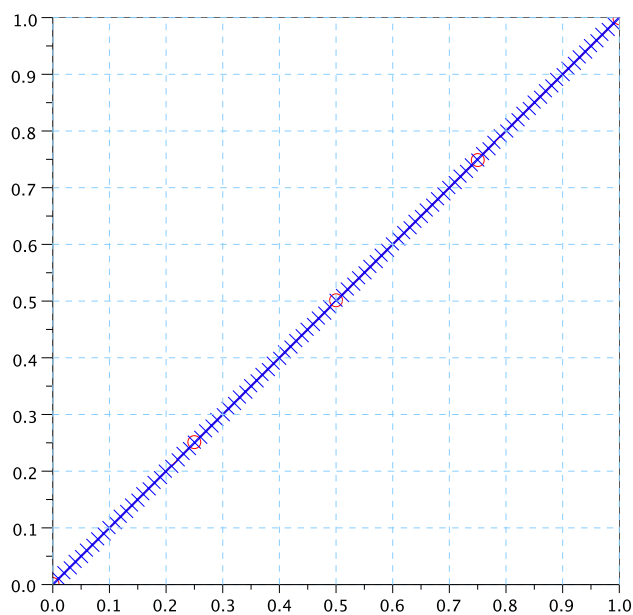
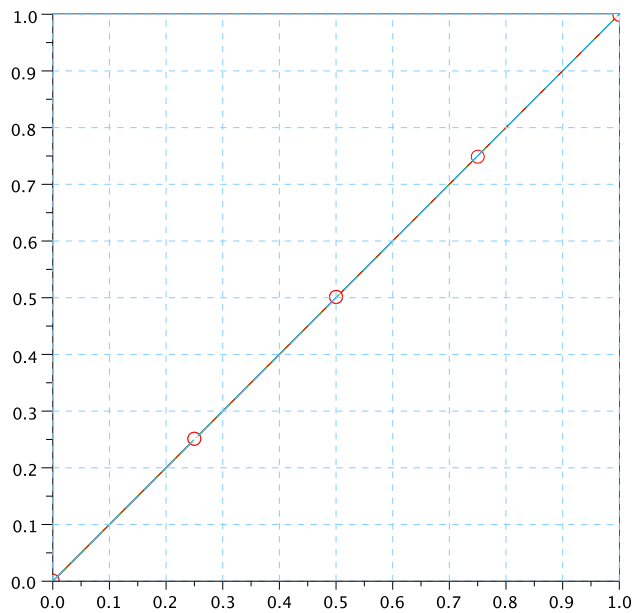


Figura 2.6: Precisione lineare: poligono di controllo e curva che giace su di esso; si nota che i punti della curva sono distribuiti uniformemente rispetto al parametro  $t$ .

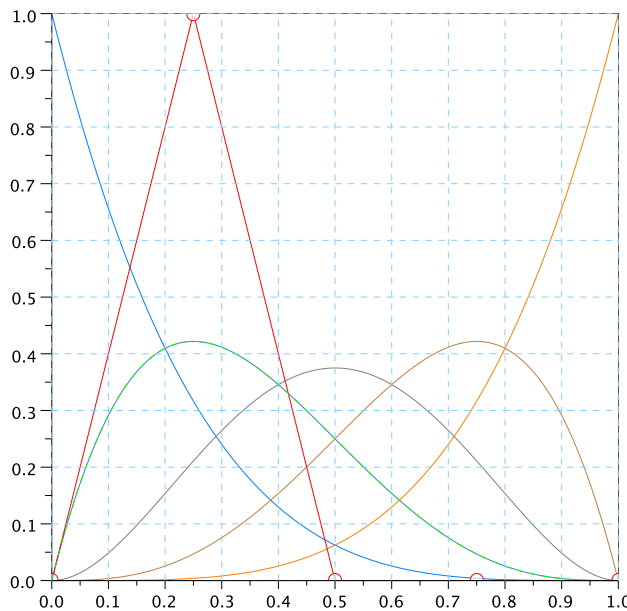
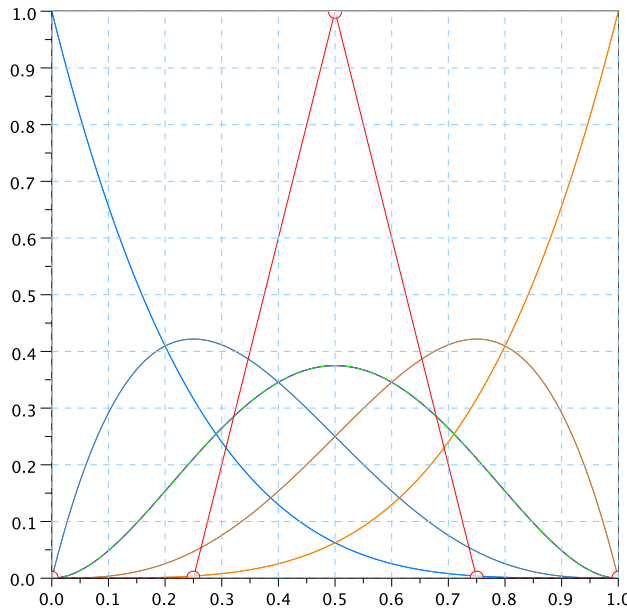


Figura 2.7: Controllo pseudolocale: la curva (verde) può essere fatta coincidere con uno qualsiasi dei polinomi della base

## Derivata (o curva Hodograph)

$$\begin{aligned}
 \dot{X}(t) &= \sum_{i=0}^n b_i B_i^n(t) = n \sum_{i=0}^n b_i (B_{i-1}^{n-1}(t) - B_i^{n-1}(t)) \\
 &= n [(b_1 - b_0) B_0^{n-1}(t) + \dots + (b_n - b_{n-1}) B_{n-1}^{n-1}] \\
 &= n \sum_{i=0}^{n-1} (b_{i+1} - b_i) B_i^{n-1}(t) = n \sum_{i=0}^{n-1} \Delta b_i B_i^{n-1}(t)
 \end{aligned}$$

dove  $\Delta b_i =_{def} (b_{i+1} - b_i)$ .

La derivata di una curva di Bézier è quindi ancora una curva dello stesso tipo ma di grado minore e con punti di controllo differenti.

### Calcolo della hodograph

```

1 function bh=Bezier_hodograph(b)
2 [d,n] = size(b)
3 for i=1:d
4     bh(i,:)= diff(b(i,:));
5 end
6 bh=bh*n;
7 endfunction

```

## Derivate successive

Dalla forma della derivata seconda:

$$\ddot{X}(t) = n(n-1) \sum_{i=0}^{n-2} \Delta^2 b_i B_i^{n-2}(t)$$

si può generalizzare<sup>†</sup>:

$$X^{(r)}(t) = n^r \sum_{i=0}^{n-r} \Delta^r b_i B_i^{n-r}(t)$$

## Tangenza agli estremi

In quanto:

$$\dot{X}(0) = n \Delta b_0, \quad \dot{X}(1) = n \Delta b_{n-1}$$

la curva di Bézier è sempre tangente ai segmenti che uniscono i primi e gli ultimi due punti del poligono di controllo.

---

<sup>†</sup>Falling factorial:  $x^k = x(x-1)\dots(x-k+1)$ , ovvero i primi  $k$  termini del fattoriale. Nota:  $x^k = \frac{x!}{(x-k)!}$

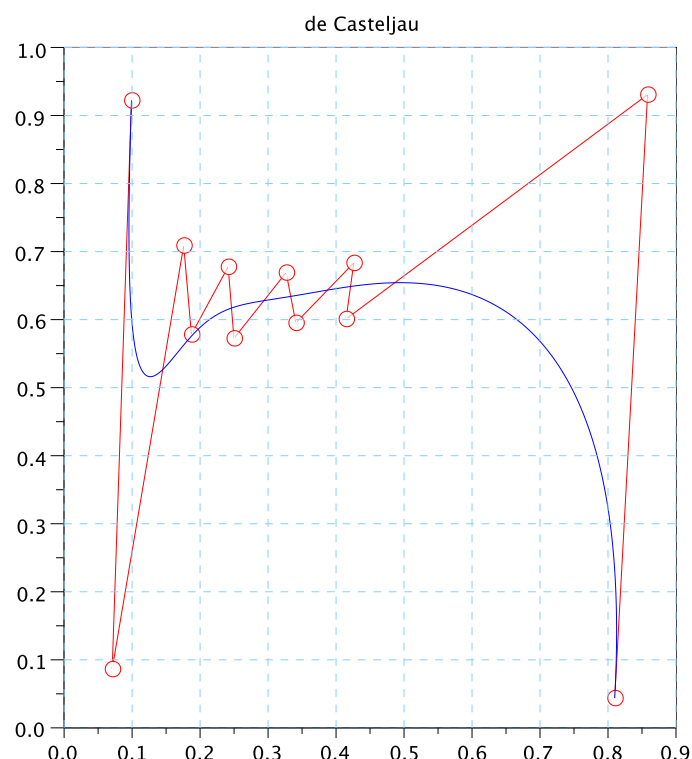


Figura 2.8: Tangenza agli estremi

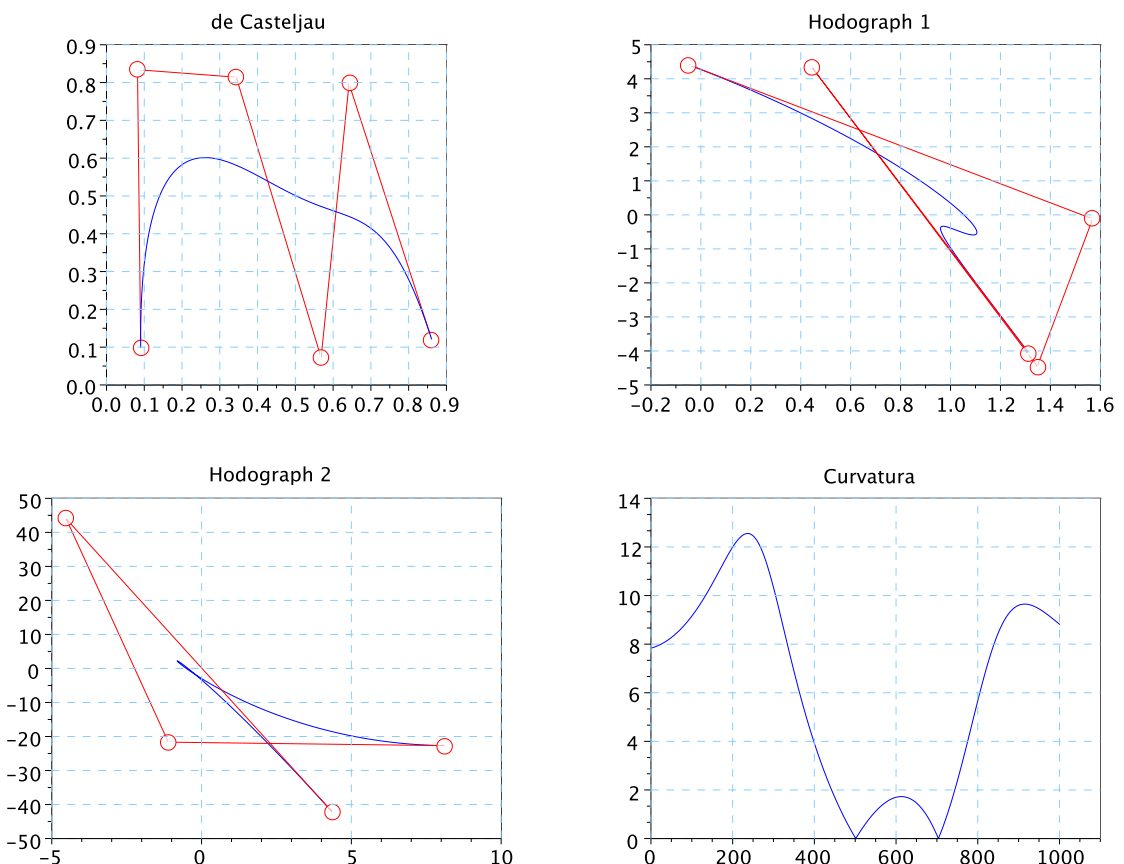


Figura 2.9: Esempio di hodograph prima e seconda e curvatura

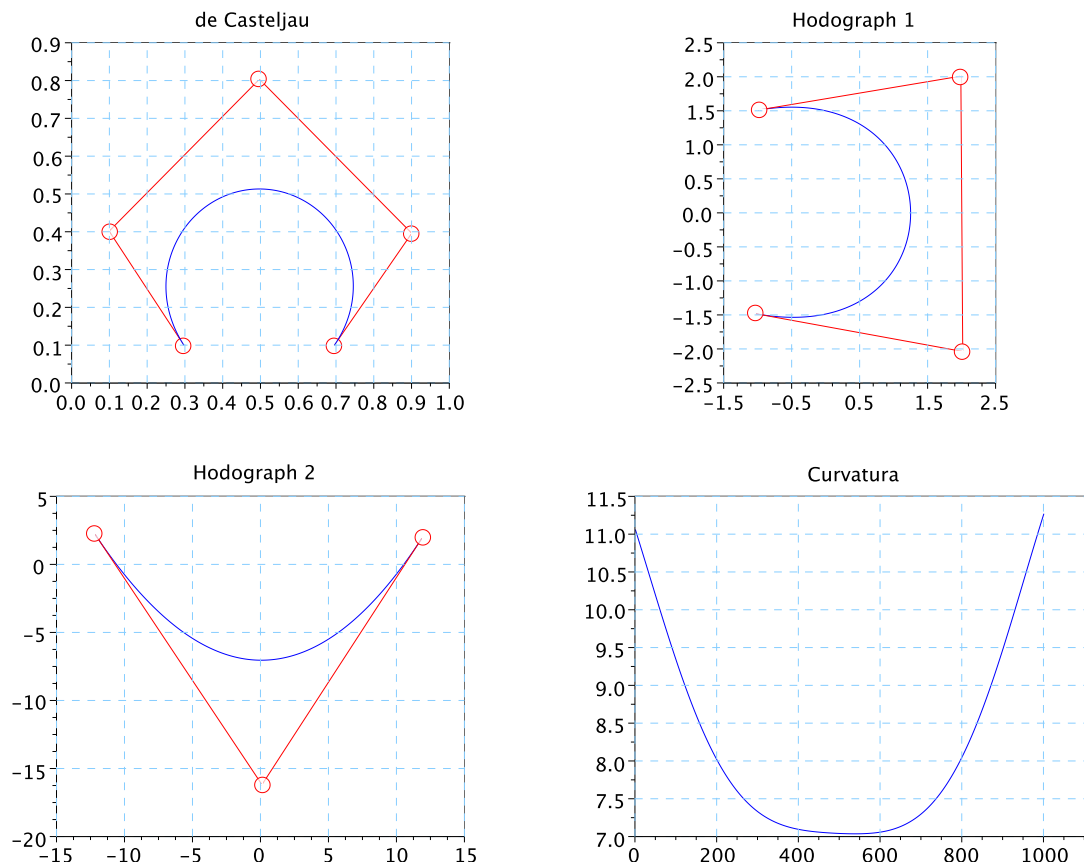


Figura 2.10: Altro esempio di hodograph prima e seconda e curvatura

## Algoritmi per curve di Bézier

### Disegno della curva: de Casteljau

I punti della curva possono essere calcolati ricorsivamente definendo:

$$\begin{cases} b_i^0 = b_i, & i = 0, \dots, n \\ b_i^r = (1-t)b_i^{r-1} + tb_{i+1}^{r-1}, & i = 0, \dots, n-r; r = 1, \dots, n \end{cases}$$

Si dimostra per induzione che questa formula ricorsiva, in  $r$  passi, calcola i punti della curva.

Per  $r = 1$ :

$$b_i^1 = (1-t)b_i + tb_{i+1} = \sum_{j=0}^1 b_{i+j} B_j^1(t)$$

Supponendo che valga per  $r - 1$ , si ha:

$$\begin{aligned} b_i^r(t) &= (1-t)b_i^{r-1}(t) + tb_{i+1}^{r-1}(t) \\ &= (1-t) \sum_{j=0}^{r-1} b_{i+j} B_j^{r-1}(t) + t \sum_{j=0}^{r-1} b_{i+j+1} B_j^{r-1}(t) \\ &= (1-t) \sum_{k=i}^{i+r-1} b_k B_{k-i}^{r-1}(t) + t \sum_{k=i+1}^{i+r} b_k B_{k-i-1}^{r-1}(t) \\ &= \sum_{k=i}^{i+r} \left[ (1-t)b_k B_{k-i}^{r-1}(t) + tb_k B_{k-i-1}^{r-1}(t) \right] \\ &= \sum_{k=i}^{i+r} b_k B_{k-i}^r(t) = \sum_{j=0}^r b_{j+i} B_j^r(t) \end{aligned}$$

ovvero variando  $t$  si possono ottenere tutti i punti della curva.

#### Algoritmo di de Casteljau

```

1 function Curve = Bezier_casteljau(b,t) //b poligono, t punti di valutazione
2 l_t = length(t)
3 [d,n] = size(b)
4 f = t
5 e = 1-t
6 b = b'
7
8 for i=1:d
9   C(:, :, i) = b(1:n-1, i)*e+b(2:n, i)*f
10 end
11 for r=2:n-1
12   for row=1:n-r
13     for i=1:d
14       C(row, :, i) = C(row, :, i).*e+C(row+1, :, i).*f
15     end
16   end
17 end
18 for i=1:d
19   Curve(i, :)=C(1, :, i)
20 end
21 endfunction

```

## Degree elevation

Una curva di Bézier è rappresentabile con un'altra di grado più elevato, ovvero esiste soluzione all'equazione:

$$X(t) = \sum_{i=0}^n b_i B_i^n(t) = \sum_{i=0}^{n+1} c_i B_i^{n+1}(t)$$

Per la proprietà di interpolazione agli estremi si deve avere  $c_0 = b_0$  e  $c_{n+1} = b_n$ .

Moltiplicando a sinistra per  $(t + (1 - t))$  e usando la proprietà di partizionamento dell'unità dei polinomi di Bernstein, si ha:

$$(t + (1 - t)) \sum_{i=0}^n b_i B_i^n(t) = \sum_{i=0}^n b_i \binom{n}{i} [t^i(1-t)^{n-i+1} + t^{i+1}(1-t)^{n-i}] = \sum_{i=0}^{n+1} c_i B_i^{n+1}(t)$$

da cui, considerando  $b_{-1} = b_{n+1} = 0$ :

$$\begin{aligned} & \sum_{i=0}^n b_i \binom{n}{i} [t^{i+1}(1-t)^{n-i} + t^i(1-t)^{n-i+1}] \\ &= \sum_{i=0}^n b_i \binom{n}{i} t^{i+1}(1-t)^{n-i} + \sum_{i=0}^n b_i \binom{n}{i} t^i(1-t)^{n-i+1} \\ &= \sum_{i=0}^{n+1} b_{i-1} \binom{n}{i-1} t^i(1-t)^{n-i+1} + \sum_{i=0}^{n+1} b_i \binom{n}{i} t^i(1-t)^{n-i+1} \\ &= \sum_{i=0}^{n+1} \frac{[\binom{n}{i-1} b_{i-1} + \binom{n}{i} b_i]}{\binom{n+1}{i}} B_i^{n+1}(t) \end{aligned}$$

Si sono trovati i punti di controllo  $c_i$ :

$$c_i = \frac{[\binom{n}{i-1} b_{i-1} + \binom{n}{i} b_i]}{\binom{n+1}{i}} = \frac{i}{n+1} b_{i-1} + \left(1 - \frac{i}{n+1}\right) b_i$$

*Osservazione 2.2.* I punti di controllo  $c_i$  sono ottenuti come combinazione lineare dei due vertici adiacenti del poligono di controllo di partenza, quindi il nuovo poligono è inscritto nel vecchio.

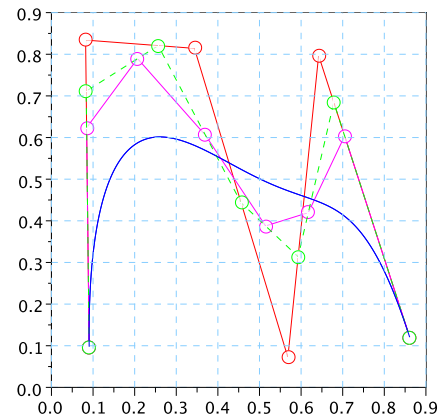
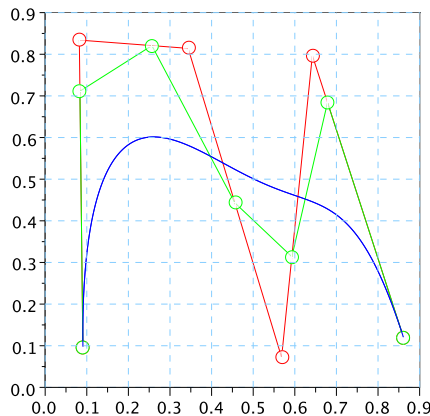
### Degree elevation

```

1 function B = Bezier_degelev(b)
2 [d,n] = size(b)
3 B(:,1) = b(:,1)
4 B(:,n+1) = b(:,n)
5 for i=2:n
6     k = (i-1)/(n);
7     B(:,i) = k*b(:,i-1) + (1-k)*b(:,i);
8 end
9 endfunction

```

Degree elevation



Degree elevation

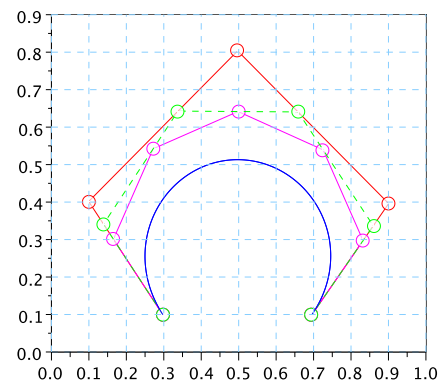
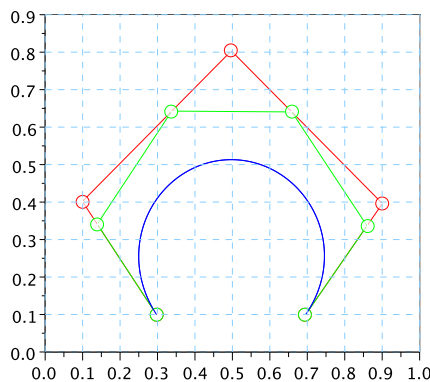


Figura 2.11: Esempi di elevazione del grado

*Osservazione 2.3* (Repeated degree elevation). Per disegnare una curva si può pensare di innalzare il grado del poligono di controllo finché questo non sia sufficientemente vicino alla curva; i coefficienti dell' $r$ -esima iterazione sono:

$$c_i^{(r)} = \sum_{j=0}^n b_i \binom{n}{j} \frac{\binom{r}{i-j}}{\binom{n+r}{i}}$$

Fissato  $t$ , se  $r \rightarrow \infty$  il poligono tende effettivamente alla curva, ma il costo computazionale è molto più elevato dell'algoritmo di de Casteljau in quanto servono molte elevazioni per raggiungere una precisione paragonabile.

## Suddivisione

Una curva può essere suddivisa in due curve dello stesso grado giunte in un punto. Dati  $\hat{t} \in ]0, 1[$  e:

$$X(t) = \sum_{i=0}^n b_i B_i^n(t)$$

si cercano:

$$\begin{cases} C_L(\tau) = \sum_{k=0}^n c_k B_k^n(\tau) &= X(t), t \in [0, \hat{t}], \tau = \frac{t}{\hat{t}} \in [0, 1] \\ C_R(u) = \sum_{k=0}^n d_k B_k^n(\tau) &= X(t), t \in [\hat{t}, 1], u = \frac{t - \hat{t}}{1 - \hat{t}} \in [0, 1] \end{cases}$$

### Definizione 2.6

(Operatori identità e shift).

Si definiscono gli operatori  $I, E$  tali che  $Ib_i = b_i$ ,  $Eb_i = b_{i+1}$ .

*Osservazione 2.4* (Rappresentazione alternativa delle curve di Bézier). I punti della curva di Bézier (algoritmo di de Casteljau) si possono rappresentare a partire dagli operatori shift e identità:  $b_i^r = [(1-t)I + tE]^{r-1} b_i$ .

I coefficienti  $c_k$  e  $d_k$  si ottengono dall'algoritmo di de Casteljau come:

$$c_k = b_0^k(\hat{t}), \quad d_k = b_k^{n-k}(\hat{t})$$

infatti<sup>†</sup>:

$$\begin{aligned}
 C_L(\tau) &= \sum_{k=0}^n b_0^k(\hat{t}) \binom{n}{k} \tau^k (1-\tau)^{n-k} \\
 &= \sum_{k=0}^n [(1-\hat{t})I + \hat{t}E]^k b_0 \binom{n}{k} \tau^k (1-\tau)^{n-k} \\
 &= \sum_{k=0}^n \binom{n}{k} \tau^k [(1-\hat{t})I + \hat{t}E]^k (1-\tau)^{n-k} I^{n-k} b_0 \\
 &= \sum_{k=0}^n \binom{n}{k} [\tau(1-\tau\hat{t}I + \tau\hat{t}E)]^k [(1-\tau)I]^{n-k} b_0 \\
 &= [\tau I - \tau\hat{t}I + \tau\hat{t}E + I - \tau I]^n b_0 \\
 &= [(1-\hat{t})I + \hat{t}E]^n b_0
 \end{aligned}$$

### Subdivision

```

1  function [b1,b2] = Bezier_subdiv(b,t)
2  [d,n] = size(b)
3  f = t
4  e = 1-t
5  b1(:,:,1) = b(:,:,1)
6  b2(:,:,n) = b(:,:,n)
7  b = b'
8  for i=1:d
9    C(:,:,i) = b(1:n-1,i)*e+b(2:n,i)*f
10 end
11 for i=1:d
12   b1(i,2) = C(1,1,i)
13   b2(i,n-1) = C(n-1,1,i)
14 end
15 for r=2:n-1
16   for row=1:n-r
17     for i=1:d
18       C(row,:,:i) = C(row,:,:i).*e+C(row+1,:,:i).*f
19     end
20   end
21 for i=1:d
22   b1(i,r+1) = C(1,1,i)
23   b2(i,n-r) = C(n-r,1,i)
24 end
25 end
26 endfunction

```

<sup>†</sup>Il caso  $C_R$  si dimostra in maniera analoga

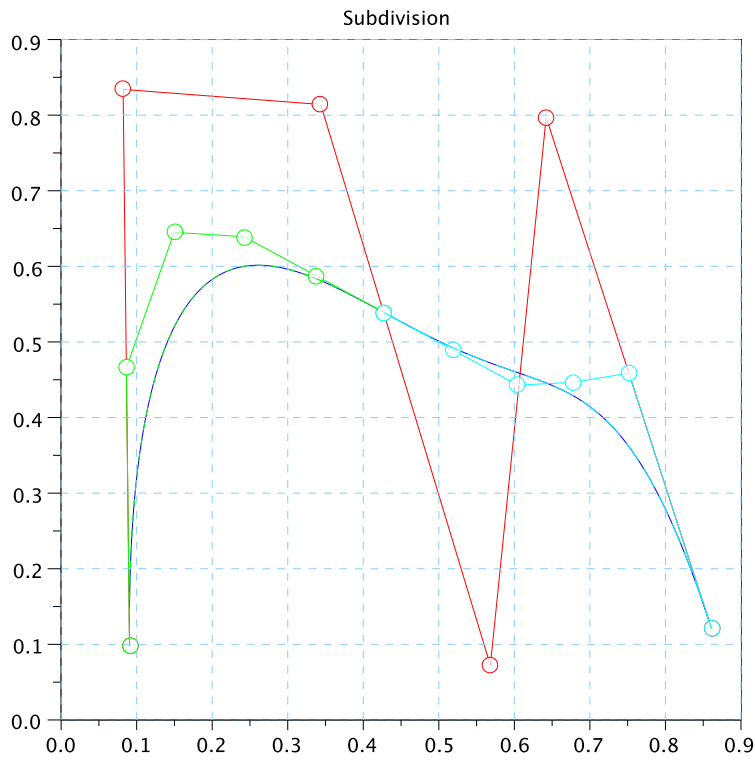


Figura 2.12: Esempio di subdivision

## Curve di Bézier razionali

Le curve di Bézier razionali sono un'estensione alle curve di Bézier che mira a migliorarne la controllabilità.

### Coordinate omogenee

Un insieme è rappresentabile mediante coordinate omogenee se è possibile associare un vettore numerico  $(x_1, \dots, x_n)$  ad ogni elemento dell'insieme, in modo tale che due vettori distinti siano associati a due oggetti diversi solo se linermente indipendenti.

**Definizione 2.7** (Spazio proiettivo). Lo spazio proiettivo  $P(K)$  associato ad uno spazio vettoriale  $K$  è definito come l'insieme dei suoi sottospazi vettoriali di dimensione uno (rette).

Se ogni vettore di uno spazio vettoriale di dimensione finita è rappresentabile tramite le sue coordinate  $(x_1, \dots, x_n)$ , ogni retta è descrivibile come lo span lineare di un vettore non nullo:  $\lambda(x_1, \dots, x_n)$ .

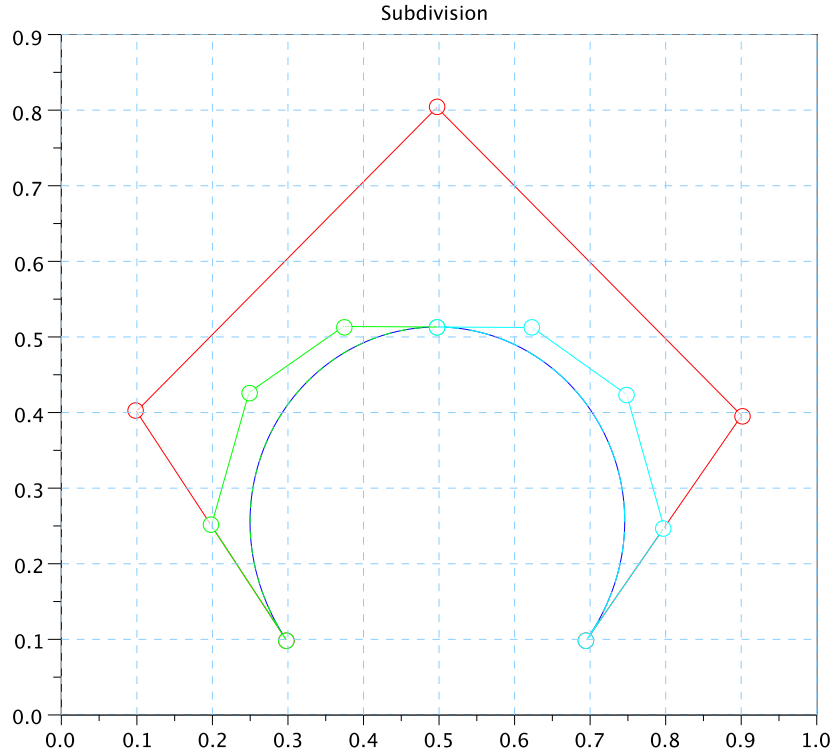


Figura 2.13: Altro esempio di subdivision

**Interpretazione geometrica in  $d = 3$**  Si immagini un piano  $\mathbb{E}^2$  immerso in uno spazio  $\mathbb{E}^3$  ed allineato col sistema di riferimento, ad esempio perpendicolare all'asse  $z$ . I punti di  $\mathbb{E}^3$  sono rappresentabili tramite l'insieme delle triple  $(x, y, z)$  oppure, a partire dai punti di  $\mathbb{E}^2$ , come unione dei *punti al finito* ed i *punti all'infinito*:

$$\{[x, y, 1] | (x, y) \in \mathbb{E}^2\} \cup \{[x, y, 0] | (x, y) \in P(\mathbb{E}^2)\}$$

Analogamente è possibile rappresentare i punti del piano a partire dai punti dello spazio attraverso un'operazione di proiezione:  $(x, y, z) \rightarrow (\frac{x}{z}, \frac{y}{z}, 1)$ .

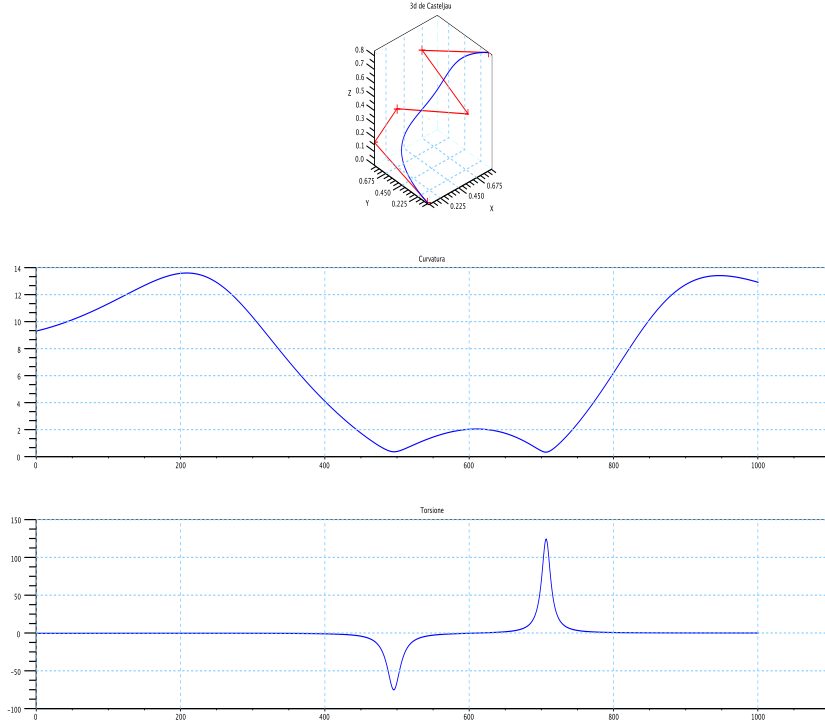


Figura 2.14: Esempio di curva tridimensionale con curvatura e torsione

**Curve di Bézier razionali** Una curva di Bézier razionale in uno spazio  $\mathbb{E}^d$  è la proiezione di una curva di Bézier classica definita in uno spazio  $\mathbb{E}^{d+1}$ . In particolare si definisce<sup>†</sup>:

$$X(t) = \begin{pmatrix} y_0(t) \\ \vdots \\ y_{d+1}(t) \end{pmatrix} = \sum_{i=0}^n \mathbf{B}_i B_i^n(t), \quad \mathbf{B}_i = \beta_i \begin{pmatrix} 1 \\ b_i \end{pmatrix}, \quad b_i \in \mathbb{E}^d$$

in cui i  $\mathbf{B}_i$  sono vettori in  $\mathbb{E}^{d+1}$ . La prima componente della curva  $(d+1)$ -dimensionale è pertanto:

$$y_0(t) = \sum_{i=0}^n \beta_i B_i^n(t)$$

ed applicando direttamente il concetto di proiezione si ottiene la curva proiettiva in  $\mathbb{E}^d$ :

$$X(t) = \begin{pmatrix} y_0(t) \\ \vdots \\ y_d(t) \end{pmatrix} = \frac{\sum_{i=0}^n \beta_i b_i B_i^n(t)}{\sum_{i=0}^n \beta_i B_i^n(t)}, \quad \beta_i > 0$$

<sup>†</sup>Per comodità di notazione si intende lo spazio proiettivo perpendicolare alla prima componente del vettore, ovvero  $(x, y, z, \dots, c_n) \rightarrow (1, \frac{x}{c_n}, \frac{y}{c_n}, \dots)$

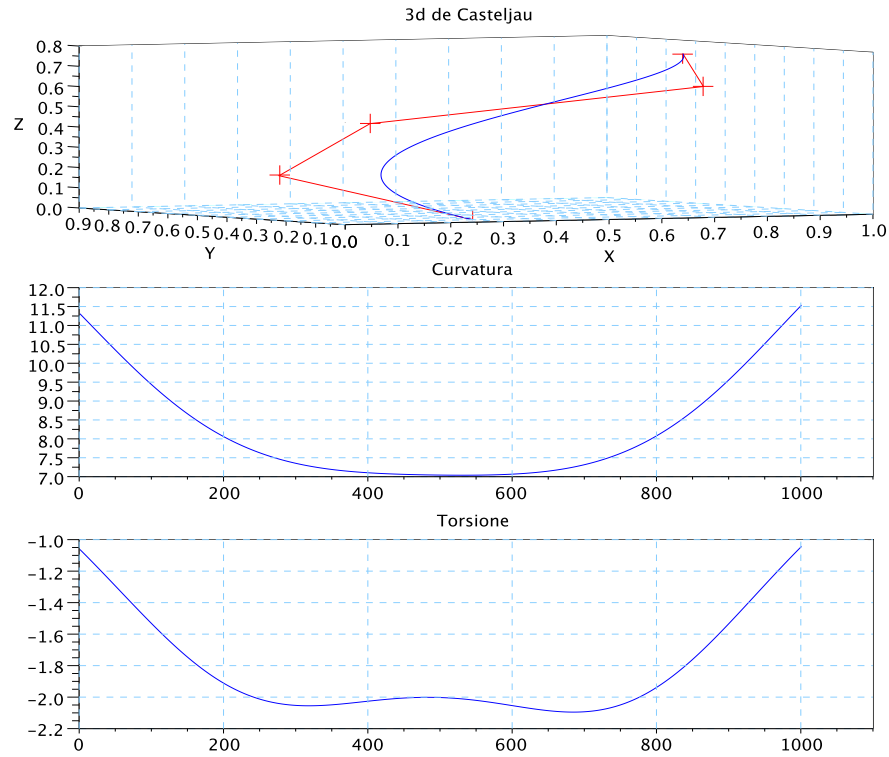


Figura 2.15: Altro sempio di curva tridimensionale con curvatura e torsione

Osservazione 2.5. Se  $\beta_0 = \beta_1 = \dots = \beta_n$ ,  $X(t) \equiv \sum_{i=0}^n b_i B_i^n(t)$  ovvero rimane una Bézier definita dai punti di controllo  $b_i$ .

#### Algoritmo di Casteljau per curve di Bézeir razionali

```

1 function Curve = RATBezier_casteljau(b, beta, t)
2 [d, n] = size(b)
3 n2 = length(beta)
4 B=[beta]
5 for i=1:d //Aumenta di una dimensione
6     B = [B; beta .* b(i,:)]
7 end
8 C = Bezier_casteljau(B, t)
9 for i=1:d
10 Curve(i,:) = C(i+1,:)./C(1,:)
11 end
12 endfunction

```

## Proprietà

### Simmetria

Sia  $s = 1 - t$ . La proprietà segue direttamente da quella dei polinomi di Bernstein:

$$X(s) = \frac{\sum_{i=0}^n \beta_{n-i} b_{n-i} B_i^n(s)}{\sum_{i=0}^n \beta_{n-i} B_i^n(s)} = \frac{\sum_{i=0}^n \beta_{n-i} b_{n-i} B_{n-i}^n(t)}{\sum_{i=0}^n \beta_{n-i} B_{n-i}^n(t)} = \frac{\sum_{j=0}^n \beta_j b_j B_j^n(t)}{\sum_{j=0}^n \beta_j B_j^n(t)}$$

### Convex Hull

Definendo la curva come:

$$X(t) = \sum_{i=0}^n b_i v_i(t), \quad v_i(t) = \frac{\beta_i B_i^n(t)}{w(t)}, \quad w(t) = \sum_{i=0}^n \beta_i B_i^n(t)$$

si ha che:

$$\sum_{i=0}^n v_i(t) = \frac{1}{w(t)} \underbrace{\sum_{i=0}^n \beta_i B_i^n(t)}_{w(t)} = 1$$

ovvero la curva è una combinazione convessa dei punti di controllo ed appartiene alla convex hull di questi.

### Invarianza per trasformazioni affini

Deriva direttamente dal fatto che la curva è una combinazione baricentrica di punti; la dimostrazione è analoga a quella per le curve di Bézier classiche.

### Linear precision

In generale non vale, infatti:

$$X(t) = \sum_{i=0}^n (b_0 + \frac{i}{n} v) v_i(t) = b_0 + \sum_{i=0}^n (\frac{i}{n} v_i(t)) v = b_0 + \frac{1}{w(t)} \sum_{i=0}^n \frac{i}{n} \beta_i B_i^n(t) v$$

da cui:

$$X(t) = b_0 + \frac{t}{w(t)} v$$

Se i  $\beta_i$  sono omogenei però la proprietà si mantiene valida.

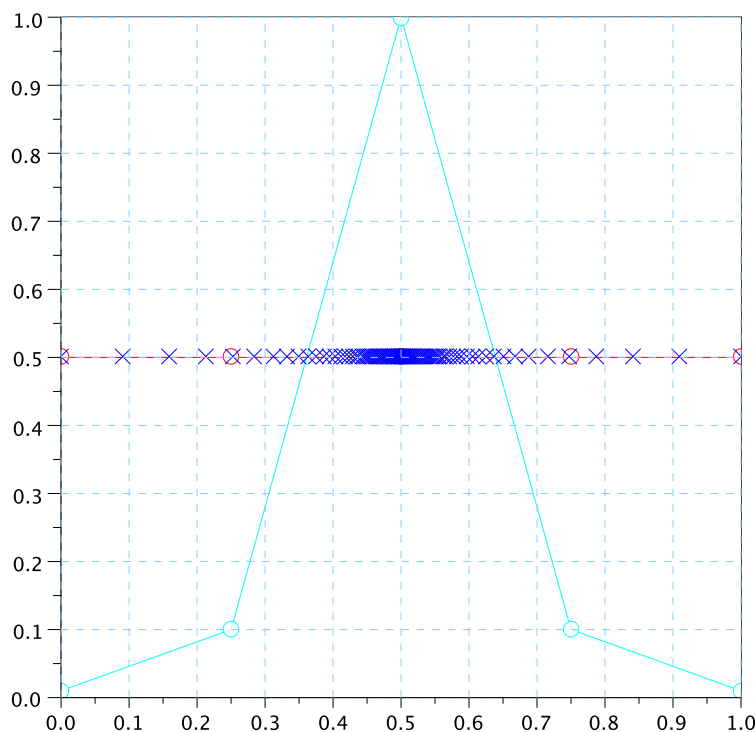


Figura 2.16: Linear precision: la distribuzione dei pesi (ciano) varia la densità dei punti della curva (blu) rispetto al parametro  $t$ .

### Valori agli estremi

La curva interpola i punti di controllo agli estremi:

$$X(0) = \frac{\beta_0 b_0}{\beta_0} = b_0$$

$$X(1) = \frac{\beta_n b_n}{\beta_n} = b_n$$

### Variation diminishing

I punti della curva  $X(t) = \sum_{i=0}^n b_i v_i(t)$ , con  $v_i(t) = \frac{\beta_i B_i^n(t)}{w(t)}$ ,  $w(t) = \sum_{i=0}^n \beta_i B_i^n(t)$ , che giacciono sulla retta  $ax + by + c = 0$  sono:

$$a \sum_{i=0}^n b_{ix} v_i(t) + b \sum_{i=0}^n b_{iy} v_i(t) + c \sum_{i=0}^n v_i(t) = 0$$

$$\sum_{i=0}^n (ab_{ix} + bb_{iy} + c) v_i(t) = 0$$

$$\sum_{i=0}^n \frac{\beta_i (ab_{ix} + bb_{iy} + c)}{w(t)} B_i^n(t) = 0$$

quindi, ponendo  $d_i = \frac{\beta_i (ab_{ix} + bb_{iy} + c)}{w(t)}$  si rientra nel caso delle curve di Bézier classiche, per cui la proprietà è dimostrata.

### Controllo pseudolocale

Modificando uno dei pesi:

$$\hat{\beta}_j = \beta_j + \Delta\beta_j$$

si ottiene la curva:

$$\hat{X}(t) = \frac{\sum_{i=0}^n \beta_i b_i B_i^n(t) + \Delta\beta_j b_j B_j^n(t)}{\underbrace{\sum_{i=0}^n \beta_i B_i^n(t) + \Delta\beta_j B_j^n(t)}_{l(t)}}$$

Confrontando la curva modificata con quella originale si ha:

$$(\hat{X}(t) - X(t))l(t) = \sum_{i=0}^n \beta_i b_i B_i^n(t) + \Delta\beta_j b_j B_j^n(t) - \sum_{i=0}^n \beta_i b_i B_i^n(t) - X(t)\Delta\beta_j B_j^n(t)$$

$$= \Delta\beta_i B_i^n(t)[b_j - X(t)]$$

La differenza tra le curve vale quindi:

$$(\hat{X}(t) - X(t)) = \frac{\Delta\beta_i B_i^n(t)}{\sum_{i=0}^n \beta_i B_i^n(t) + \Delta\beta_j B_j^n(t)} [b_j - X(t)]$$

Modificando un peso si ha quindi un effetto su ogni punto della curva, direttamente proporzionale alla distanza  $b_j - X(t)$ : la curva tende ad avvicinarsi al punto  $b_j$  se  $\Delta\beta_j$  è positivo, allontanarsi altrimenti.

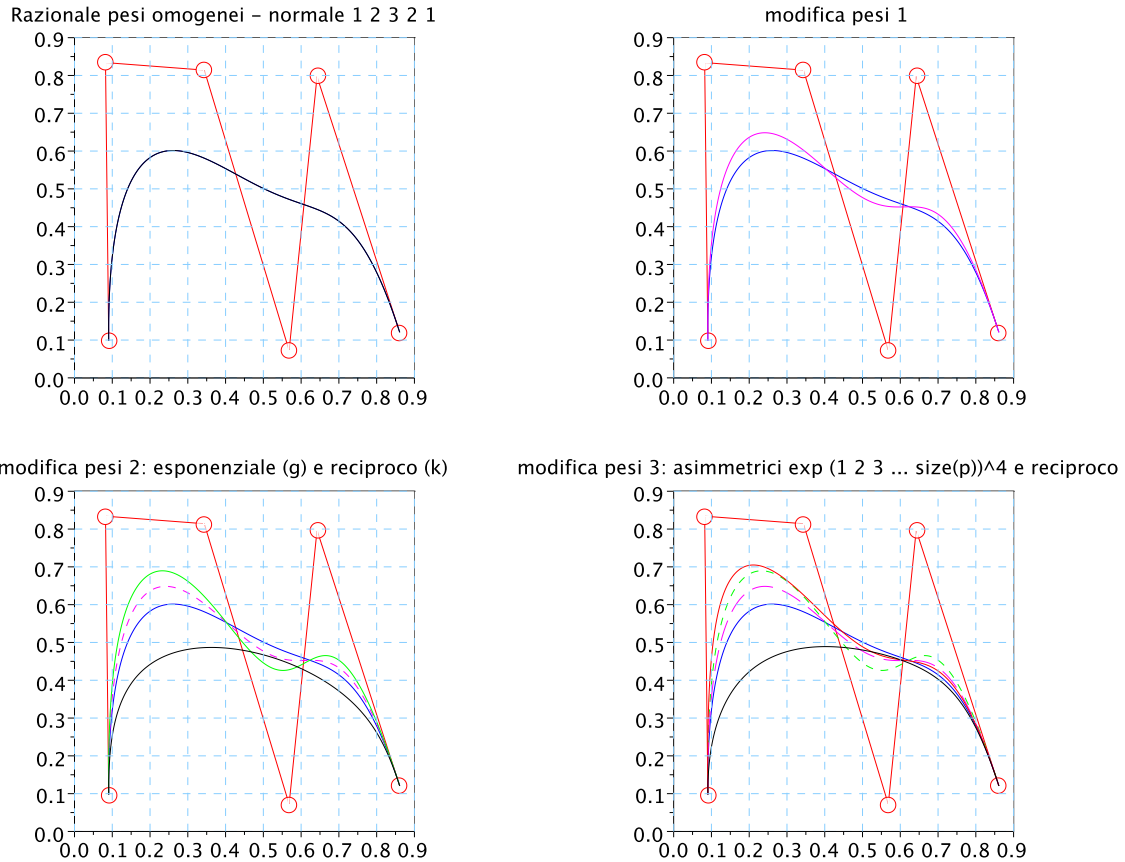


Figura 2.17: Esempio di differenti distribuzioni dei pesi

## Derivata

Sia:

$$X(t) = \frac{c(t)}{w(t)} = \frac{\sum_{i=0}^n \beta_i b_i B_i^n(t)}{\sum_{i=0}^n \beta_i B_i^n(t)}$$

Si può calolare la derivata di  $X(t)$ :

$$c' = (Xw)' = \dot{X}w + Xw' \Rightarrow \dot{X} = \frac{c' - Xw'}{w}$$

## Curve parametriche

---

Le derivate di  $c(t)$  e  $w(t)$  sono note:

$$c^{(r)} = n^r \sum_{i=0}^{n-r} \Delta^r \beta_i b_i B_i^{n-r}$$

$$w^{(r)} = n^r \sum_{i=0}^{n-r} \Delta^r \beta_i B_i^{n-r}$$

quindi, sostituendo in  $\dot{X}(t)$  si ottiene:

$$\dot{X}(t) = \frac{n \left[ \sum_{i=0}^{n-r} \Delta \beta_i b_i B_i^{n-r}(t) - \left( \sum_{i=0}^{n-r} \Delta \beta_i B_i^{n-r}(t) \right) X(t) \right]}{\sum_{i=0}^n \beta_i B_i^n(t)}$$

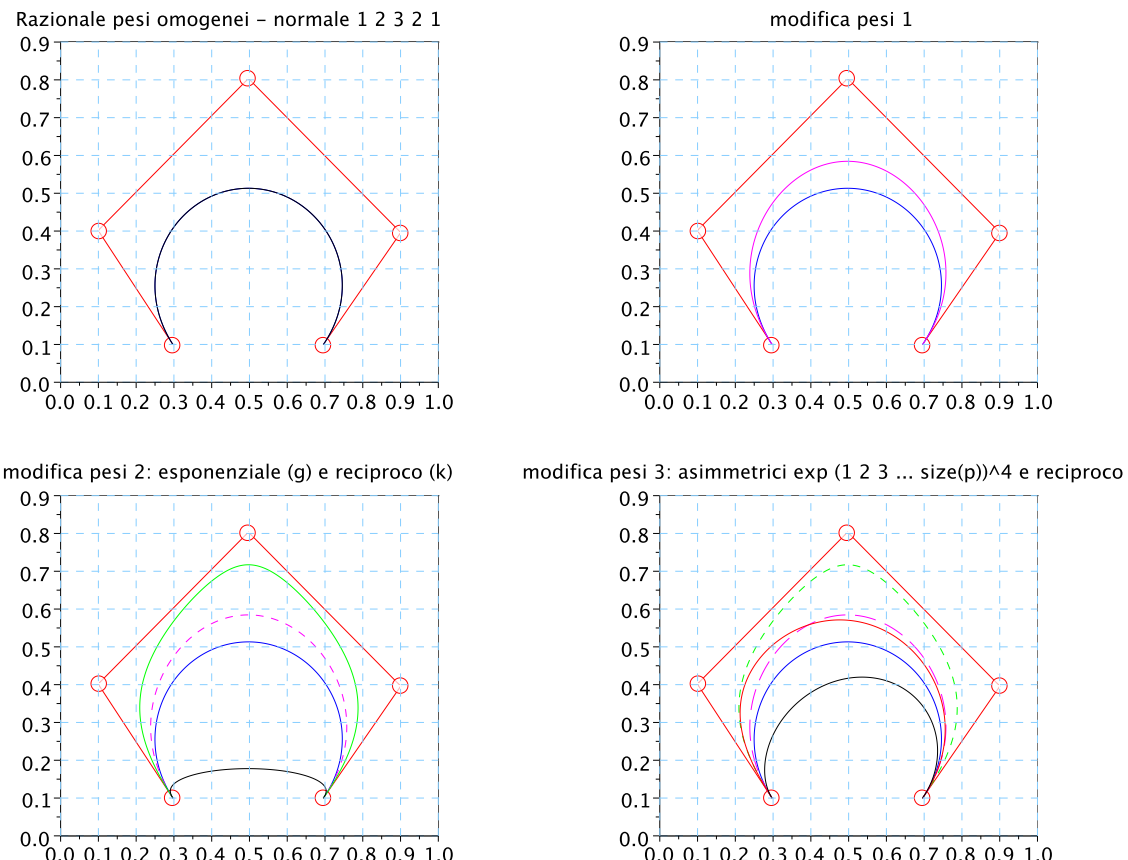


Figura 2.18: Un altro esempio di differenti distribuzioni dei pesi

### Tangenza agli estremi

La tangenza agli estremi è mantenuta, infatti:

$$\begin{aligned}\dot{X}(0) &= n \frac{\beta_1}{\beta_0} \Delta b_0 \\ \dot{X}(1) &= n \frac{\beta_{n-1}}{\beta_n} \Delta b_{n-1}\end{aligned}$$

Se si volesse ottenere una curva chiusa si deve quindi imporre:

$$(\beta_{n-1} + \beta_1)b_0 = \beta_{n-1}b_{n-1} + \beta_1b_1$$

### Curve di Bézier razionali in forma standard

**Definizione 2.8** (Curva di Bézier razionale in forma standard). Una curva di Bézier razionale si dice in forma standard se i pesi associati agli estremi del poligono di controllo sono unitari.

Per trasformare una curva razionale in una in forma standard, si utilizza la riparametrizzazione:

$$t = \frac{(1+\alpha)u}{1+\alpha u} \equiv \phi(u), \quad \alpha \in \mathbb{R}, u \in [0, 1]$$

La derivata della funzione di riparametrizzazione  $\phi(u)$  vale:

$$\phi'(u) = \frac{1}{(1+\alpha u)^2} [(1+\alpha)(1+\alpha) - \alpha(1+\alpha)u] = \frac{1+\alpha}{(1+\alpha u)^2}$$

quindi la funzione è monotona per  $\alpha > -1$ , e la riparametrizzazione è ammissibile in quel range. Ha senso quindi applicarla:

$$\begin{aligned}X(t(u)) &= \frac{\sum_{i=0}^n \beta_i b_i \binom{n}{i} \frac{(1+\alpha)^i u^i}{(1+\alpha u)^i} \frac{(1-u)^{n-i}}{(1+\alpha u)^{n-i}}}{\sum_{i=0}^n \beta_i \binom{n}{i} \frac{(1+\alpha)^i u^i (1-\alpha u)^{n-i}}{(1+\alpha u)^n}} = \frac{\sum_{i=0}^n \beta_i b_i \overbrace{\binom{n}{i} u^i (1-u)^{n-i} (1+\alpha)^i}^{B_i^n}}{\sum_{i=0}^n \beta_i \binom{n}{i} u^i (1-u)^{n-i} (1+\alpha)^i} = \\ &= \frac{\sum_{i=0}^n \beta_i b_i (1+\alpha)^i B_i^n}{\sum_{i=0}^n \underbrace{\beta_i (1+\alpha)^i}_{\tilde{\beta}_i} B_i^n} = \frac{\sum_{i=0}^n \tilde{\beta}_i b_i B_i^n}{\sum_{i=0}^n \tilde{\beta}_i B_i^n}\end{aligned}$$

e richiedere che siano verificate:

$$\left\{ \begin{array}{l} \tilde{\beta}_n \equiv \beta_n (1+\alpha)^n = 1, \quad \alpha = \frac{1}{\sqrt[n]{\beta_n}} - 1 \\ \tilde{\beta}_0 \equiv \beta_0 (1+\alpha)^0 = 1, \quad \text{se } \beta_0 = 1 \end{array} \right. \quad (2.1)$$

La forma standard si può ottenere solo nel caso in cui la condizione  $\beta_0 = 1$  sia già verificata inizialmente.

Algoritmo per il calcolo dei beta normalizzati

```

1 function beta=RATBezier_scalebeta(beta)
2 n = length(beta);
3 beta=beta/beta(1)
4 alpha=(1/beta(n))^(1/n-1);
5 for i=1:n
6     beta(i) = (alpha^(i-1))*beta(i);
7 end
8 endfunction

```

## Sezioni coniche

Le sezioni coniche sono rappresentabili utilizzando curve di Bézier di secondo grado.

### Coordinate baricentriche bidimensionali

Un punto  $p$  che giace nella convex hull di altri tre  $(b_0, b_1, b_2)$ <sup>†</sup> che delimitano un triangolo è identificabile univocamente con un sistema di coordinate baricentriche  $(u_0, u_1, u_2)$  a riferimenti  $b_0, b_1, b_2$ :

$$\begin{cases} p = u_0 b_0 + u_1 b_1 + u_2 b_2 \\ 1 = u_0 + u_1 + u_2 \end{cases}$$

Il sistema di coordinate sopra descritto è univocamente determinato, si dimostra che in:

$$\underbrace{\begin{pmatrix} x_0 & x_1 & x_2 \\ y_0 & y_1 & y_2 \\ 1 & 1 & 1 \end{pmatrix}}_A \begin{pmatrix} u_0 \\ u_1 \\ u_2 \end{pmatrix} = \underbrace{\begin{pmatrix} x \\ y \\ 1 \end{pmatrix}}_p$$

la matrice  $A$  è nonsingolare e quindi il sistema ammette soluzione unica. Il determinante di  $A$  è legato all'area del triangolo  $b_0 b_1 b_2$ ; fissando una base per esso si ha:

$$area(A) = \frac{1}{2} |\Delta| = \frac{1}{2} |(b_1 - b_0) \times (b_2 - b_0)|$$

Applicando il metodo ci Cramer:

$$\det A_0(x, y) = \det \begin{pmatrix} x & x_1 & x_2 \\ y & y_1 & y_2 \\ 1 & 1 & 1 \end{pmatrix};$$

$$\det A_1(x, y) = \det \begin{pmatrix} x_0 & x & x_2 \\ y_0 & y & y_2 \\ 1 & 1 & 1 \end{pmatrix};$$

---

<sup>†</sup>ogniuno ha componenti  $x_i, y_i$

$$\det A_2(x, y) = \det \begin{pmatrix} x_0 & x_1 & x \\ y_0 & y_1 & y \\ 1 & 1 & 1 \end{pmatrix};$$

e quindi:

$$u_i = \frac{\det A_i}{\det A} \equiv \frac{\Delta_i(x, y)}{\Delta}$$

dove  $\Delta_i = \det A_i(x, y)$  e  $\Delta = \det A$ . Il determinante di  $A$  è non nullo quindi le  $u_i$  sono tutte definite. Il sistema perde però l'unicità nel caso in cui tutti e tre i punti siano allineati.

## Rappresentazione di curve coniche

In generale una curva conica è rappresentabile come:

$$ax^2 + 2bxy + cy^2 + dx + ey + f = 0$$

o in forma matriciale, dato il punto  $p = \begin{pmatrix} x \\ y \end{pmatrix}$ :

$$p^T \begin{pmatrix} a & b \\ b & c \end{pmatrix} p + (d, e)p + f = 0$$

Il determinante della matrice determina il carattere della conica:

$$\det \begin{pmatrix} a & b \\ b & c \end{pmatrix} \begin{cases} > 0 & \text{ellisse} \\ = 0 & \text{parabola} \\ < 0 & \text{iperbole} \end{cases}$$

Si ricordano alcune definizioni:

- **Ellisse:** luogo dei punti del piano per cui la somma delle distanze da due punti fissati (detti fuochi) è costante.

$$\sqrt{(x+c)^2 + y^2} + \sqrt{(x-c)^2 + y^2} = R, \quad \text{fuochi allineati sull'asse } x \text{ e centro nell'origine}$$

- **Parabola:** luogo dei punti equidistanti da una retta ed un punto disgiunti.

$$\left( y + \frac{1}{4a} \right) = \sqrt{x^2 + \left( y - \frac{1}{4a} \right)^2}, \quad \text{fuoco in } (0, \frac{1}{4a}), \text{ retta } y = -\frac{1}{4a}$$

- **Iperbole:** luogo dei punti per i quali la differenza delle distanze da due punti assegnati è costante.

$$\sqrt{(x+c)^2 + y^2} - \sqrt{(x-c)^2 + y^2} = R, \quad \text{fuochi allineati sull'asse } y \text{ e centro nell'origine}$$

## Archi di coniche con curve di Bézier

Sviluppando la formula di una curva di Bézier razionale in forma standard di secondo grado e etichettandone in modo opportuno i termini:

$$X(t) = \frac{b_0 \overbrace{B_0^1(t)}^{u_0(t)} + b_1 \overbrace{\beta_1 B_1^2(t)}^{u_1(t)} + b_2 \overbrace{B_2^2(t)}^{u_2(t)}}{\underbrace{B_0^2(t) + \beta_1 B_1^2(t) + B_2^2(t)}_{w(t)}}, \quad v_0(t) = \frac{u_0(t)}{w(t)}, v_1(t) = \frac{u_1(t)}{w(t)}, v_2(t) = \frac{u_2(t)}{w(t)}$$

i punti della curva possono essere espressi in maniera semplice come:

$$X(t) = b_0 v_0(t) + b_1 v_1(t) + b_2 v_2(t)$$

Dalle proprietà dei polinomi di Bernstein segue direttamente che  $\sum v_i(t) = 1$  ovvero ogni punto della curva è una combinazione baricentrica dei tre punti di controllo, leggibile anche come coordinate baricentriche rispetto agli stessi.

Calcolando il quadrato della componente  $v_1$  si ottiene:

$$v_1^2(t) = 4\beta_1 \frac{t^2(1-t)^2}{w^2(t)} = 4\beta_1 v_0(t)v_2(t) \Rightarrow v_1^2(t) - 4\beta_1 v_0(t)v_2(t) = 0$$

sostituendo ai  $v_i$  la relativa notazione risultante dal teorema di Cramer vista nella sezione precedente ( $v_i = \Delta_i(x, y)/\Delta$ ), si ha che punti della curva rispettano:

$$\Delta_1^2(x, y) - 4\beta_1 \Delta_0(x, y) \Delta_2(x, y) = 0$$

che un'equazione di secondo grado, ovvero una curva conica che cambia comportamento in base al valore di  $\beta_1$ :

$$\beta_1 \begin{cases} < 1 & \text{ellisse} \\ = 1 & \text{parabola} \\ > 1 & \text{iperbole} \end{cases}$$

### Algoritmo per il calcolo di curve coniche

```

1 function C = RATBezier_coniche(b,s,ttab)
2 // beta = s/(s-1)
3 C = RATBezier_casteljau(b,[1,s,1],ttab)
4 endfunction

```

### Calcolo delle coniche mostrate in fig (2.19)

```

1 pc = [-1,0,1;1,-1,1];
2 ellipse1 = RATBezier_coniche(pc,0.5,xcol);
3 ellipse2 = RATBezier_coniche(pc,-0.5,xcol);
4 parabola = RATBezier_coniche(pc,1,xcol);
5 iperbole = RATBezier_coniche(pc,3,xcol);
6 pc2 = [.5,0,1;1,0,.5];
7 circ1 = RATBezier_coniche(pc2,0.5,xcol);
8 circ2 = RATBezier_coniche(pc2,-0.5,xcol);
9 }

```

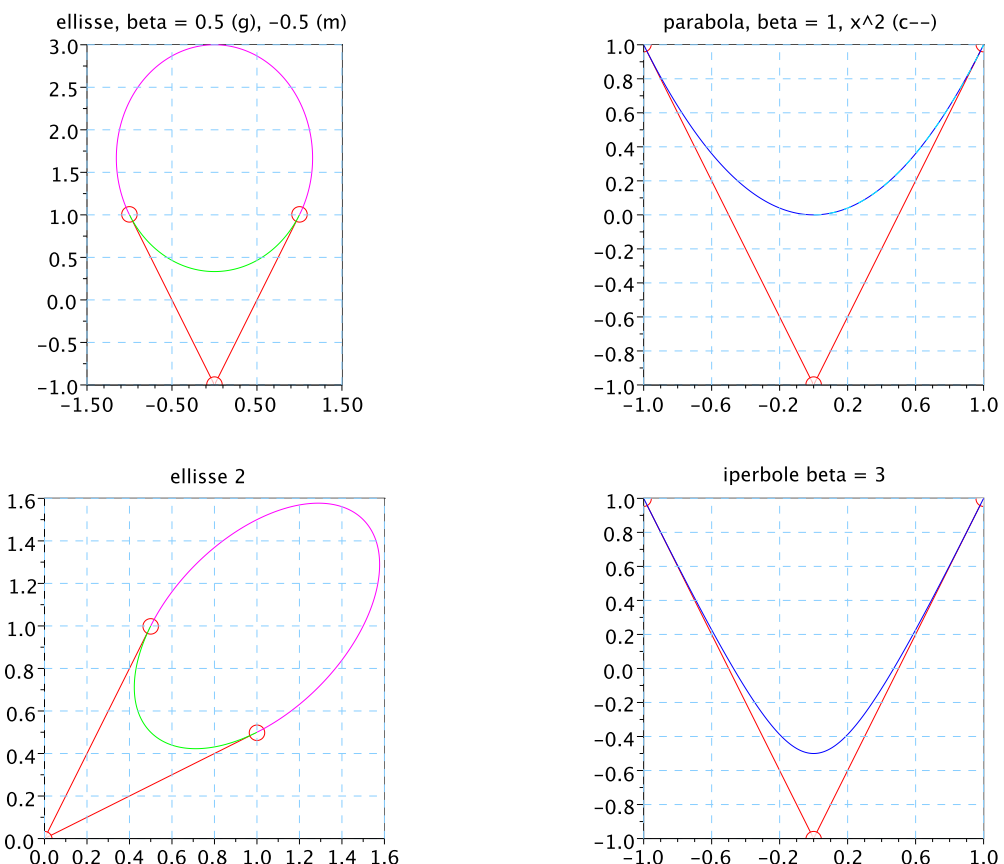


Figura 2.19: Rappresentazione di curve coniche

## Curve parametriche

---

# Curve SPLINE

## Bézier-spline

Uno dei possibili modi per migliorare la controllabilità e località di una curva di Bézier è quello di considerare sottointervalli della curva come curve separate, preoccupandosi di gestire i raccordi. Dato un intervallo di definizione della curva  $[a, b]$  ed una sua partizione in  $m$  sottointervalli  $\tau : a \equiv u_1 < u_2 < \dots < u_m < u_{m+1} \equiv b$  disgiunti ed adiacenti, si definisce la curva polinomiale a tratti:

$$X(u) : [a, b] \rightarrow \mathbb{E}^d, \quad X(u) = \bigcup X_i(t), t \in [u_i, u_{i+1})$$

in cui:

$$X_i(u) = \sum_{k=0}^n b_{k,i} B_k^n \left( \frac{u - u_i}{h_i} \right), \quad h_i = u_{i+1} - u_i$$

e  $b_{k,i}$  è il  $k$ -esimo punto di controllo della curva  $i$ -esima. I punti della curva  $X(u_i)$  sono detti nodi (knot) o punti di giunzione. La condizione di continuità si ottiene imponendo:

$$X_i(u_{i+1}) = X_{i+1}(u_{i+1}) \Rightarrow b_{n,i-1} = b_{0,i}$$

grazie alla proprietà di end-point interpolation; ad esempio date due curve disconnesse si può aggiungere un punto a tutte e due che stia spazialmente tra l'ultimo della prima e il primo della seconda.

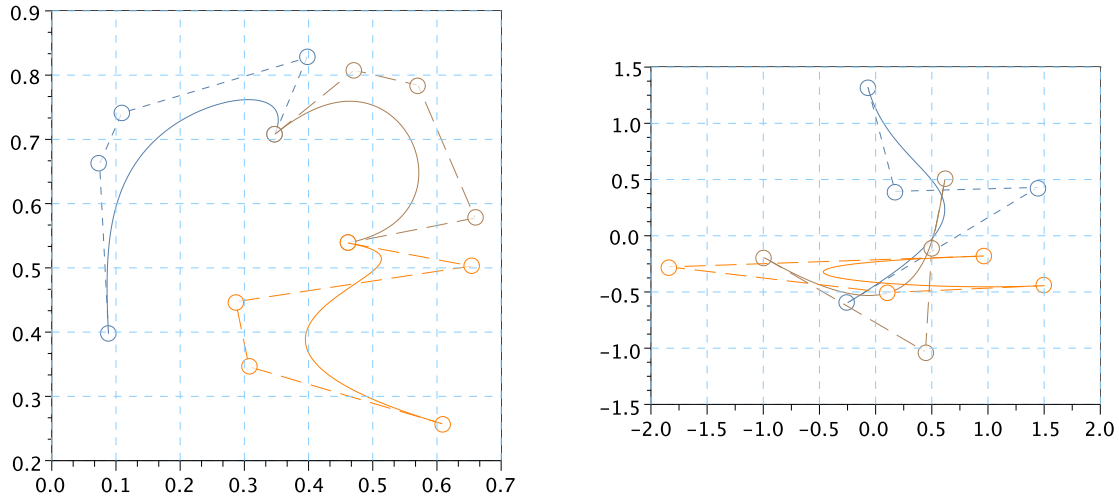


Figura 3.1: Beziér-spline con continuità C0: anche visivamente la curva è continua ma ha dei punti in cui non è derivabile. A destra la hodograph, visibilmente disconnessa.

### Continuità dei raccordi

Per aumentare la regolarità della curva si può voler imporre la continuità delle derivate; ad esempio per ottenere una curva in  $C^1$  si impone:

$$\begin{cases} X_i(u_{i+1}) = X_{i+1}(u_{i+1}) \\ \frac{d}{du}X_i(u_{i+1}) = \frac{d}{du}X_{i+1}(u_{i+1}) \end{cases}$$

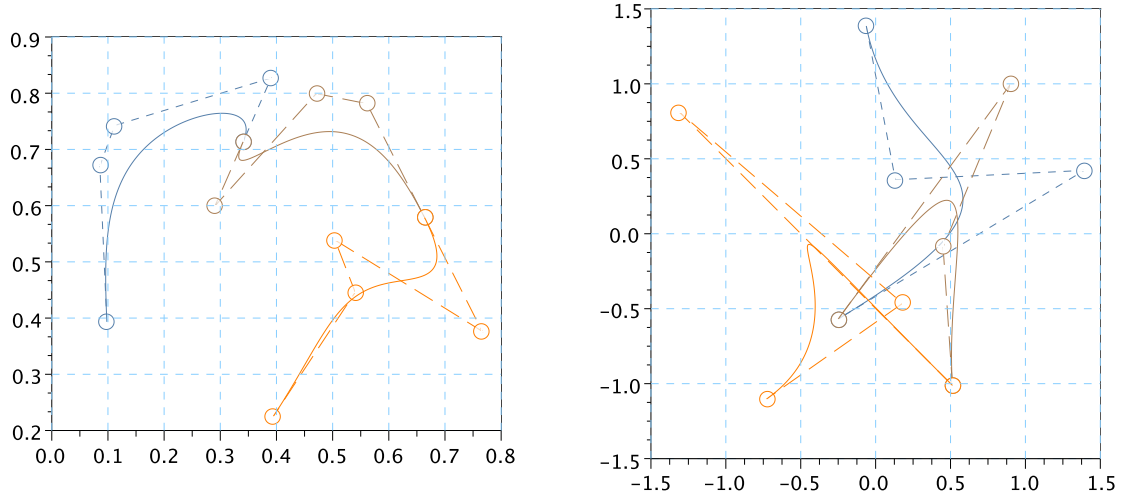


Figura 3.2: Beziér-spline con continuità C1: la curva appare continua. A destra la hodograph, di continuità C0.

Si ha che:

$$\begin{aligned} \frac{d}{du} X_i(u_{i+1}) &= \frac{d}{du} X_{i+1}(u_{i+1}) \\ \frac{d}{du} X_i(1) \frac{d}{du} \frac{u - u_i}{h_i} &= \frac{d}{du} X_{i+1}(0) \frac{u - u_{i+1}}{h_{i+1}} \\ \frac{\Delta b_{n-1,i}}{h_i} &= \frac{\Delta b_{0,i+1}}{h_{i+1}} \end{aligned}$$

ovvero:

$$b_{1,i+1} = b_{0,i+1} + \frac{h_{i+1}}{h_i} (b_{n,i} - b_{n-1,i}).$$

Analogamente per avere continuità  $C^2$  si impone anche:

$$\frac{d^2}{du^2} X_i(u_{i+1}) = \frac{d^2}{du^2} X_{i+1}(u_{i+1})$$

da cui:

$$\frac{\Delta^2 b_{n-2,i}}{h_i^2} = \frac{\Delta^2 b_{0,i+1}}{h_{i+1}^2}$$

ovvero:

$$\Delta b_{1,i+1} = \Delta b_{0,i+1} + \frac{h_{i+1}}{h_i} (\Delta b_{n,i} - \Delta b_{n-1,i}).$$

Quanto appena descritto è un metodo per ottenere una curva di Bézier definita a tratti parametrizzata in modo tale che rispetto al parametro  $u$  la velocità di percorrenza della curva sia proporzionale alla dimensione dei diversi intervalli assegnati ad ogni curva. In pratica è comodo considerare l'intervallo  $[a, b]$  suddiviso equamente tra i vari tratti di curva (curva polinomiale a tratti uniformi); in questo caso la funzione di riparametrizzazione è la stessa per tutte (a meno dell'intervallo) e non c'è bisogno di riparametrizzarle, perchè si può dare per scontato che ogni curva sarà valutata in  $[0, 1]$  quando  $u$  è nell'intervallo corrispondente. Si ha che:

Le derivate delle due curve sono facili da derivare:

$$\begin{aligned} \frac{d}{dt} X_i(t) &= \frac{d}{du} X_{i+1}(u) \\ n \sum_{k=0}^{n-1} \Delta b_{k,i} B_k^n(t) &= m \sum_{k=0}^{m-1} \Delta b_{k,i+1} B_k^n(u) \end{aligned}$$

Sappiamo di voler allineare l'ultimo punto della prima curva con il primo della seconda, quindi:

$$\begin{aligned} n \sum_{k=0}^{n-1} \Delta b_{k,i} B_k^{n-1}(1) &= m \sum_{k=0}^{m-1} \Delta b_{k,i+1} B_k^{n-1}(0) \\ n \Delta b_{n-1,i} &= m \Delta b_{0,i+1} \end{aligned}$$

in quanto in 0 e 1 non si annullano soltanto rispettivamente il primo e l'ultimo polinomio di Bernstein. Da qui, tenendo conto che per avere  $\mathcal{C}^0$  si impone  $b_{n,i} = b_{0,i+1}$  segue direttamente la relazione tra i quattro vertici:

$$b_{1,i+1} = (m+n)b_{n,i} - mb_{n-1,i}$$

Analogamente per avere  $\mathcal{C}^2$

$$\begin{aligned} n(n-1) \sum_{k=0}^{n-2} \Delta^2 b_{k,i} B_k^{n-2}(1) &= m(m-1) \sum_{k=0}^{m-2} \Delta^2 b_{k,i+1} B_k^{n-2}(0) \\ n(n-1) \Delta^2 b_{n-2,i} &= m(m-1) \Delta^2 b_{0,i+1} \end{aligned}$$

da cui, imponendo le condizioni per  $\mathcal{C}^0$  e  $\mathcal{C}^1$ :

$$b_{2,i+1} = 2b_{1,i+1} - b_{n,i} + \frac{m(m-1)}{n(n-1)} (b_{n,i} - 2b_{n-1,i} + b_{n-2,i})$$

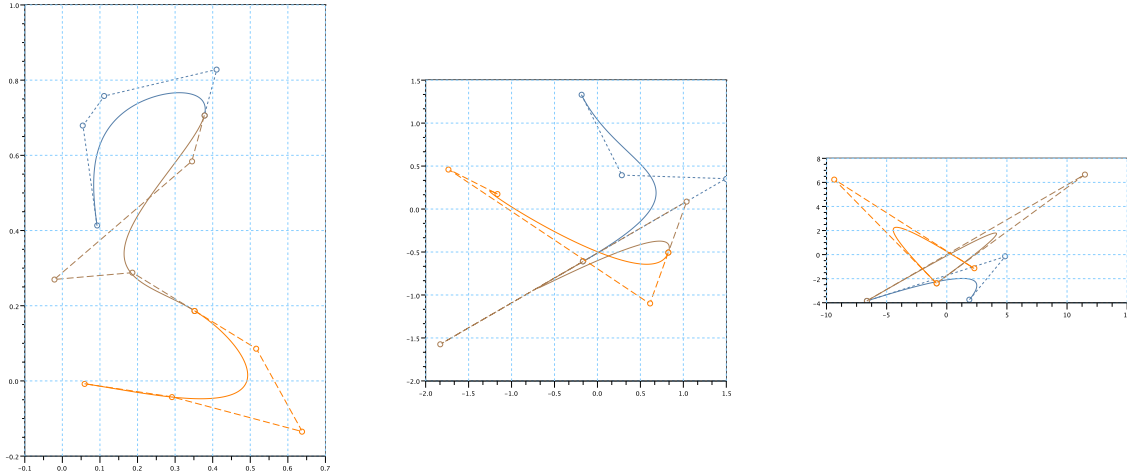


Figura 3.3: Beziér-spline con continuità C2: visivamente la curva è continua e regolare. A destra la prima e la seconda hodograph: la prima è C1 e la seconda C0.

## Continuità geometrica

Due curve si raccordano con continuità geometrica  $\mathcal{G}^s$  nel punto  $p$  se esiste una riparametrizzazione ammissibile per cui le curve hanno continuità  $\mathcal{C}^s$  in  $p$ .

Per avere continuità  $\mathcal{G}^1$ , date due curve  $X(u)$ ,  $Y(t)$  e la funzione  $u(t) : [t_0, t_1] \rightarrow [u_0, u_1]$ :

$$\frac{d}{dt}X(t_1) = \frac{d}{dt}Y(t_1)$$

$$\omega_1 \frac{d}{du}X(u_1) = \frac{d}{dt}Y(t_1), \quad \omega_1 = \frac{d}{dt}u(t_1) > 0$$

ovvero, formalmente due curve si raccordano  $\mathcal{G}^1$  se:

$$\exists \omega_1 > 0 \text{ tale che } \frac{d}{dt}Y(t_1) = \omega_1 \frac{d}{du}X(u_1)$$

## Curve SPLINE

---

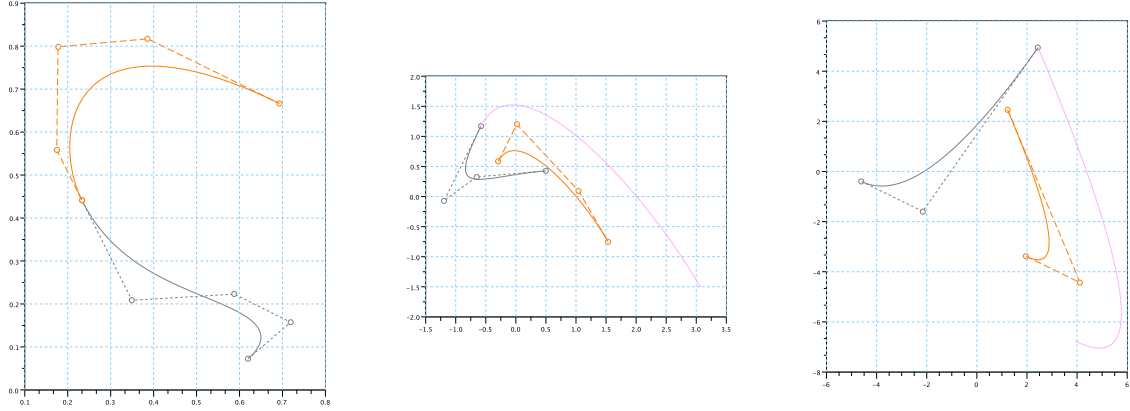


Figura 3.4: Beziér-spline con continuità G2: visivamente la curva è continua e regolare. A destra la prima e la seconda hodograph: la prima è C1 e la seconda C0 dopo che sia stata applicata la scalatura relativa al segmento di spline.

Il caso  $\mathcal{G}^2$  è analogo:

$$\frac{d^2}{dt}X(t_1) = \frac{d^2}{d^2t}Y(t_1)$$

$$\frac{d}{du} \left( \frac{d}{du}X(u_1) \frac{d}{dt}u(t_1) \right) = \frac{d^2}{d^2t}Y(t_1)$$

$$\frac{d}{du}X(u_1) \frac{d^2}{d^2t}u(t_1) + \frac{d^2}{d^2u}X(u_1) \left( \frac{d}{dt}u(t_1) \right)^2 = \frac{d^2}{d^2t}Y(t_1)$$

e come prima le due curve hanno raccordo  $\mathcal{G}^2$  se:

$$\exists \omega_1 > 0, \omega_2 > 0, \text{ tali che } \frac{d^2}{d^2t}Y(t_1) = \omega_2 \frac{d^2}{d^2u}X(u_1) + \omega_1 \frac{d}{du}X(u_1)$$

Come prima, nel caso pratico considerando equiparametrizzate le curve si ottiene, per le continuità  $\mathcal{G}^1$  e  $\mathcal{G}^2$ :

$$n\Delta b_{n-1,i} = \omega_1 m \Delta b_{0,i+1} \rightarrow b_{1,i+1} = \frac{(n+m\omega_1)b_{n,i} - nb_{n-1,i}}{m\omega_1}$$

$$n(n-1)\Delta^2 b_{n-2,i} = m(m-1)\Delta^2 b_{0,i+1} \rightarrow b_{2,i+1} =$$

$$\frac{(n(n-1) - m(m-1)\omega_2)b_{n,i} - 2n(n-1)b_{n-1,i} + n(n-1)b_{n-2,i} + 2\omega_2 m(m-1)b_{1,i+1}}{m(m-1)\omega_2}$$

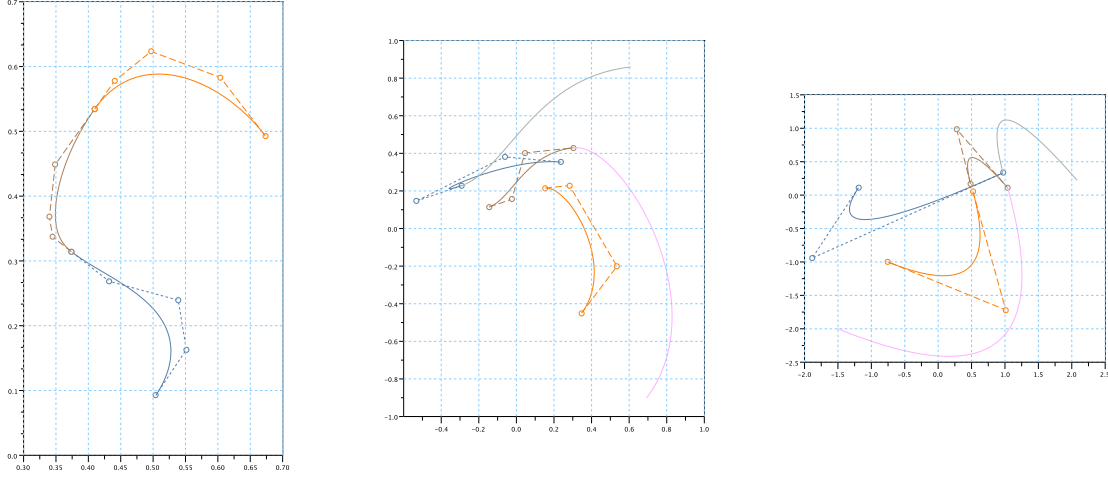


Figura 3.5: Beziér-spline con continuità G2: visivamente la curva è continua e regolare. A destra la prima e la seconda hodograph: la prima è C1 e la seconda C0 dopo che sia stata applicata la scalatura relativa al segmento di spline.

## Implementazioni

Vedi appendice A.1.

# B-SPLINE

## Curve SPLINE monovariate

In generale, una curva SPLINE monovariata è una funzione  $S : [a, b] \rightarrow \mathbb{R}^d$  polinomiale a tratti. In particolare, definita una partizione  $\tau$  dell'intervallo  $[a, b]$ :

$$[a, b] = \bigcup I_i, \quad I_i = [\tau_i, \tau_{i+1}), \quad \tau : a \equiv \tau_1 < \tau_2 < \dots < \tau_n < \tau_{n+1} \equiv b$$

la funzione  $S$  è rappresentabile come:

$$S = \bigcup P_i, \quad P_i : [\tau_i, \tau_{i+1}] \rightarrow \mathbb{R}^d, \quad P_i \in \Pi_m$$

Si indica con  $S_{m,\tau}$  una generica funzione SPLINE sulla partizione  $\tau$  e composta di polinomi tutti di grado  $m$ . Considerando l'intervallo  $[a, b]$  suddiviso in  $n$  sottointervalli, si è definito uno spazio di dimensione:

$$\dim(S_{m,\tau}) = n \times (m + 1)$$

$$I_i \cap I_j = \emptyset \text{ con } i \neq j, \quad I_i \cup I_{i+1} \equiv [t_i, t_{i+2})$$

in quanto ogni polinomio di grado  $m$  è identificato da  $m + 1$  coefficienti. In pratica, volendo rappresentare una curva, si vuole che  $S$  sia continua (ovvero  $\lim_{t \rightarrow t_{i+1}} P_i(t) = P_{i+1}(t_{i+1})$ ) e che anche le derivate si raccordino ( $S \in \mathcal{C}^{m-1}$ )<sup>†</sup>; questo lascia uno spazio di dimensione:

$$\dim(S_{m,\tau}) = n \times (m + 1) - (n - 1) \times m = n + m$$

infatti ci sono  $n - 1$  punti di raccordo per ognuno dei quali si impone  $m$  condizioni di raccordo (una di continuità e le derivate).

## Base delle potenze troncate

Si definiscono:

$$(x - \tau_i)_+^m = \begin{cases} (x - \tau_i)_+^m, & x < \tau_i \\ 0, & x \leq \tau_i \end{cases}$$

**Definizione 3.1** (Base delle potenze troncate). Sulla partizione  $\tau : a \equiv \tau_1 < \dots < \tau_l \equiv b$  si definisce *base delle potenze troncate* l'insieme di polinomi:

$$\{1, x^0, x^1, \dots, x^m, (x - \tau_1)_+^m, \dots, (x - \tau_{l-1})_+^m\}$$

**Teorema 3.1.** *L'insieme delle potenze troncate è una base per lo spazio delle spline  $S_{m,\tau}$ .*

*Dimostrazione.* Si deve dimostrare che i polinomi della base sono  $l+m$  linearmente indipendenti, ovvero che:

$$\sum_{i=0}^m a_i x^i + \sum_{i=1}^{l-1} b_i (x - \tau_i)_+^m = 0 \Leftrightarrow a_i = b_i = 0$$

Se  $x \in I_1 \equiv [\tau_1, \tau_2]$  si ha:

$$\sum_{i=0}^m a_i x^i + \sum_{i=1}^{l-1} b_i \underbrace{(x - \tau_i)_+^m}_{=0} = 0$$

ovvero la tesi è dimostrata in quanto la base è quella canonica. Per  $x \in I_2$  si ha:

$$\sum_{i=0}^m a_i x^i + b_1 (x - \tau_1)_+^m + \sum_{i=2}^{l-1} b_i \underbrace{(x - \tau_i)_+^m}_{=0} = 0$$

ma la proprietà vale per gli  $a_i$ , il che implica che debba valere anche  $b_1$ . Procedendo allo stesso modo si dimostra la tesi per tutti i  $b_i$  □

**Osservazione 3.1** (Derivata).  $(x - \tau)_+^m \in \mathcal{C}^m$  e  $\frac{d^m}{dx^m} (x - \tau)_+^m = m!$  se  $x > \tau$ .

---

<sup>†</sup>Non si può chiedere la derivabilità  $\mathcal{C}^m$  perché questo ridurrebbe lo spazio a  $k + 1$  dimensioni, ovvero si perderebbe il controllo sulla posizione dei punti di raccordo

## Base delle B-SPLINE

La base delle potenze troncate presenta problemi di malcondizionamento; questi possono essere risolti definendo, sullo stesso concetto, una base a supporto compatto.

Si definisce una partizione di  $[a, b]^\dagger$  più rilassata della precedente:

$$\nu : a \equiv \nu_0 \leq \nu_1 \leq \dots \leq \nu_l \equiv b, \quad l \text{ intervalli}$$

e, data la base:

$$N_{i,1}(x) = \begin{cases} 1, & \nu_i \leq x \leq \nu_{i+1} \\ 0, & \text{altrimenti} \end{cases}$$

si definisce ricorsivamente:

$$N_{i,k}(x) = \frac{x - \nu_i}{\nu_{i+k-1} - \nu_i} N_{i,k-1}(x) + \frac{\nu_{i+k} - x}{\nu_{i+k} - \nu_{i+1}} N_{i+1,k-1}(x)$$

*Nota* (Abuso di notazione). Per comodità, se uno dei denominatori di un termine in  $N_{i,k}(x)$  si annulla, questo viene considerato nullo.

**Esempio 3.1** (Caso  $k = 2$ ).

$$N_{i,2}(x) = \begin{cases} \frac{x - \nu_i}{\nu_{i+1} - \nu_i}, & x \in [\nu_i, \nu_{i+1}) \\ \frac{\nu_{i+2} - x}{\nu_{i+2} - \nu_{i+1}}, & x \in [\nu_{i+1}, \nu_{i+2}) \\ 0 & \text{altrimenti} \end{cases}$$

**Esempio 3.2** (Caso  $k = 3$ ).

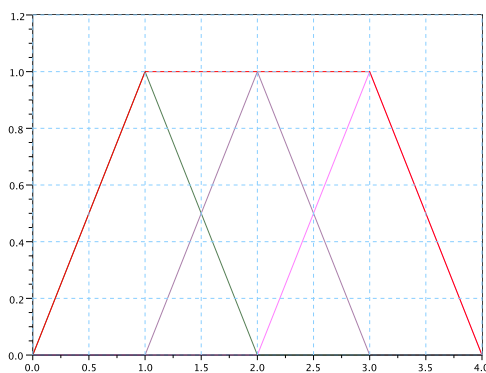
$$N_{i,3}(x) = \begin{cases} \frac{x - \nu_i}{\nu_{i+2} - \nu_i} N_{i,2}(x), & x \in [\nu_i, \nu_{i+1}) \\ \frac{x - \nu_i}{\nu_{i+2} - \nu_i} N_{i,2}(x) + \frac{\nu_{i+3} - x}{\nu_{i+3} - \nu_{i+2}} N_{i+1,2}(x), & x \in [\nu_{i+1}, \nu_{i+2}) \\ \frac{\nu_{i+3} - x}{\nu_{i+3} - \nu_{i+1}} N_{i+1,2}(x), & x \in [\nu_{i+2}, \nu_{i+3}) \\ 0 & \text{altrimenti} \end{cases}$$

---

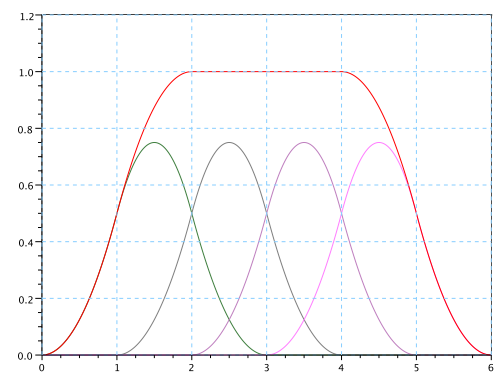
<sup>†</sup>vettore dei nodi

## Curve SPLINE

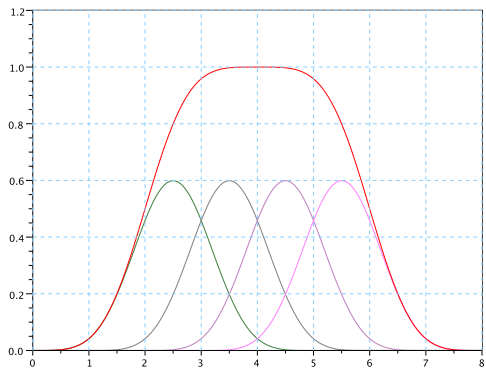
---



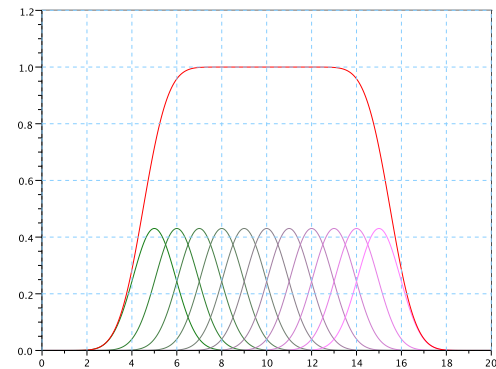
(a)  $k=2$



(b)  $k=3$



(c)  $k=5$



(d)  $k=10$

Figura 3.6: Base delle BSPLINE, in rosso è evidenziata la somma delle componenti.

## Proprietà

### Supporto compatto

$N_{i,k}(x)$  è a supporto compatto, infatti  $N_{i,k} = 0$  se  $t \notin [t_i, t_{i+k}]$ .

### Non negatività

$N_{i,k}(x) \geq 0 \forall t \in [t_i, t_{i+k}]$ , in quanto somma di soli termini positivi in quell'intervallo.

### Partizione dell'unità

$$\sum_{i=0}^n N_{i,k}(t) = 1 \quad \forall t \in [\nu_{k-1}, \nu_{n+1}]$$

Per induzione, la tesi è vera banalmente per  $N_{i,1}(t)$  e  $t \in [t_0, t_{n+1}]$ ; supponendola vera per  $N_{i,k-1}(t)$ ,  $t \in [\nu_{k-2}, \nu_{n+1}]$  per  $N_{i,k}(t)$  e  $t \in [\nu_{k-1}, \nu_{n+1}]$  vale:

$$\begin{aligned} \sum_{i=0}^n N_{i,k}(t) &= \sum_{i=0}^n \left[ \frac{t - \nu_i}{\nu_{i+k-1} - \nu_i} N_{i,k-1}(t) + \frac{\nu_{i+k} - t}{\nu_{i+k} - \nu_{i+1}} N_{i+1,k-1}(t) \right] \\ &= \frac{t - \nu_0}{\nu_{k-1} - \nu_0} \underbrace{N_{0,k-1}(t)}_{\neq 0 \Leftrightarrow t \in [\nu_0, \nu_{k-1}]} + \sum_{i=1}^n \left[ \frac{t - \nu_i}{\nu_{i+k-1} - \nu_i} + \frac{\nu_{i+k-1} - t}{\nu_{i+k-1} - \nu_i} \right] N_{i,k-1}(t) \\ &\quad + \frac{\nu_{n+k} - t}{\nu_{n+k} - \nu_{n+1}} \underbrace{N_{n+1,k-1}(t)}_{\neq 0 \Leftrightarrow t \in [\nu_{n+1}, \nu_{n+k-1}]} \\ &= 0 + \sum_{i=1}^n N_{i,k-1}(t) + 0 + \underbrace{N_{0,k-1}(t)}_{=0, t \in [\nu_{k-1}, \nu_{n+1}]} \\ &= \sum_{i=0}^n N_{i,k-1}(t) \end{aligned}$$

e in quanto  $[\nu_{k-1}, \nu_{n+1}] \subset [\nu_{k-2}, \nu_{n+1}]$ , la proprietà è dimostrata.

### Derivata

La derivata della base delle B-SPLINE è definita come segue:

$$\frac{dN_{i,k}(x)}{dx} = (k-1) \left[ \frac{N_{i,k-1}(x)}{\nu_{i+k-1} - \nu_i} - \frac{N_{i+1,k-1}(x)}{\nu_{i+k} - \nu_{i+1}} \right]$$

### Indipendenza lineare

$$\sum_{i=0}^n a_i N_{i,1}(x) = 0 \Leftrightarrow a_i = 0, \quad \forall i$$

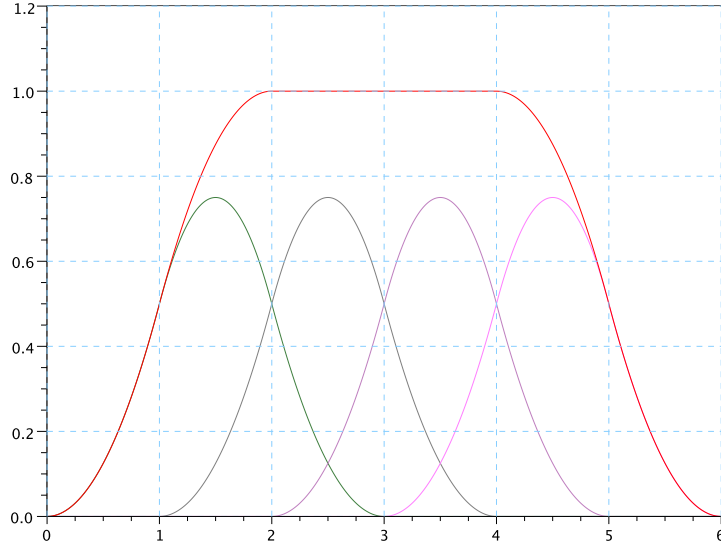


Figura 3.7: Partizione dell'unità: la somma delle basi è unitaria per  $t \in [\nu_{k-1}, \nu_{n+1}]$ . (in questo caso  $k = 3, T = \{0, 1, 2, 3, 4, 5, 6\}, n = 3$ )

si verifica banalmente,  $\forall t \in [a, b]$ . Analogamente, se  $k = 2$ :

$$\sum_{i=0}^n a_i N_{i,2}(x) = 0 \Leftrightarrow a_i = 0, \forall i$$

infatti nei nodi ( $x = \nu_j$ ) solo  $N_{k-1,2}(\nu_j) \neq 0$  e  $a_j$  deve essere diverso da zero, per ogni  $j$ . Per dimostrare la proprietà per  $k > 2$  occorre procedere per induzione, utilizzando i precedenti come casi base. Tenendo conto che vale:

$$\sum_{i=0}^n a_i N_{i,k}(x) = 0 \Rightarrow (k-1) \sum_{i=0}^n a_i \left[ \frac{N_{i,k-1}(x)}{\nu_{i+k-1} - \nu_i} - \frac{N_{i+1,k-1}(x)}{\nu_{i+k} - \nu_{i+1}} \right] = 0$$

espandendo e risommando i termini della sommatoria nella derivata si ottiene:

$$(k-1) \sum_{i=1}^n \left[ \frac{a_i - a_0}{\nu_{i+k-1} - \nu_i} \right] N_{i,k-1}(x) = 0$$

da cui si deve avere  $a_i = a_{i+1}$  ovvero tutti i coefficienti coincidenti. Riportando questo risultato alla sommatoria di partenza:

$$a \sum_{i=0}^n N_{i,k}(t) = 0 \Leftrightarrow a = 0$$

in quanto gli  $N_{i,k}(x)$  sono una combinazione baricentrica.

## Generalizzazione della base delle B-SPLINE

La definizione di SPLINE data nella sezione precedente richiede che la curva abbia lo stesso tipo di continuità su tutti i nodi. Questo vincolo nella pratica può essere troppo stringente, e talvolta conviene usare uno spazio delle spline allargato.

Data la partizione:

$$\tau : a \equiv \tau_0 < \tau_1 < \dots < \tau_n \equiv b, \quad I_i = [\tau_i, \tau_{i+1})$$

ed un vettore:

$$M = m_1, \dots, m_{n-1}, \quad 0 \leq m_i \leq k$$

Questo vettore sta ad indicare il tipo di raccordo che si vuole nei punti  $\tau_2, \dots, \tau_n$ , se  $m_i = 0$  non si chiede neanche la continuità, se  $m_i = s$  si chiede la continuità delle derivate dalla zeroesima alla  $s$ . Si definisce:

$$S_{m,\tau,M} = \left\{ f : [a, b] \rightarrow \mathbb{R}^d \text{ per cui } \exists p_1(t), \dots, p_n(t) \in \Pi_m, f(t)|_{I_i} = p_i(t), \text{ e} \right. \\ \left. p_{i-1}^{(s)}(\tau_i) = p_i^{(s)}(\tau_i), s = \{0, \dots, m_i - 1\} \text{ se } m_i > 0, \right. \\ \left. \text{nessuna condizione imposta in } \tau_i \text{ se } m_i = 0 \right\}$$

per cui se  $m_i = k$   $S_{m,\tau,M} = S_{m,\tau}$  mentre se  $m_i = 0$ ,  $S_{m,\tau,M} = P_{m,\tau}$  ovvero non sussiste neanche la condizione di raccordo semplice. Si ha quindi che  $\Pi_m \subset S_{m,\tau} \subseteq m, \tau, M \subseteq P_{m,\tau}$ , e lo spazio appena definito ha dimensione<sup>†</sup>:

$$\dim(S_{m,\tau,M}) = (m+1) \times n - \sum_{i=1}^{n-1} m_i = n + \underbrace{\sum_{i=1}^{n-1} \frac{nm - nm_i + m_i}{n-1}}_{\mu} = n + \mu$$

Per comodità, usualmente il vettore  $M$  non si riferisce direttamente al grado di derivabilità nei nodi, ma indica direttamente la molteplicità del nodo  $i$ -esimo nel vettore dei nodi, e prende il nome di vettore delle molteplicità. In una curva di grado  $k$  la molteplicità del nodo ( $m$ ) e il grado di derivabilità della curva ( $d$ ) sono legate dalla relazione:

$$m = k - d + 1 \tag{3.1}$$

ovvero per ottenere una curva a derivabilità massima (che coincide con le B-SPLINE classiche) la molteplicità dei nodi deve essere minima (1) e viceversa, per ottenere la derivabilità minima (nel caso pratico si richiede sempre la continuità  $C^0$ ) la molteplicità è massima ( $k$ ).

**Definizione 3.2** (Vettore dei nodi esteso). A partire dall'insieme  $M$  e dal vettore dei nodi  $\nu$  (che ha  $n$  intervalli) si definisce il vettore dei nodi esteso<sup>‡</sup>:

$$T : t_0 \leq \underbrace{\dots \leq t_{k-2}}_{(a)} \leq \underbrace{t_{k-1} \leq \dots \leq t_{n+\mu+1}}_{(b)} \leq \underbrace{t_{n+\mu+2} \leq \dots \leq t_{n+\mu+k}}_{(c)}$$

<sup>†</sup>Come in precedenza,  $n$  intervalli,  $m$  grado

<sup>‡</sup>Come in precedenza,  $k$  grado,  $m_i \in M$

## Curve SPLINE

---

in cui:

- (a) è il vettore dei nodi ausiliari sinistri, e  $\tau_0 = t_0 \leq \dots \leq t_{k-2}$
- (c) è il vettore dei nodi ausiliari destri  $\tau_n = t_{n+\mu+2} \leq \dots \leq t_{n+\mu+k}$
- (b) è tale che:

$$\tau_0 \equiv t_{k-1} < \tau_1 \equiv t_k = \dots = t_{k+m_1} < \dots < t_{n+\mu-m_n} = \dots = t_{n+\mu} \equiv \tau_{n-1} < t_{k+\mu+1} \equiv \tau_n$$

Come prima, si definisce ricorsivamente la base per le spline:

$$N_{i,1}(t) = \begin{cases} 1 & t \in [t_i, t_{i+1}) \\ 0 & \text{altrimenti o se } t_i = t_{i+1} \end{cases}$$

$$N_{i,k}(t) = \begin{cases} 0 & t_i = \dots = t_{i+k} \\ 0 + \frac{t_{i+k} - t}{t_{i+k} - t_{i+1}} N_{i+1,k-1}(t) & t_i = \dots = t_{i+k-1} < t_{i+k} \\ \frac{t - t_i}{t_{i+k-1} - t_i} N_{i,k-1}(t) + 0 & t_i < \dots < t_{i+k-1} = t_{i+k} \\ \frac{t - t_i}{t_{i+k-1} - t_i} N_{i,k-1}(t) + \frac{t_{i+k} - t}{t_{i+k} - t_{i+1}} N_{i+1,k-1}(t) & t_i < \dots < t_{i+k} \end{cases}$$

Osservazione 3.2 (Caso particolare: polinomi di Bernstein).

Ponendo  $[\tau_0, \tau_1] = [0, 1]$ , il vettore dei nodi estesi per una spline di grado  $k$  diventa:

$$t : \tau_0 = t_0 = \dots = t_{k-1} < t_k = \dots = t_{2k-1} = \tau_1.$$

Dalla definizione di  $N_{i,k}$ , per  $i < k$  segue:

$$N_{1,k}(t) = \frac{t - t_1}{t_k - t_1} \underbrace{N_{1,k-1}(t)}_{=0} + \frac{t_{1+k} - t}{t_{1+k} - t_2} N_{2,k-1}(t)$$

quindi, ricorsivamente:

$$N_{2,k-1}(t) = \frac{t - t_2}{t_{k+1} - t_2} \underbrace{N_{2,k-2}(t)}_{=0} + \frac{t_{2+k} - t}{t_{2+k} - t_3} N_{3,k-2}(t)$$

Si può scrivere la formula generica:

$$N_{i,k}(t) = \frac{t_{1+k} - t}{t_{1+k} - t_2} \frac{t_{2+k} - t}{t_{2+k} - t_3} \dots N_{i+k-1,1}(t)$$

ma  $t_0 = \dots = t_{k-1}$  e  $t_k = \dots = t_{2k-1}$  da cui:

$$N_{i,k}(t) = \left( \frac{\tau_1 - t}{\tau_1 - \tau_0} \right)^{k-1} N_{i+k-1,1}(t)$$

analogamente, per  $i \geq k$ :

$$N_{i,k}(t) = \frac{t - t_i}{t_{i+k-1} - t_i} N_{i,k-1}(t) + \frac{t_{i+k} - t}{t_{i+k} - t_{i+1}} \underbrace{N_{i+1,k-1}(t)}_{=0} = \dots = \left( \frac{t - \tau_0}{\tau_1 - \tau_0} \right)^{k-1} N_{2k-1,1}(t)$$

Da qui, sostituendo  $\tau_0 = 0$  e  $\tau_1 = 1$  si ottiene:

$$N_{1,k}(t) = (1 - t)^{k-1} \equiv B_1^{k-1}(t), \quad N_{k,k}(t) = t^{k-1} \equiv B_{k-1}^{k-1}, \quad t \in [\tau_0, \tau_1]$$

In generale si può dimostrare che:

$$N_{i+j,k}(t) = B_k^{k-1}(s), \quad t \in [t_{i+j}, t_{i+j+1}], s \in [\tau_0, \tau_1]$$

### Algoritmo per il calcolo della base delle BSPLINE

```

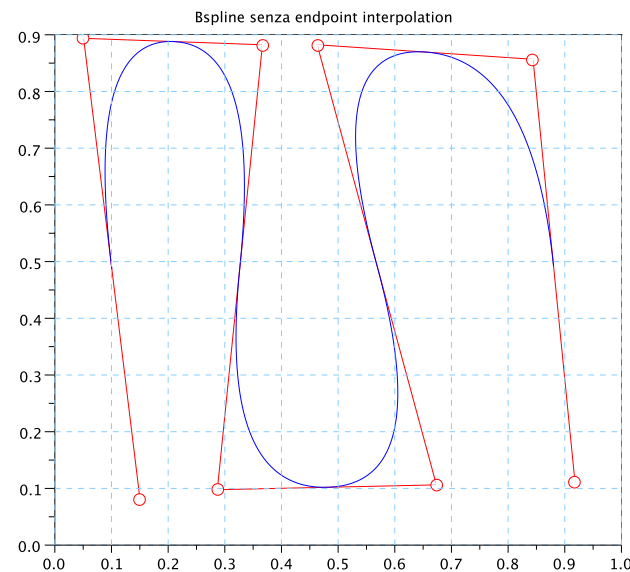
1 function base = Bspline_base(i, k, T, t)
2
3
4 if k==1 then
5   if t<T(i+1) & T(i)<=t then base=1; else base=0; end;
6 else
7   if T(i)==T(i+k) then
8     base=0;
9   else
10    if (T(i+k-1)=T(i)) then
11      lp = ((t-T(i))/(T(i+k-1)-T(i)))* Bspline_base(i, k-1, T, t)
12    else
13      lp = 0
14    end
15
16    if (T(i+k)=T(i+1)) then
17      rp = ((T(i+k)-t)/(T(i+k)-T(i+1)))* Bspline_base(i+1, k-1, T, t)
18    else
19      rp = 0
20    end
21
22    base=lp+rp;
23  end
24 endfunction
25

```

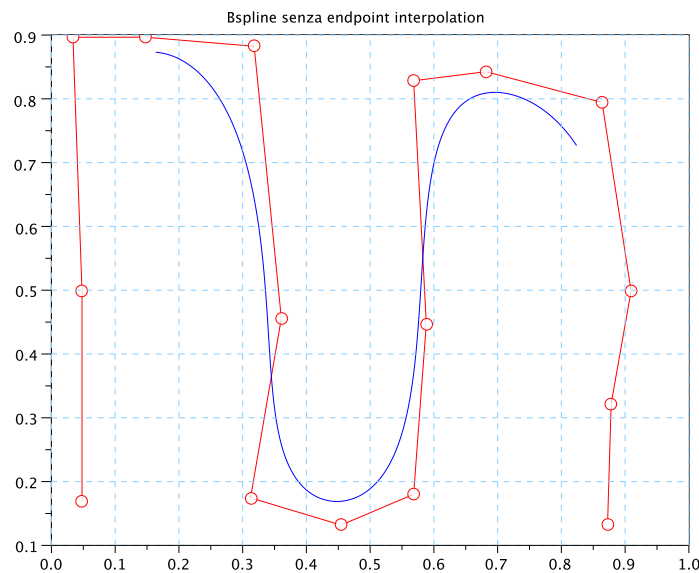
### Derivata

La definizione di derivata è l'estensione diretta di quella della base B data in precedenza:

$$\frac{dN_{i,k}(t)}{dt} = (k-1) \left[ \frac{N_{i,k-1}(t)}{t_{i+k-1} - t_i} - \frac{N_{i+1,k-1}(t)}{t_{i+k} - t_{i+1}} \right]$$



(a)  $k=3$



(b)  $k=8$

Figura 3.8: Due esempi di curve BSPLINE, una di 3 e una di 8 grado. Si nota chiaramente la mancanza di interpolazione agli estremi.

## Curve B-SPLINE

La proprietà di somma unitaria della B-base estesa in  $[t_{k-1}, t_{n+1}]$  permette di utilizzarla in modo analogo ai polinomi di Bernstein per definire una curva:

$$X(t) = \sum_{i=0}^n d_i N_{i,k}(t), \quad t \in [t_{k-1}, t_{n+1}]$$

in cui  $d_i$  sono punti in  $\mathbb{E}^d$ .

Algoritmo per il disegno delle BSPLINE: ricorsivo

```

1 function Curve = Bspline_curve(k,T,b,t)
2 lt = length(t)
3 [d,n] = size(b)
4 iT = length(T)
5 Curve=[]
6 for p=1:lt-1
7     c=[]
8     count = 1
9     for i=1:iT-k
10        c=c+b(:,count).*Bspline_base(i,k,T,t(p))
11        count = count+1
12    end
13    Curve=[Curve,c]
14 end
15 endfunction

```

## Proprietà

### Invarianza alle trasformazioni affini

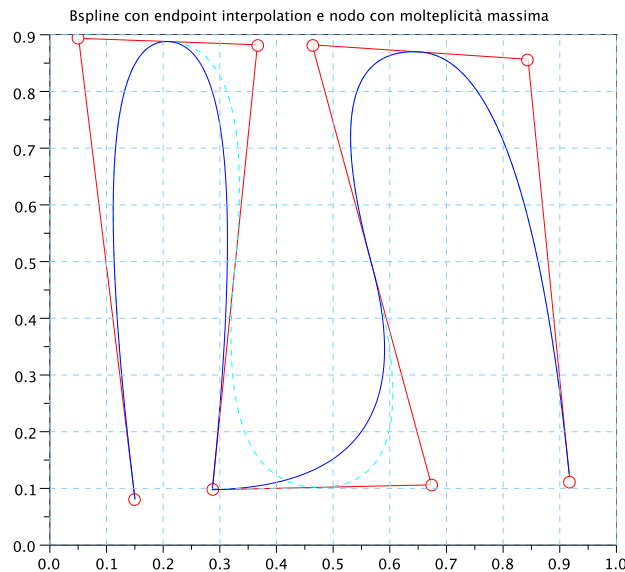
$$\Phi(X(t)) = AX(t) + v = \sum_{i=0}^n \Phi(d_i) N_{i,k}(t)$$

**Controllo locale** Se  $t \in [t_r, t_{r+1}]$ :

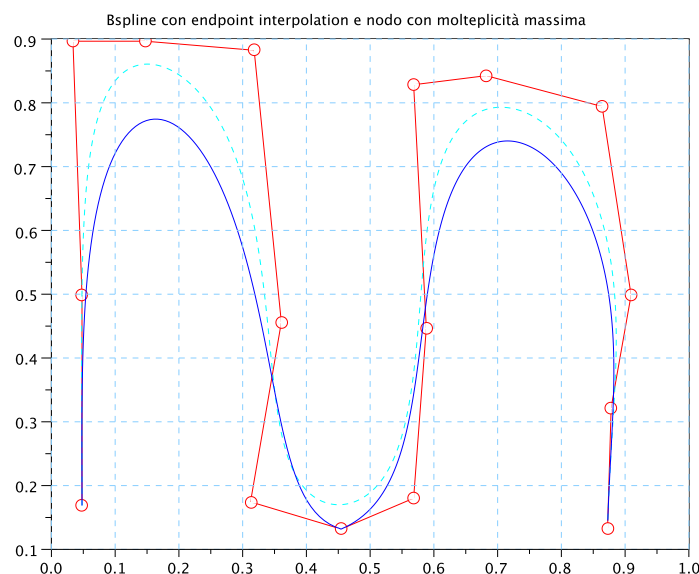
$$X(t) = \sum_{i=r-k+1}^r d_i N_{i,k}(t)$$

in quanto tutte le altre  $N_{i,k}(t)$  sono nulle, ne consegue che la modifica di  $d_i$  ha effetti sulla curva solo nel corrispondente intervallo  $t_i, t_{i+k}$ .

**Strong ConvexHull** Come nel caso dei polinomi di Bernstein, la somma  $\sum_{i=0}^n d_i N_{i,k}(t)$ ,  $t \in [t_{k-1}, t_{n+1}]$  è una combinazione baricentrica dei  $d_i$ , quindi la curva giace nella convex hull di questi; in più la proprietà di località garantisce che la curva, per  $t \in [t_r, t_{r+1}]$  sta anche nella convex hull dei punti  $[t_i, t_{i+k}]$ , ovvero si ha la convex hull forte.



(a)  $k=3$



(b)  $k=8$

Figura 3.9: Molteplicità dei nodi: i due esempi precedenti di curve, con un nodo a molteplicità massima (derivabilità minima).

**Linear precision (come conseguenza della strong convex hull)** Se si hanno  $(k-1)$  punti di controllo allineati  $d_{j+i} = d_j + \alpha_i v$ ,  $r = 0, \dots, k-1$  l'equazione della curva diventa:

$$X(t_{j+k-1}) = \sum_{i=j}^{j+k-1} d_i N_{i,k}(t_{j+k-1}) = d_j + v \left( \sum_{i=j}^{j+k-1} \alpha_{i-j} N_{i,k}(t_{j+k-1}) \right)$$

ovvero se almeno  $k-1$  punti sono allineati la curva tocca il segmento su cui giacciono i punti di controllo, e se almeno  $k$  lo sono la curva si schiaccia sul segmento stesso.

### Derivata

$$\begin{aligned} \frac{dX(t)}{dt} &= (k-1) \sum_{i=0}^n d_i \left[ \frac{N_{i,k-1}(t)}{t_{i+k-1} - t_i} - \frac{N_{i+1,k-1}(t)}{t_{i+k} - t_{i+1}} \right] \\ &= (k-1) \sum_{i=1}^n \frac{d_i - d_{i-1}}{t_{i+k-1} - t_i} N_{i,k-1}(t) \end{aligned}$$

scrivendo il coefficiente  $\frac{d_i - d_{i-1}}{t_{i+k-1} - t_i}$  come  $d_i^{[1]}$  (e ricorsivamente  $d_i^{[r]} = \frac{d_i^{[r-1]} - d_{i-1}^{[r-1]}}{t_{i+k-1} - t_i}$ ) si può generalizzare:

$$\frac{d^r X(t)}{d^r t} = (k-1) \dots (k-r) \sum_{i=1}^n d_i^{[r]} N_{i,k-1}(t), \quad t \in [t_{k-1}, t_{n+1}]$$

**End point interpolation** In generale la proprietà di end point interpolation non vale per le B-SPLINE, ma la si può forzare.

Dato il vettore ausiliario  $t : t_0, \dots, t_i, \dots, t_{i+k-2}, \dots, t_{k+\mu+k}$ , se i  $k-1$  nodi  $t_i, \dots, t_{i+k-2}$  coincidono si ha che  $X(t_i) = d_{i-1}$ . Quindi, forzando  $t_0 = \dots = t_{k-1} = \tau_0$  e  $t_{k+\mu+2} = \dots = t_{k+\mu+k} = \tau_n$ ,  $N_{0,k}(t) = B_0^{k-1} \left( \frac{t - \tau_0}{\tau_1 - \tau_0} \right)$  con  $t \in [\tau_0, \tau_1]$  e  $N_{n,k}(t) = B_{k-1}^{k-1} \left( \frac{t - \tau_{n-1}}{\tau_n - \tau_{n-1}} \right)$  con  $t \in [\tau_{n-1}, \tau_n]$ , ovvero la proprietà è verificata.

**Derivata agli estremi: raccordo** Per disegnare una curva chiusa a derivate continue si deve imporre:

$$\frac{d^r X(\tau_0)}{d^r t} = \frac{d^r X(\tau_n)}{d^r t}, \quad r = 0, \dots, k-2$$

ovvero, per ogni  $r$ :

$$(k-1) \dots (k-r) \sum_{i=1}^n d_i^{[r]} N_{i,k-1}(\tau_0) = (k-1) \dots (k-r) \sum_{i=1}^n d_i^{[r]} N_{i,k-1}(\tau_n)$$

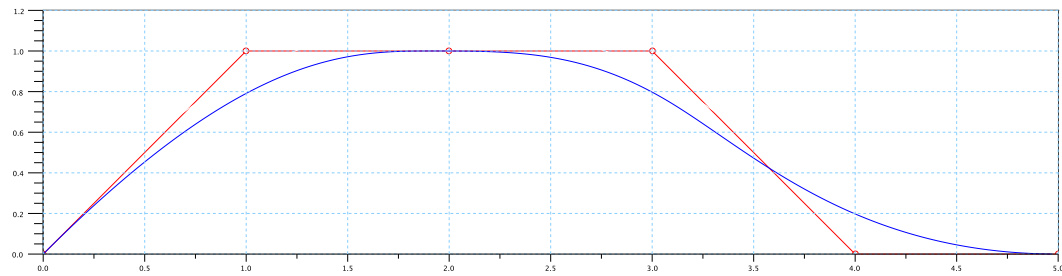
Per le proprietà degli  $N_{i,k}$ :

$$(k-1) \dots (k-r) \sum_{i=0}^{k-2} d_i^{[r]} N_{i,k-1}(\tau_0) = (k-1) \dots (k-r) \sum_{i=n-k+2}^n d_i^{[r]} N_{i,k-1}(\tau_n)$$

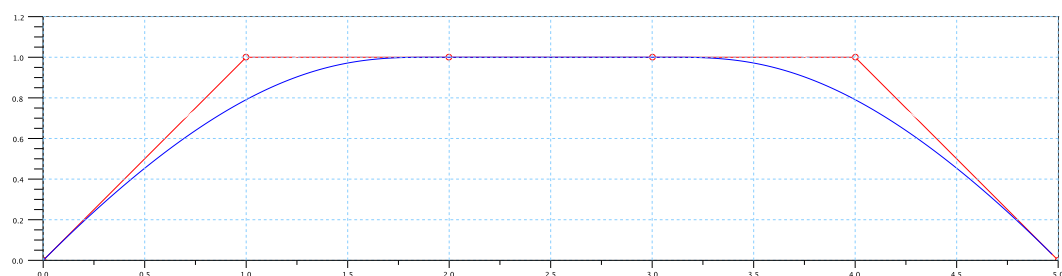
da cui derivano direttamente le condizioni da impostare, ovvero:

## Curve SPLINE

---



(a)  $k=4$ , 3 nodi allineati



(b)  $k=4$ , 4 nodi allineati

Figura 3.10: Linear precision: esempi con  $k - 1 (= 3)$  e  $k (= 4)$  nodi allineati.

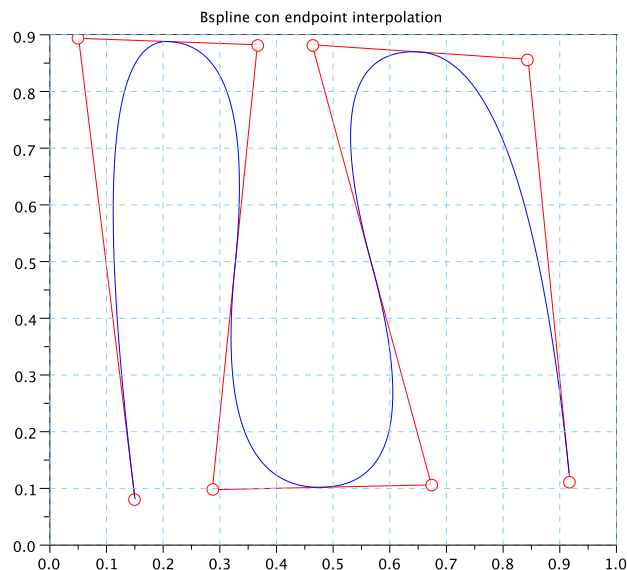
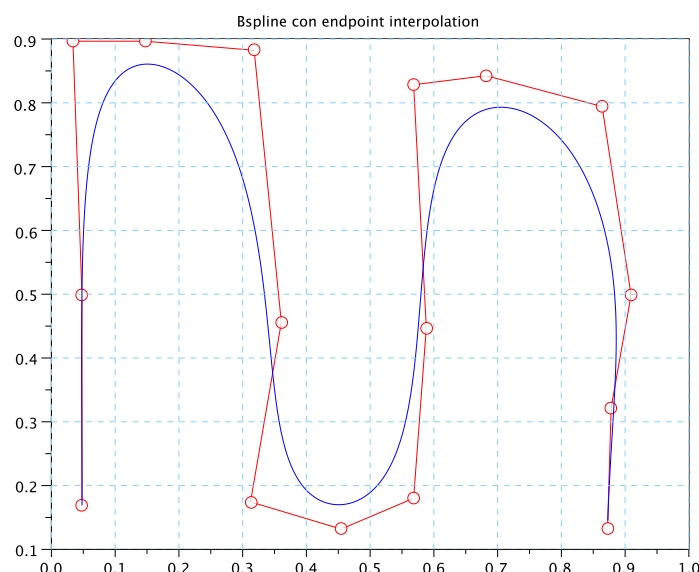
(a)  $k=3$ (b)  $k=8$ 

Figura 3.11: End point interpolation: i due esempi precedenti di curve a cui è stata forzata l'end point interpolation.

## Curve SPLINE

---

- I primi e gli ultimi punti di controllo devono coincidere:  $d_i = d_{n-k+2-i}$ ,  $i = 0, \dots, k - 2$
- I primi e gli ultimi nodi ausiliari vanno definiti in modo tale da rispettare le distanze:

$$\begin{cases} h_i &= h_{n-k+2+i} \\ h_{n+1+i} &= h_{k-1+i} \end{cases}$$

sempre per  $i = 0, \dots, k - 2$

## Algoritmi per curve BSPLINE

### Disegno della curva: de Boor

L'algoritmo di de Boor calcola i punti della curva in maniera analoga a quello di de Casteljau per le curve di Bézier.

Considerando  $t \in [t_{k-1}, t_{n+1}]$

$$\begin{aligned} X(t) &= \sum_{i=0}^n d_i^{(0)} N_{i,k}(t) \\ &= \sum_{i=0}^n d_i^{(0)} \left[ \frac{t - t_i}{t_{i+k-1} - t_i} N_{i,k-1}(t) + \frac{t_{i+k} - t}{t_{i+k} - t_{i+1}} N_{i+1,k-1}(t) \right] \\ &= \sum_{i=1}^n \underbrace{\left[ \underbrace{\frac{t - t_i}{t_{i+k-1} - t_i} d_i^{(0)}}_{\alpha_i^{(1)}(t)} + \underbrace{\frac{t_{i+k-1} - t}{t_{i+k-1} - t_i} d_{i-1}^{(0)}}_{1-\alpha_i^{(1)}(t)} \right]}_{d_i^{(1)}(t)} N_{i,k-1}(t) \end{aligned}$$

a questo punto, definendo  $\alpha_i^{(j)}(t) = \frac{t - t_i}{t_{i+k-j} - t_i}$  e di conseguenza  $d_i^{(j)}(t) = \alpha_i^{(j)}(t)d_i^{(j-1)}(t) + (1 - \alpha_i^{(j)}(t))d_{i-1}^{(j-1)}(t)$ :

$$\begin{aligned} X(t) &= \sum_{i=j}^n d_i^{(j)}(t) N_{i,k-j}(t) \\ &= \sum_{i=k-1}^n d_i^{(k-1)}(t) N_{i,1}(t) \end{aligned}$$

ovvero, se  $t \in [t_r, t_{r+1}]$ ,  $X(t) = d_r^{(k-1)}(t)$ .

Per  $t \in [t_r, t_{r+1}]$  si possono escludere dalla sommatoria iniziale i termini nulli:

$$X(t) = \sum_{i=r-k+1}^r d_i^{(k-1)}(t) N_{i,1}(t)$$

ed è possibile ottimizzare l'algoritmo.

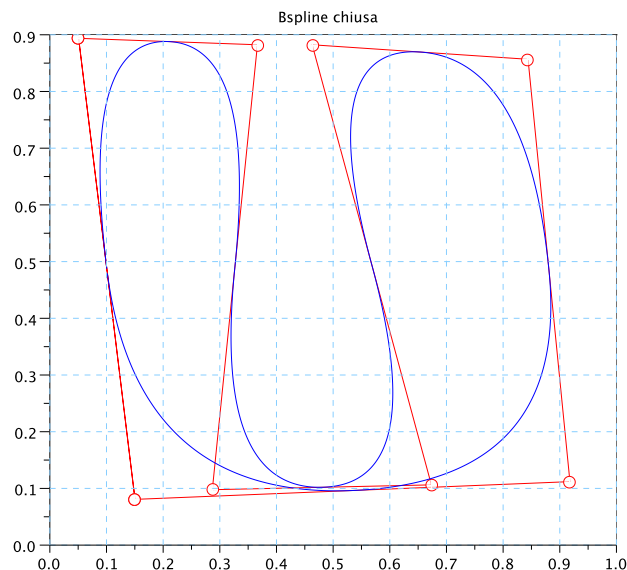
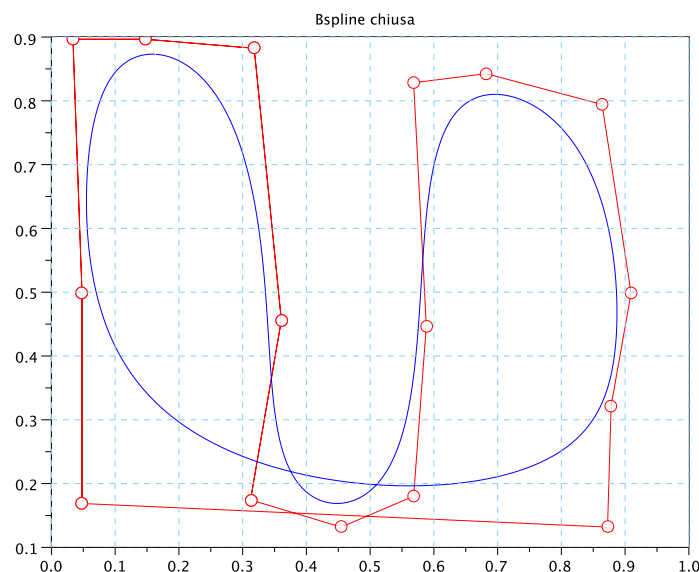
(a)  $k=3$ (b)  $k=8$ 

Figura 3.12: Derivata agli estremi: i due esempi precedenti di curve, con  $T$  modificato per avere una curva chiusa.

## Curve SPLINE

---

Algoritmo per il disegno delle BSPLINE: deBoor

```

1 function Curve = Bspline_deboor(k,T,b,t)
2 lt = length(t)
3 [d,n] = size(b)
4 IT = length(T)
5
6
7 intervals=[]
8 for i=1:(IT-1)
9     if T(i)<T(i+1)
10        intervals=[intervals ,[T(i);i ]]
11    end
12 end
13 intervals=[intervals ,[T(IT);min(find(T==T(IT)))]]
14
15 Curve = []
16 for p=1:lt-1
17     r = intervals(2,max(find(intervals(1,:)<=t(p))))
18     d=b
19     for j=1:k-1
20         for i=r:-1:r-k+j+1
21             a = (t(p)-T(i))/(T(i+k-j)-T(i))
22             d(:,i)=a*d(:,i)+(1-a)* d(:,i-1)
23         end
24     end
25     Curve=[Curve ,d(:,r)]
26 end
endfunction

```

## Knot Insertion

Si vuole inserire un nodo  $t^* \notin T$  tale che  $t^* \in [t_r, t_{r+1}]$  per creare il vettore  $T^* = T \cup \{t^*\}$ , e definire una curva su  $T^*$  che sia identica a quella precedentemente definita su  $T$ . In particolare si definisce la curva:

$$X^*(t) = \sum_{i=0}^{n+1} d_i^* N_{i,k}^*(t) \equiv \sum_{i=0}^n d_i N_{i,k}(t) = X(t)$$

in cui:

$$T^* : t_i^* = \begin{cases} t_i, & i = 0, \dots, r \\ t^*, & i = r + 1 \\ t_{i-1}, & i = r + 2, \dots, n + \mu + k \end{cases}$$

Definendo:

$$\alpha_{L,i} = \begin{cases} \frac{t^* - t_i}{t_{i+k-1} - t_i}, & i = r - k + 2, \dots, r \\ 1, & i = r - k + 1 \end{cases}$$

$$\alpha_{R,i} = \begin{cases} \frac{t_{i+k-1} - t^*}{t_{i+k-1} - t_i}, & i = r - k + 1, \dots, r - 1 \\ 1, & i = r \end{cases}$$

si posso scrivere i nuovi  $N_{i,k}^*$  a partire da quelli vecchi:

$$N_{i,k}^*(t) = \begin{cases} N_{i,k}(t) & i = 0, \dots, r-k \\ \alpha_{L,i} N_{i,k}(t) + \alpha_{R,i+1} N_{i+1,k}(t) & i = r-k+1, \dots, r \\ N_{i+1,k}(t) & i = r+1, \dots, n+1 \end{cases}$$

Espletando parte dell'equazione della nuova curva si ottiene:

$$\begin{aligned} X(t) &= \sum_{i=0}^n d_i N_{i,k}(t) = \sum_{i=0}^{n+1} d_i^* N_{i,k}^*(t) \\ &= \sum_{i=0}^{r-k} d_i^* N_{i,k}(t) + \sum_{i=r-k+1}^r d_i^* (\alpha_{L,i} N_{i,k}(t) + \alpha_{R,i+1} N_{i+1,k}(t)) + \sum_{i=r+1}^{n+1} d_i^* N_{i+1,k}(t) \\ &= \sum_{i=0}^{r-k+1} d_i N_{i,k}(t) + \sum_{i=r-k+2}^r (d_i \alpha_{L,i} + d_{i-1} \alpha_{R,i}) N_{i,k}(t) + \sum_{i=r+1}^{n+1} d_{i-1} N_{i,k}(t) \end{aligned}$$

da cui si possono ricavare direttamente i  $d_i^*$ :

$$d_i^* = \begin{cases} d_i, & i = 0, \dots, r-k+1 \\ \alpha_{L,i} d_i + \alpha_{R,i+1} d_{i-1} & i = r-k+2, \dots, r \\ d_{i-1} & i = r+1, \dots, n+1 \end{cases}$$

### Algoritmo di knot insertion

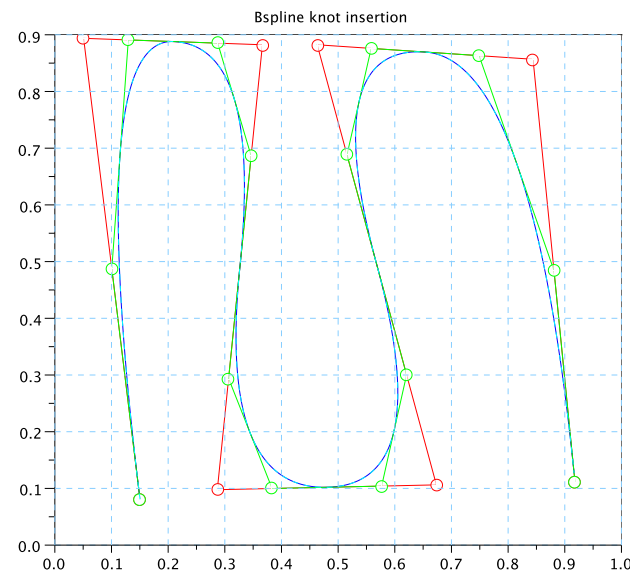
```

1 function [nb,nT] = Bspline_knotins(k,T,b,p)
2 [d,n] = size(b);
3 IT = length(T);
4
5
6 intervals=[];
7 for i=1:(IT-1)
8     if T(i)<T(i+1)
9         intervals=[intervals , [T(i) ; i ]];
10    end
11 end
12 intervals=[intervals , [T(IT) ; min(find(T==T(IT)))]];
13
14 r = intervals(2,max(find(intervals(1,:)<=p)));
15
16 nT = [T(1:r),p,T(r+1:IT)];
17
18 nb = b(:,1:r-k+1);
19
20 for i=r-k+2:r
21     a = (p-T(i))/(T(i+k-1)-T(i));
22     nb = [nb,a*b(:,i)+(1-a)*b(:,i-1)];
23 end
24
25 nb = [nb,b(:,r:n)];
26
27
28 endfunction

```

## Curve SPLINE

---



(a)  $k=3$

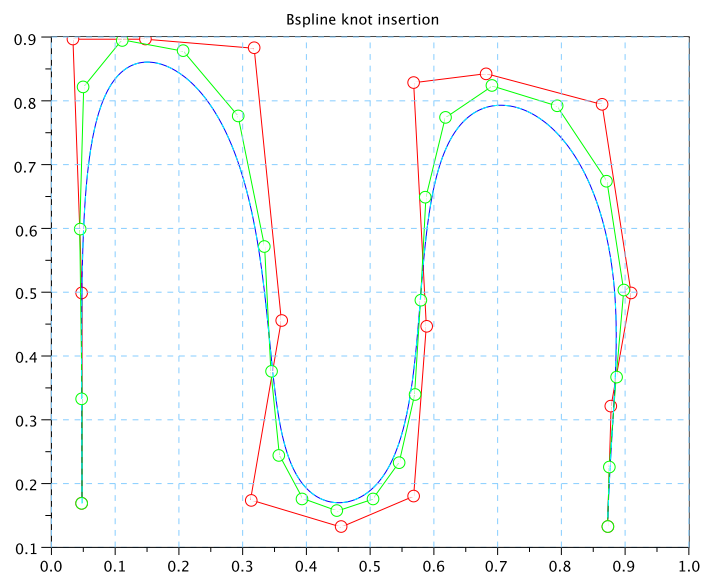


Figura 3.13: Knot insertion:i due esempi precedenti di curve, con una operazione di knot insertion eseguita per ogni intervallo.

## Curve NURBS

Le curve NURBS (Non Uniform Rational B-SPLINEs) sono un'estensione delle B-SPLINEs analogia alla razionalizzazione delle curve di Bézier.

La curva NURBS è definita come:

$$X(t) = \frac{\sum_{i=0}^n \beta_i d_i N_{i,k}(t)}{\sum_{i=0}^n \beta_i N_{i,k}(t)}, \quad t \in [t_{k-1}, t_{n+1}], \quad T = \{t_0, \dots, t_{k-1}, \dots, t_{n+1}, \dots, t_{n+k}\}$$

Per comodità si indica con  $w(t) = \sum_{i=0}^n \beta_i N_{i,k}(t)$  e di conseguenza con  $R_{i,k}(t) = \frac{\beta_i N_{i,k}(t)}{w(t)}$ ; così l'espressione della curva diventa:

$$X(t) = \sum_{i=0}^n d_i R_{i,k}(t)$$

### Algoritmo per il calcolo delle curve NURBS

```

1 function Curve = Bspline_rational(k,T,b,beta,t)
2 [d,n] = size(b)
3 n2 = length(beta)
4 B=[beta]
5 for i=1:d //Aumenta di una dimensione
6     B = [B; beta.*b(i,:)]
7 end
8 C = Bspline_deboor(k,T,B,t)
9 for i=1:d
10 Curve(i,:) = C(i+1,:)/C(1,:)
11 end
12 endfunction

```

## Proprietà

Le proprietà delle curve NURBS derivano direttamente da quelle delle B-SPLINEs, se  $\beta_i > 0 \forall i$ .

### Influenza dei coefficienti

Per studiare l'influenza dei coefficienti si può calcolare cosa succede quando uno di questi cambia. Si definisce:

$$\bar{\beta}_i = \begin{cases} \beta_j + \Delta\beta_j, & i = j \\ \beta_i, & \text{altrimenti} \end{cases}$$

e di conseguenza:

$$\bar{w}(t) = \sum_{i=0}^n \bar{\beta}_i N_{i,k}(t) = w(t) + \Delta\beta_j N_{j,k}(t)$$

## Curve SPLINE

---

La nuova curva differisce dalla nuova di:

$$(\bar{X}(t) - X(t)) = \frac{\Delta\beta_j N_{j,k}(t) - X(t)\Delta\beta_j N_{j,k}(t)}{\bar{w}(t)} = \frac{\Delta\beta_j N_{j,k}(t)(d_j - X(t))}{\bar{w}(t)}$$

ovvero l'effetto è limitato dalla proprietà di località di  $N_{j,k}(t)$ , ha verso  $(d_j - X(t))$  (cioè è in direzione del nodo interessato dal cambio di peso) e ha ampiezza  $\Delta\beta_j$ .

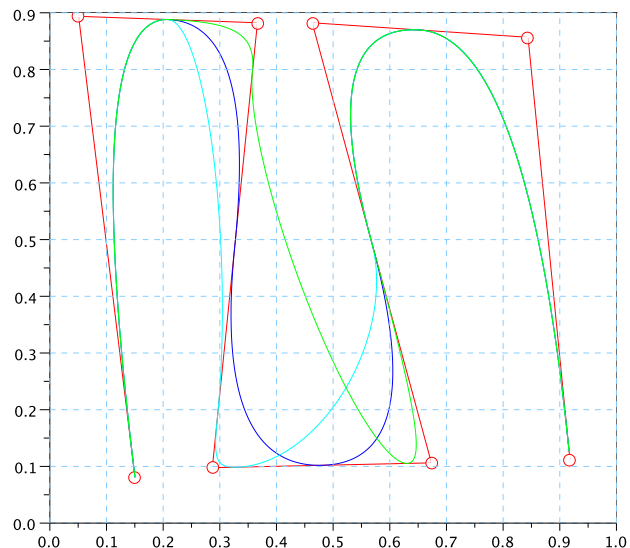
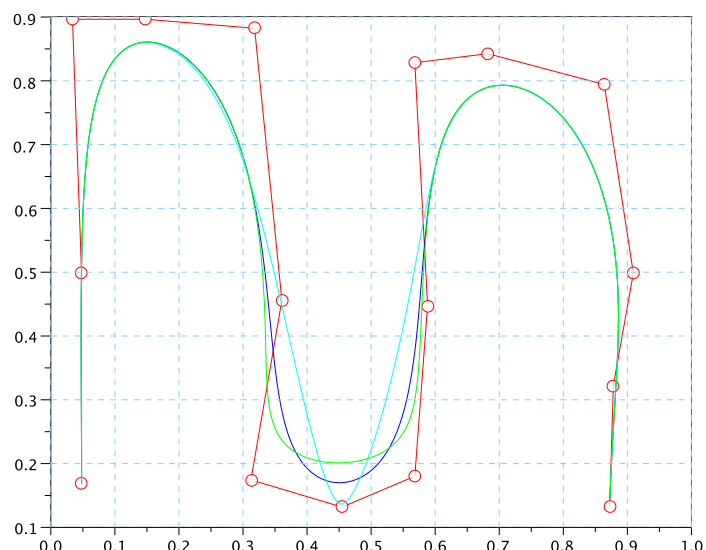
(a)  $k=3$ (b)  $k=8$ 

Figura 3.14: NURBS: i due esempi precedenti di curve, con il peso relativo ad un punto modificato in direzioni opposte.

## Curve SPLINE

---

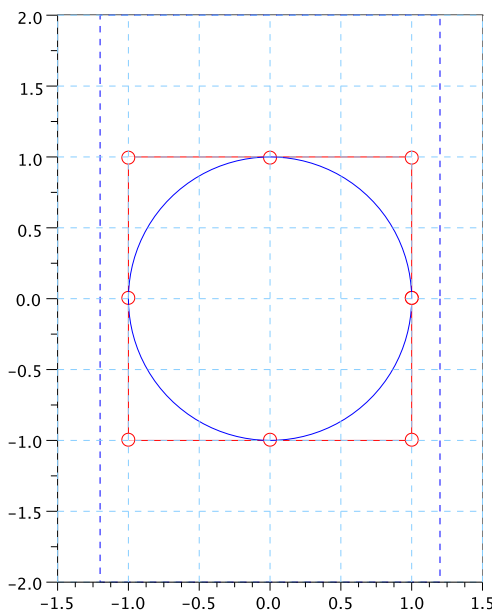


Figura 3.15: Disegno di una circonferenza con una curva NURBS

# Interpolazione

usando curve parametriche

Dato un'insieme di coppie di valori del tipo:

$$(x_i, f_i), \quad x_0 < \dots < x_n, \quad i = 0, \dots, n$$

tali che<sup>†</sup>  $x_i \in \mathbb{R}^k$  e  $f_i \in \mathbb{E}^d$ , il problema dell'interpolazione consiste nel trovare una curva  $f(t)$  (tipicamente una funzione polinomiale:  $f(t) \in \Pi_n(t)$ ) ed una parametrizzazione  $t = g(x_i)$  per cui la funzione interpoli i dati forniti, ovvero:

$$f(g(x_i)) = f_i, \quad i = 0, \dots, n$$

e scelte in modo che siano compatibili:

$$\begin{cases} f : [a, b] \rightarrow \mathbb{E}^d \\ g : [x_0, x_n] \rightarrow [a, b] \end{cases}$$

## Parametrizzazioni

Supponendo di voler usare la base di Lagrange<sup>‡</sup> per definire un polinomio interpolante ai dati, si avrebbe un'espressione del tipo:

$$p(x) = \sum_{i=0}^n f_i L_{i,n}(x) = \sum_{i=0}^n f_i \prod_{\substack{j \neq i \\ j=1}}^n \frac{x - x_j}{x_i - x_j} \quad (4.1)$$

---

<sup>†</sup>In queste note si considerano le funzioni monovariate, ovvero  $x_i \in \mathbb{R}$

<sup>‡</sup> $L_{i,n}(x) = \prod_{j \neq i}^n \frac{x - x_j}{x_i - x_j}$

Da qui, per passare dal polinomio (4.1), strettamente legato agli  $x_i$ , a una curva parametrica in  $t$  su un intervallo  $[a, b]$  arbitrario che sia interpolante gli stessi punti, si definisce:

$$X(t) = \sum_{i=0}^n P_i L_{i,n}(t)$$

per la quale i punti di controllo  $P_i$  coincidono con i punti da interpolare  $f_i$ , e i parametri  $t_i$  corrispondenti dipendono dalla parametrizzazione utilizzata.

Alcuni schemi di parametrizzazione sono:

- **Uniforme:** Si sceglie la parametrizzazione in modo che i  $t_i$  corrispondenti ai punti di interpolazione siano equispaziati nel dominio  $[a, b]$  del parametro, ovvero:

$$t_i = a + \frac{i(b-a)}{n}, \quad i = 0, \dots, n$$

#### Parametrizzazione uniforme

```

1 function u=l_par_unif(p)
2     [d,n] = size(p)
3     u=1/(n-1)*(0:n-1)
4 endfunction

```

- **Chord Length:** Si sceglie la parametrizzazione in modo che i  $t_i$  siano distanziati in maniera proporzionale alla distanza dei punti, così da migliorare la corrispondenza tra la posizione dei punti in  $[a, b]$  e la loro immagine sulla curva:

$$\begin{cases} t_0 &= a \\ t_{i+1} &= t_i + (b-a) \frac{|P_{i+1} - P_i|}{\sum_{j=0}^n |P_{j+1} - P_j|} \end{cases}$$

#### Parametrizzazione Chord Length

```

1 function u=l_par_cl(p)
2     [d,n] = size(p)
3     u=[]
4     df = sum(abs(p(:,2:n)-p(:,1:n-1)),1)
5     df = df/sum(df)
6     u(1)=0;
7     for i=2:n
8         u(i) = u(i-1)+(df(i-1))
9     end
10    u=(u/u(n))'
11 endfunction

```

- **Centripeta:** La parametrizzazione centripeta è definita in modo simile a quella Chord length:

$$\begin{cases} t_0 &= a \\ t_{i+1} &= t_i + (b-a) \frac{|P_{i+1} - P_i|^\alpha}{\sum_{j=0}^n |P_{j+1} - P_j|^\alpha}, \quad \alpha = \frac{1}{2} \end{cases}$$

### Parametrizzazione Centripeta

```

1 function u=l_par_cen(p)
2 [d,n] = size(p)
3 u=[]
4 df = sum(abs(p(:,2:n)-p(:,1:n-1)),1)
5 df = df.^0.5/sum(df).^0.5
6 u(1)=0;
7 for i=2:n
8     u(i) = u(i-1)+(df(i-1))
9 end
10 u=(u/u(n))'
11 endfunction

```

In generale questi stessi schemi di parametrizzazione si possono applicare nel dominio delle curve SPLINEs per segmentare il dominio della curva nei suoi sottodomini.

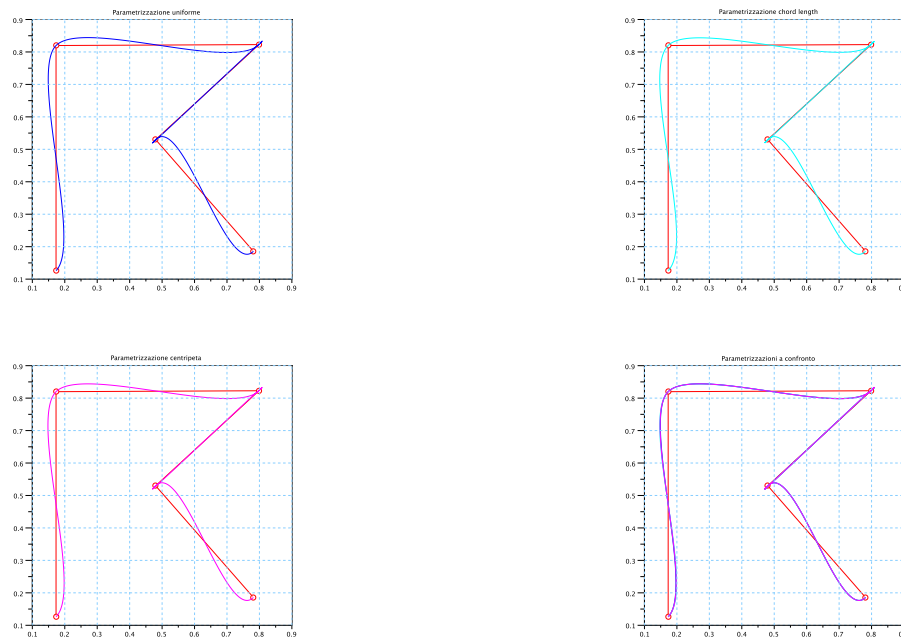


Figura 4.1: Parametrizzazioni a confronto

## Interpolazione mediante SPLINE cubica $\mathcal{C}^1$ alla Hermite

Si supponga di avere a disposizione i dati da interpolare in forma di triple:

$$(t_i, f_i, f'_i), \quad i = 0, \dots, n$$

in cui  $f_i$  rappresenta il valore da interpolare e  $f'_i$  la tangente alla curva nel punto di interpolazione; si cerca una funzione spline  $f(t) \in \Pi_n$  che interpoli i dati in questo modo:

$$\begin{cases} f(t_i) = f_i \\ f'(t_i) = f'_i \end{cases}$$

Ricapitolando, dati:

$$(u_i, P_i, w_i), \quad a = u_0 < \dots < u_n = b$$

si può costruire una curva spline di terzo grado con continuità  $\mathcal{C}^1$  interpolante a partire dalla base di Bernstein. In particolare, si cerca una curva:

$$X(u) = X_i(u), \quad u \in [u_i, u_{i+1}]$$

$$X_i(u) = \sum_{k=0}^3 b_{k,i} B_k^3 \left( \frac{u - u_i}{u_{i+1} - u_i} \right)$$

per la quale valgano:

$$\begin{cases} X_i(u_i) = P_i \\ \frac{dX_i(u_i)}{du} = w_i \\ X_i(u_{i+1}) = P_{i+1} \\ \frac{dX_i(u_{i+1})}{du} = w_{i+1} \end{cases}$$

Dalle proprietà dei polinomi di Bernstein segue direttamente che per le condizioni agli estremi si devono imporre:

$$\begin{cases} X_i(u_i) = X_i(0) = b_{0,i} = P_i \\ X_i(u_{i+1}) = X_i(1) = b_{3,i} = P_{i+1} \end{cases}$$

mentre per le derivate:

$$\begin{cases} \frac{dX_i(u_i)}{du} = \frac{1}{u_{i+1} - u_i} \frac{dX_i(0)}{du} = \frac{3}{u_{i+1} - u_i} (b_{1,i} - b_{0,i}) = w_i \\ \frac{dX_i(u_{i+1})}{du} = \frac{1}{u_{i+1} - u_i} \frac{dX_i(1)}{du} = \frac{3}{u_{i+1} - u_i} (b_{3,i} - b_{2,i}) = w_{i+1} \end{cases}$$

da cui si ricavano direttamente:

$$\begin{cases} b_{1,i} = \frac{u_{i+1} - u_i}{3} w_i + b_{0,i} \\ b_{2,i} = -\frac{u_{i+1} - u_i}{3} w_{i+1} + b_{3,i} \end{cases}$$

### Spline cubiche

```

1 function [Curve ,hodo ,hodo2]=Interp_c1(p,w,tparam ,npoints )
2     [d,n] = size(p)
3     Curve=[]
4     hodo=[]
5     hodo2=[]
6     dp=diff(tparam)
7     for i=1:n-1
8         b=[]
9         b(:,1)=p(:,i)
10        b(:,2)=dp(i)*w(:,i)/3+b(:,1)
11        b(:,4)=p(:,i+1)
12        b(:,3)=-dp(i)*w(:,i+1)/3+b(:,4)
13        tab = [0:dp(i)/npoints:1]
14        Curve=[Curve , Bezier_casteljau(b,tab)]
15        hodo=[hodo,1/dp(i)*Bezier_casteljau(Bezier_hodograph(b),tab)]
16        hodo2=[hodo2,1/dp(i)^2*Bezier_casteljau(Bezier_hodograph(b)),tab
17        )]
17    end
18 endfunction

```

### Schemi di approssimazione delle derivate

Se non si hanno a disposizione triplette di dati ma soltanto coppie  $(u_i, f_i)$ , si possono definire degli schemi per approssimare i valori  $f'_i$  ed utilizzare comunque un approccio alla Hermite per l'interpolazione.

**Schema FMILL** Scegliendo di approssimare le derivate in questo modo:

$$w_i = \frac{P_{i+1} - P_{i-1}}{h_{i-1} + h_i}, \quad i = 1, \dots, n$$

$$w_0 = \frac{P_1 - P_0}{h_0}, \quad w_n = \frac{P_n - P_{n-1}}{h_{n-1}}$$

in cui  $h_i = u_{i+1} - u_i$ , si ha un'approssimazione al prim'ordine della curva. Infatti, se  $F(u)$  fosse la funzione che ha originato le coppie di interpolazione  $(u_i, f_i)$ , si avrebbe:

$$P_{i+1} = F(u_{i+1}) = F(u_i) + h_i F'(u_i) + \frac{1}{2} h_i^2 F''(\xi)$$

$$P_{i-1} = F(u_{i-1}) = F(u_i) + h_{i-1} F'(u_i) + \frac{1}{2} h_{i-1}^2 F''(\zeta)$$

$$P_{i+1} - P_{i-1} = (h_{i-1} + h_i) F'(u_i) + O(h^2)$$

$$\frac{P_{i+1} - P_{i-1}}{h_{i-1} + h_i} = F'(u_i) + O(h^2)$$

### Schema FMILL

```

1 function w=l_tang_fmill(p,u)
2     [d,n] = size(p)
3     h=diff(u)
4     w = [(p(:,2)-p(:,1))/h(1)]
5     for i=2:n-1
6         w = [w,(p(:,i+1)-p(:,i-1))/(h(i-1)+h(i))]
7     end
8     w = [w,(p(:,n)-p(:,n-1))/h(n-1)]
9 endfunction

```

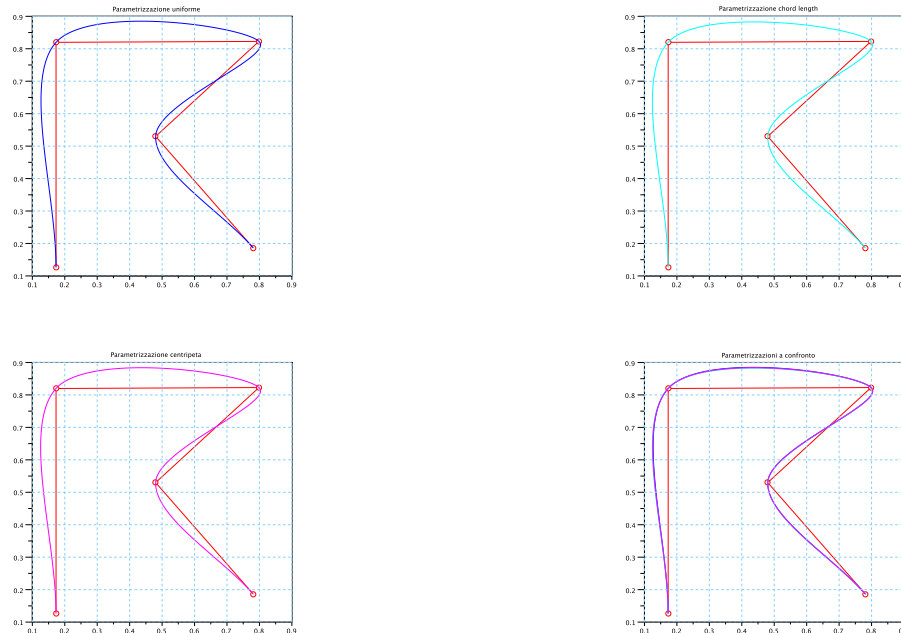


Figura 4.2: Schema FMILL

**Tangenti di Bessel** L'idea alla base delle tangenti di Bessel è quella di considerare la derivata di un polinomio di secondo grado interpolante tre punti consecutivi come terzo valore per il polinomio interpolante di terzo grado.

Siano  $q_i(u)$  curve polinomiali a tratti in  $\Pi_2$  tali che:

$$q_i(u_j) = P_j, \quad j = i-1, i, i+1 \quad u \in [u_{i-1}, u_{i+1}]$$

definite in questo modo:

$$q_i(u) = \sum_{k=0}^2 b_{k,i} B_k^2 \left( \frac{u - u_{i-1}}{u_{i+1} - u_{i-1}} \right)$$

definendo  $t(u) = \left( \frac{u - u_{i-1}}{u_{i+1} - u_{i-1}} \right)$  la precedente può essere scritta:

$$\begin{aligned} q_i(u_i) &= \sum_{k=0}^3 b_{k,i} B_k^2(t_{u_i}) = P_{i-1} B_0^2(t_{u_i}) + b_{1,i} B_1^2(t_{u_i}) + P_{i+1} B_2^2(t_{u_i}) \\ &= P_{i-1}(1 - t_{u_i})^2 + 2b_{1,i} t_{u_i}(1 - t_{u_i}) + P_{i+1} t_{u_i}^2 =_{\text{def}} P_i \end{aligned}$$

da cui:

$$b_{1,i} = \frac{P_i - P_{i-1}(1 - t_{u_i})^2 - P_{i+1} t_{u_i}^2}{2t_{u_i}(1 - t_{u_i})}$$

Mantenendo la notazione  $h_i = u_{i+1} - u_i$ , si ha che:

$$t_{u_i} = \frac{h_{i-1}}{h_{i-1} + h_i}, \quad 1 - t_{u_i} = \frac{h_i}{h_{i-1} + h_i}$$

e si può riscrivere l'equazione precedente in questa forma:

$$b_{1,i} = \frac{1}{2} \left( \frac{P_i(h_{i-1} + h_i)^2}{h_{i-1}h_i} - \frac{P_{i-1}h_i}{h_{i-1}} - \frac{P_{i+1}h_{i-1}}{h_i} \right)$$

Ora che i polinomi  $q_i$  sono definiti è possibile ricavare i valori  $w_i$  per i punti di interpolazione in questo modo:

$$w_i = \frac{dq_i(u_i)}{du} = \frac{1}{h_{i-1} + h_i} \frac{dq_i(t_i)}{dt} = \frac{h_i \frac{P_i - P_{i-1}}{h_{i-1}} + h_{i-1} \frac{P_{i+1} - P_i}{h_i}}{h_{i-1} + h_i}$$

Agli estremi si fissano:

$$w_0 = \frac{2(P_1 - P_0)}{h_0 + h_1} \quad w_n = \frac{2(P_n - P_{n-1})}{h_n + h_{n-1}}$$

Questo schema fornisce un'approssimazione della derivata della curva, infatti:

$$\begin{aligned} P_i &= F(u_i) \\ P_{i-1} &= P_i - F'(u_i)h_{i-1} + \frac{1}{2}h_{i-1}^2 F''(u_i) + O(h_{i-1}^3) \\ P_{i+1} &= P_i + F'(u_i)h_i + \frac{1}{2}h_i^2 F''(u_i) + O(h_i^3) \end{aligned}$$

da cui:

$$\begin{aligned} \frac{P_{i+1} - P_i}{h_i} &= F'(u_i) + \frac{1}{2}h_i F''(u_i) + O(h_i^2) \\ \frac{P_i - P_{i-1}}{h_{i-1}} &= F'(u_i) - \frac{1}{2}h_{i-1} F''(u_i) + O(h_{i-1}^2) \end{aligned}$$

## Interpolazione

---

ed infine:

$$w_i = F'(u_i) + O(h^2)$$

### Schema di Bessel

```

1 function w=l_tang_bessel(p,u)
2     [d,n] = size(p)
3     h=diff(u)
4     w = [2*(p(:,2)-p(:,1))/h(1)+h(2)]
5     for i=2:n-1
6         w = [w,((p(:,i)-p(:,i-1))*h(i)/h(i-1)+(p(:,i+1)-p(:,i))*h(i-1)/h(i))/(h(i-1)+h(i))]
7     end
8     w = [w,2*(p(:,n)-p(:,n-1))/h(n-1)+h(n-2)]
9 endfunction

```

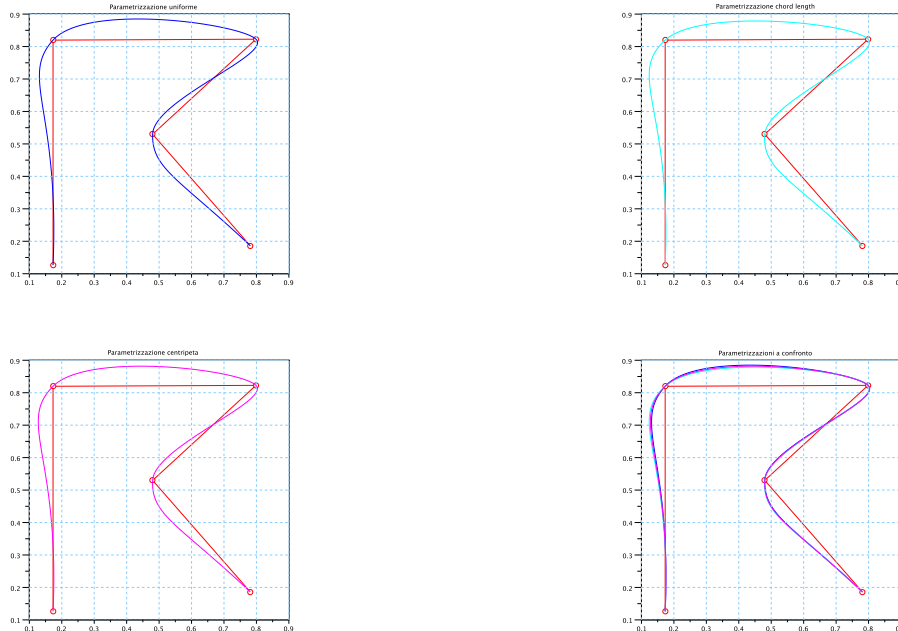


Figura 4.3: Schema di Bessel

## Interpolazione mediante SPLINE cubica $\mathcal{C}^2$

Dati:

$$a = u_0 < \dots < u_n = b, \quad P_i \in \mathbb{E}^d, \quad i = 0, \dots, n$$

si vuole definire una spline  $\mathcal{C}^2$  composta dalle curve:

$$X_i(u)^\ddagger = \sum_{k=0}^3 b_{k,i} B_k^3(t(u)), \quad t(u) = \left( \frac{u - u_i}{u_{i+1} - u_i} \right)^\ddagger$$

per le quali valgono le condizioni:

$$\begin{aligned} X_i(u_i) &= X_{i-1}(u_i) = P_i \\ \frac{dX_i(u_i)}{du} &= \frac{dX_{i-1}(u_i)}{du} \\ \frac{d^2X_i(u_i)}{d^2u} &= \frac{d^2X_{i-1}(u_i)}{d^2u} \end{aligned}$$

Dalle condizioni per le continuità  $\mathcal{C}^0$  e  $\mathcal{C}^1$  deriva direttamente che i coefficienti devono valere, come ricavato in precedenza:

$$\begin{aligned} b_{0,i} &= P_i \\ b_{1,i} &= P_i + \frac{h_i}{3}w_i \\ b_{2,i} &= P_{i+1} - \frac{h_i}{3}w_{i+1} \\ b_{3,i} &= P_{i+1} \end{aligned}$$

### Scelta delle tangenti $w_i$

Dalle condizioni di continuità della derivata seconda  $\frac{d^2X_i(u_i)}{d^2u} = \frac{d^2X_{i-1}(u_i)}{d^2u}$ , segue che:

$$\frac{1}{h_i^2} \frac{d^2X_i(0)}{d^2t} = \frac{1}{h_{i-1}^2} \frac{d^2X_{i-1}(1)}{d^2t}$$

ovvero:

$$\frac{1}{h_i^2} (b_{2,i} - 2b_{1,i} + b_{0,i}) = \frac{1}{h_{i-1}^2} (b_{3,i-1} - 2b_{2,i-1} + b_{1,i-1})$$

da cui:

$$\begin{aligned} &\frac{1}{h_i^2} \left[ \left( P_{i+1} - \frac{h_i}{3}w_{i+1} \right) - 2 \left( P_i + \frac{h_i}{3}w_i \right) + (P_i) \right] \\ &= \frac{1}{h_{i-1}^2} \left[ (P_i) - 2 \left( P_i - \frac{h_{i-1}}{3}w_i \right) + \left( P_{i-1} + \frac{h_{i-1}}{3}w_{i-1} \right) \right] \end{aligned}$$

---

<sup>†</sup>per brevità si pone  $u_{i+1} - u_i = h_i$

<sup>‡</sup>per comodità di notazione talvolta si usa direttamente  $X_i(t) = \sum_{k=0}^3 b_{k,i} B_k^3(t)$ ,  $t \in [0, 1]$ ; l'espressione usata è di volta in volta determinata dal nome del parametro,  $u$  oppure  $t$ .

la quale può essere manipolata, moltiplicando per  $3h_i h_{i-1}$ , fino a questa forma:

$$h_i w_{i-1} + 2(h_{i-1} + h_i)w_i + h_{i-1} w_{i+1} = \underbrace{3 \left[ h_{i-1} \frac{P_{i+1} - P_i}{h_i} + h_i \frac{P_i - P_{i-1}}{h_{i-1}} \right]}_{T_i}$$

I  $T_i$  sono tutti termini noti, e si ha un sistema di  $n - 1$ <sup>†</sup> equazioni in  $n + 1$ <sup>‡</sup> incognite, che può essere scritto nella forma:

$$A\mathbf{w} = \mathbf{T} \quad (4.2)$$

in cui:

$$\mathbf{w} = (w_0, \dots, w_n)^T, \quad \mathbf{T} = (T_1, \dots, T_{n-1})^T$$

ed  $A$  è una matrice in  $\mathcal{M}^{(n-1) \times (n-1)}$  ad elementi:

$$A = \begin{pmatrix} h_1 & 2(h_0 + h_1) & h_0 & 0 & \cdots & 0 \\ 0 & h_2 & 2(h_1 + h_2) & h_1 & \cdots & 0 \\ \vdots & \ddots & \ddots & \ddots & \ddots & \vdots \\ 0 & \cdots & 0 & h_{n-1} & 2(h_{n-2} + h_{n-1}) & h_{n-2} \end{pmatrix}$$

Rimangono da fissare i valori delle derivate agli estremi  $w_0$  e  $w_n$ . Alcune tra le scelte più comuni sono le seguenti:

- **Spline naturale:** scegliendo di avere derivata nulla agli estremi, ovvero:

$$\frac{d^2 X_0(0)}{dt^2} = \frac{d^2 X_{n-1}(1)}{dt^2} = 0$$

si ha, per  $i = 0$ :

$$\left( P_1 - \frac{h_0}{3} w_1 \right) - 2 \left( P_0 + \frac{h_0}{3} w_0 \right) + P_0 = 0$$

da cui:

$$2h_0 w_0 + h_0 w_1 = 3(P_1 - P_0)$$

Per la derivata all'ultimo punto il ragionamento è analogo e si ha:

$$h_{n-1} w_{n-1} + 2h_{n-1} w_n = 3(P_n - P_{n-1})$$

La matrice  $A$  ed il vettore  $\mathbf{T}$  dell'equazione (4.2) possono essere allargati per comprendere i valori agli estremi:

$$A = \begin{pmatrix} 2h_0 & h_0 & 0 & \cdots & \cdots & 0 \\ h_1 & 2(h_0 + h_1) & h_0 & 0 & \cdots & 0 \\ 0 & h_2 & 2(h_1 + h_2) & h_1 & \cdots & 0 \\ \vdots & \ddots & \ddots & \ddots & \ddots & \vdots \\ 0 & \cdots & \cdots & h_{n-1} & 2(h_{n-2} + h_{n-1}) & h_{n-2} \\ 0 & \cdots & \cdots & 0 & h_{n-1} & 2h_{n-1} \end{pmatrix}$$

---

<sup>†</sup>considerando  $n$  intervalli

<sup>‡</sup>tutti i  $w_i$

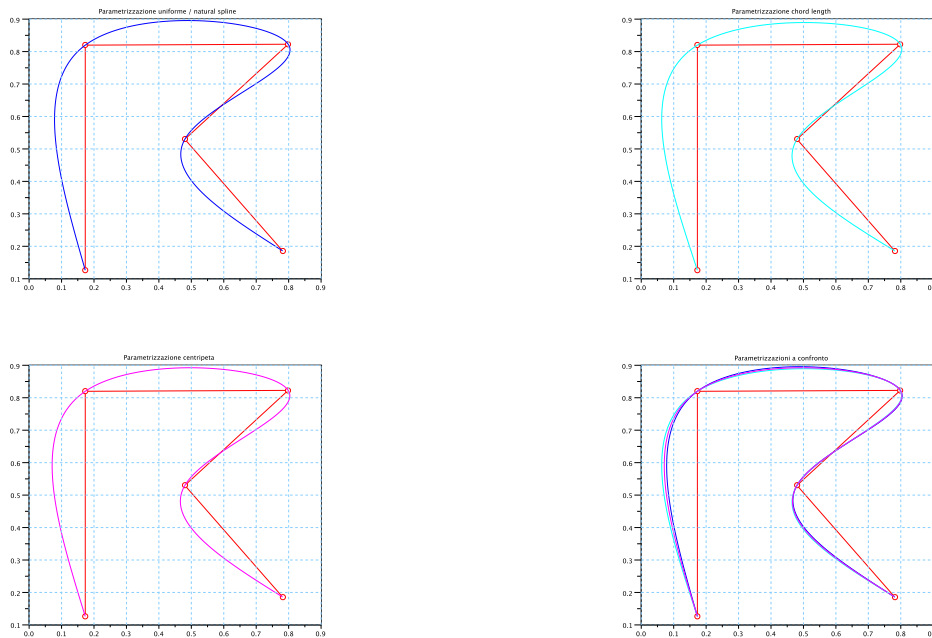
$$\mathbf{T} = (3(P_1 - P_0), T_1, \dots, T_{n-1}, 3(P_n - P_{n-1}))^T$$

## Spline naturali

```

1 function [w,A,T]=l_tang_c2_nat(p,u)
2     [d,n] = size(p)
3     h=diff(u)
4     A = []
5     T = []
6     A(1,:) = [2*h(1),h(1),zeros(1,n-2)]
7     T(:,1) = 3*(p(:,2)-p(:,1))
8     for i=2:n-1
9         A(i,:)= [zeros(1,i-2),h(i),2*(h(i)+h(i-1)),h(i-1),zeros(1,n-i-1)]
10        T(:,i) = 3*((h(i-1)/h(i))*(p(:,i+1)-p(:,i))+(h(i)/h(i-1))*(p(:,i)-p(:,i-1)))
11    end
12    A(n,:)= [zeros(1,n-2),h(n-1),2*h(n-1)]
13    T(:,n) = 3*(p(:,n)-p(:,n-1))
14    w=(A\T)'
15 endfunction

```


 Figura 4.4: Spline  $\mathcal{C}^2$  naturale

- **Spline not a knot:** una possibile scelta di  $w_0$  e  $w_n$  meno arbitraria si può ottenere

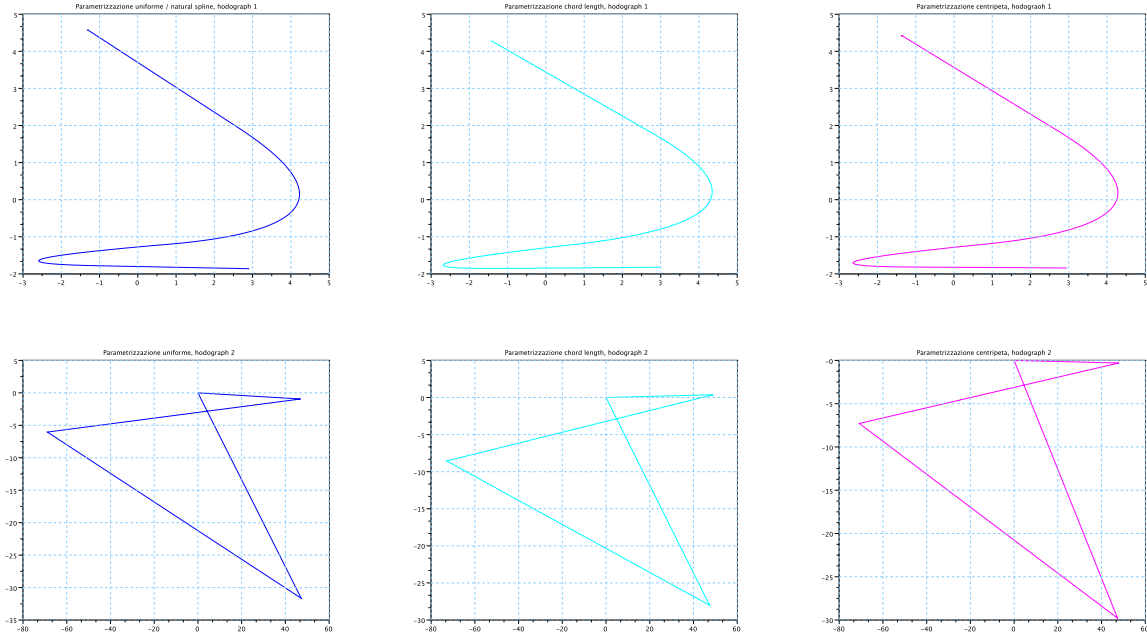


Figura 4.5: Spline  $\mathcal{C}^2$  naturale, curve hodograph

forzando due condizioni in più sulle derivate terze agli estremi:

$$\begin{aligned}\frac{d^3 X_0(u_1)}{d^3 t} &= \frac{d^3 X_1(u_1)}{d^3 t} \rightarrow \frac{1}{h_0^3} \frac{d^3 X_0(1)}{d^3 t} = \frac{1}{h_1^3} \frac{d^3 X_1(0)}{d^3 t} \\ \frac{d^3 X_{n-2}(u_{n-1})}{d^3 t} &= \frac{d^3 X_{n-1}(u_{n-1})}{d^3 t} \rightarrow \frac{1}{h_{n-2}^3} \frac{d^3 X_{n-2}(1)}{d^3 t} = \frac{1}{h_{n-1}^3} \frac{d^3 X_{n-1}(0)}{d^3 t}\end{aligned}$$

Svolgendo (la prima equazione, la seconda è analoga) si ottiene:

$$\begin{aligned}\frac{1}{h_0^3} (b_{3,0} - 3b_{2,0} + 3b_{1,0} - b_{0,0}) &= \frac{1}{h_1^3} (b_{3,1} - 3b_{2,1} + 3b_{1,1} - b_{0,1}) \\ \frac{1}{h_0^3} (2(P_0 - P_1) + h_0 w_0 + h_0 w_1) &= \frac{1}{h_1^3} (2(P_1 - P_2) + h_1 w_2 + h_1 w_1) \\ h_1^2 w_0 + (h_1^2 - h_0^2) w_1 - h_0^2 w_2 &= \frac{2h_0^2}{h_1} (P_1 - P_2) - \frac{2h_1^2}{h_0} (P_0 - P_1)\end{aligned}$$

Quindi, dando un nome breve per comodità alle parti note delle equazioni che abbiano trovato:

$$\begin{aligned}\beta &= \frac{2h_0^2}{h_1} (P_1 - P_2) - \frac{2h_1^2}{h_0} (P_0 - P_1) \\ \gamma &= \frac{2h_{n-2}^2}{h_{n-1}} (P_{n-1} - P_n) - \frac{2h_{n-1}^2}{h_{n-2}} (P_{n-2} - P_{n-1})\end{aligned}$$

la matrice  $A$  ed il vettore  $\mathbf{T}$  dell'equazione (4.2) diventano:

$$A = \begin{pmatrix} h_1^2 & (h_1^2 - h_0^2) & -h_0^2 & \cdots & \cdots & 0 \\ h_1 & 2(h_0 + h_1) & h_0 & 0 & \cdots & 0 \\ 0 & h_2 & 2(h_1 + h_2) & h_1 & \cdots & 0 \\ \vdots & \ddots & \ddots & \ddots & \ddots & \vdots \\ 0 & \cdots & \cdots & h_{n-1} & 2(h_{n-2} + h_{n-1}) & h_{n-2} \\ 0 & \cdots & \cdots & h_{n-1}^2 & (h_{n-1}^2 - h_{n-2}^2) & -h_{n-2}^2 \end{pmatrix}$$

$$\mathbf{T} = (\beta, T_1, \dots, T_{n-1}, \gamma)^T$$

### Spline not-a-knot

```

1 function [w,A,T]=l_tang_c2_nak(p,u)
2     [d,n] = size(p)
3     h=diff(u)
4     A = []
5     T = []
6     A(1,:) = [h(2)^2,(h(2)^2-h(1)^2),-h(1)^2,zeros(1,n-3)]
7     T(:,1) = (2*h(1)^2/h(2)*(p(:,2)-p(:,3))-2*h(2)^2/h(1)*(p(:,1)-p(:,2)))
8     for i=2:n-1
9         A(i,:)=zeros(1,i-2),h(i),2*(h(i)+h(i-1)),h(i-1),zeros(1,n-i-1)
10        T(:,i) = 3*((h(i-1)/h(i))*(p(:,i+1)-p(:,i))+(h(i)/h(i-1))*(p(:,i)-p(:,i-1)))
11    end
12    A(n,:)= [zeros(1,n-3),h(n-1)^2,(h(n-1)^2-h(n-2)^2),-h(n-2)^2]
13    T(:,n) = 2*h(n-2)^2/h(n-1)*(p(:,n-1)-p(:,n))-2*h(n-1)^2/h(n-2)*(p(:,n-2)-p(:,n-1))
14    w=(A\T)'
15 endfunction

```

- **Spline periodica:** Per ottenere una curva periodica (ovvero che sia affiancabile), si impongono le condizioni:

$$w_0 = w_n, \quad \frac{1}{h_0^2} \frac{d^2 X_0(0)}{dt^2} = \frac{1}{h_{n-1}^2} \frac{d^2 X_{n-1}(1)}{dt^2}$$

da cui:

$$\begin{aligned} & \frac{1}{h_0^2} \left[ \left( P_1 - \frac{h_0}{3} w_1 \right) - 2 \left( P_0 + \frac{h_0}{3} w_0 \right) + P_0 \right] \\ &= \frac{1}{h_{n-1}^2} \left[ P_n - 2 \left( P_n + \frac{h_{n-1}}{3} w_n \right) + \left( P_{n-1} - \frac{h_{n-1}}{3} w_{n-1} \right) \right] \end{aligned}$$

$$h_0 w_{n-1} + 2(h_0 + h_{n-1}) w_0 + h_{n-1} w_1 = 3 \left[ h_{n-1} \frac{P_1 - P_0}{h_0} + h_0 \frac{P_n - P_{n-1}}{h_{n-1}} \right]$$

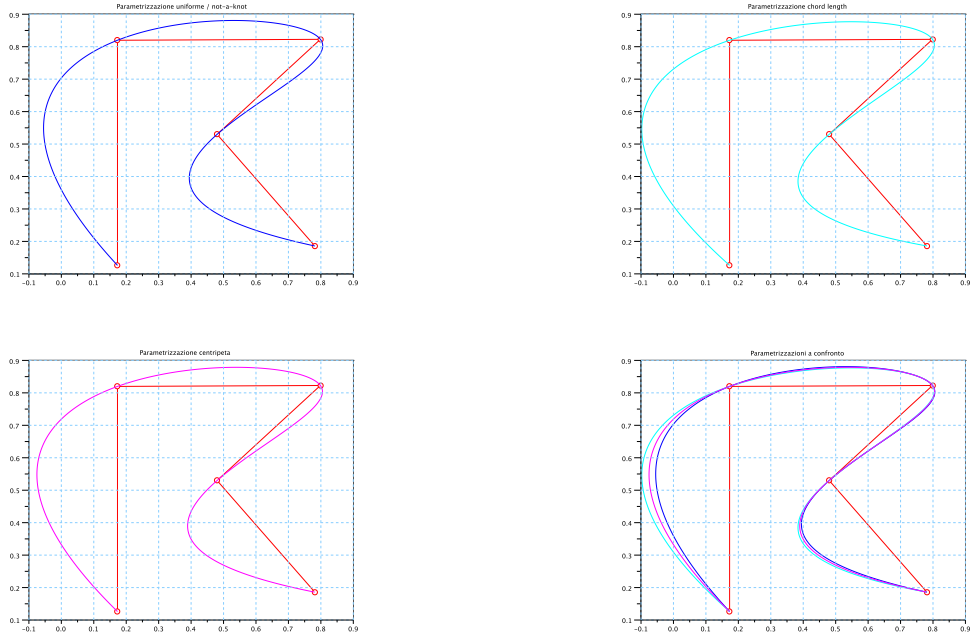


Figura 4.6: Spline  $\mathcal{C}^2$  not-a-knot

Chiamando per comodità la parte nota:

$$\beta = 3 \left[ h_{n-1} \frac{P_1 - P_0}{h_0} + h_0 \frac{P_n - P_{n-1}}{h_{n-1}} \right]$$

la matrice  $A$  e i vettori  $\mathbf{T}, \mathbf{w}$  dell'equazione (4.2) diventano:

$$A = \begin{pmatrix} 2(h_0 + h_{n-1}) & h_{n-1} & 0 & \cdots & h_0 & 0 \\ h_1 & 2(h_0 + h_1) & h_0 & 0 & \cdots & 0 \\ 0 & h_2 & 2(h_1 + h_2) & h_1 & \cdots & 0 \\ \vdots & \ddots & \ddots & \ddots & \ddots & \vdots \\ 0 & \cdots & \cdots & h_{n-1} & 2(h_{n-2} + h_{n-1}) & h_{n-2} \\ 0 & h_{n-1} & \cdots & 0 & h_0 & 2(h_{n-1} + h_0) \end{pmatrix}$$

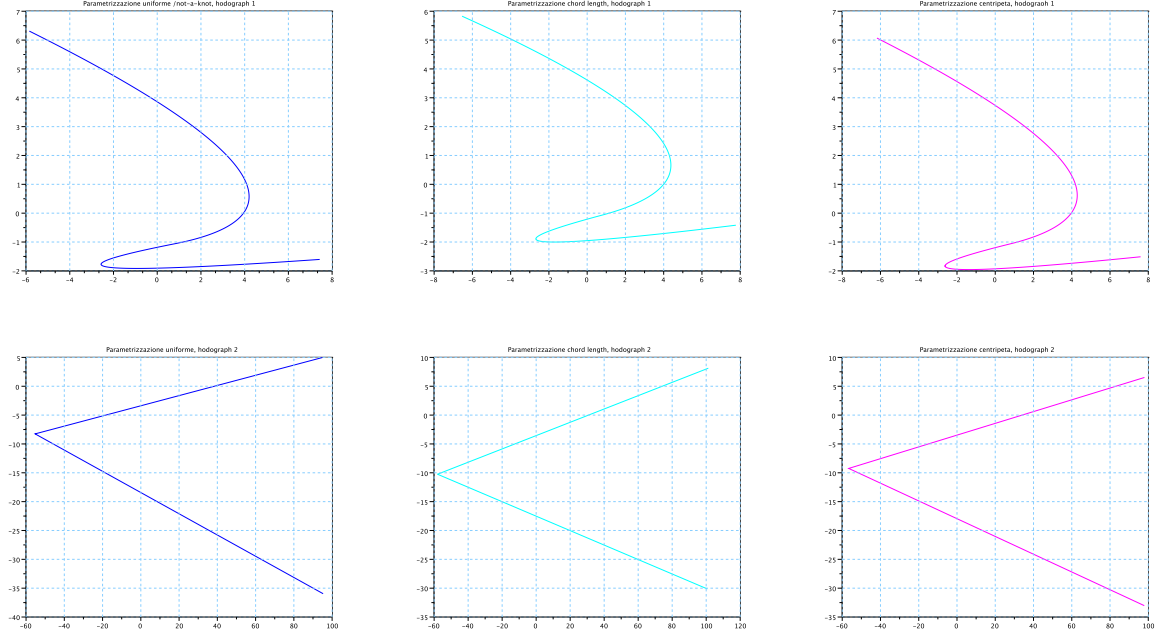
$$\mathbf{w} = (w_0, \dots, w_{n-1})^T$$

$$\mathbf{T} = (\beta, T_1, \dots, T_{n-1}, \beta)^T$$

in cui la condizione  $w_0 = w_n$  è imposta implicitamente nella prima e ultima riga della matrice.

### Spline periodica

```
1 | function [w,A,T]=l_tang_c2_periodic(p,u)
```


 Figura 4.7: Spline  $\mathcal{C}^2$  not-a-knot, curve hodograph

```

2 || [d, n] = size(p)
3 || h=diff(u)
4 || A = []
5 || T = []
6 || A(1,:) = [2*(h(1)+h(n-1)), h(n-1), zeros(1,n-4), h(1), 0]
7 || T(:,1) = 3*(h(n-1)*((p(:,2)-p(:,1))/h(1))+h(1)*((p(:,n)-p(:,n-1))/h(n-1)))
8 || for i=2:n-1
9 || A(i,:)=[zeros(1,i-2),h(i),2*(h(i)+h(i-1)),h(i-1),zeros(1,n-i-1)]
10 || T(:,i) = 3*((h(i-1)/h(i))*(p(:,i+1)-p(:,i))+(h(i)/h(i-1))*(p(:,i)-p(:,i-1)))
11 || end
12 || A(n,:)= [0, h(n-1), zeros(1,n-4), h(1), 2*(h(n-1)+h(1))]
13 || T(:,n)=T(:,1)
14 || w=(A\T)'
15 || endfunction

```

## Considerazioni

Sia  $s(u)$  una spline cubica  $\mathcal{C}^2$  tale che:

$$s(u_i) = f_i, \quad i = 0, \dots, n$$

e  $y(u)$  una funzione qualsiasi  $\mathcal{C}^2$  a sua volta tale che:

$$y(u_i) = f_i, \quad i = 0, \dots, n$$

La quantità:

$$\int_{u_0}^{u_n} \ddot{s}^2(u) du$$

## Interpolazione

---

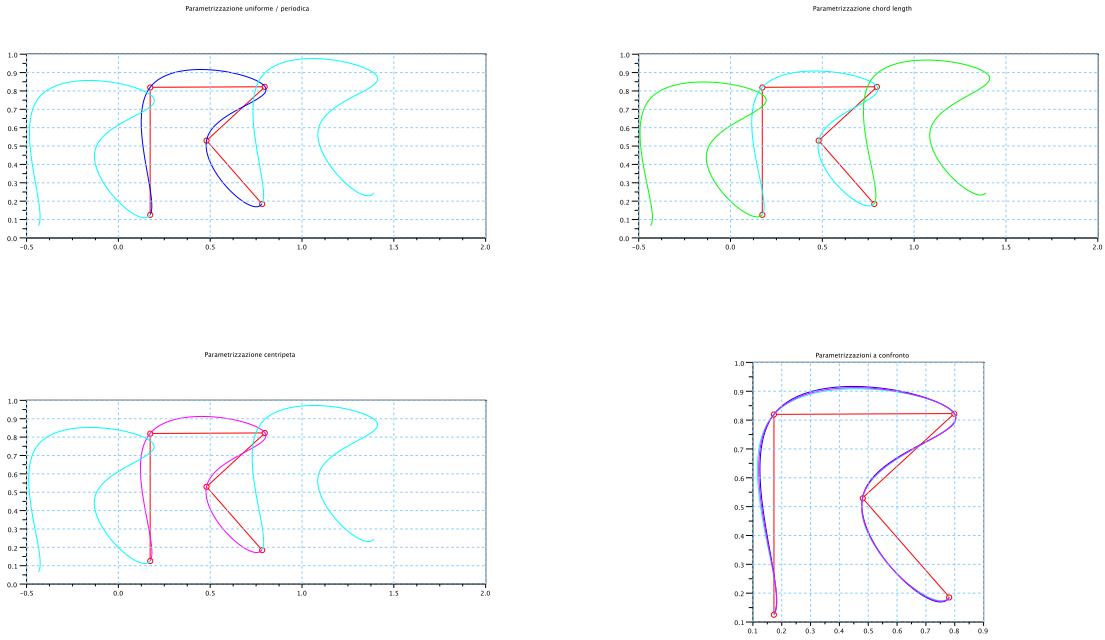


Figura 4.8: Spline  $\mathcal{C}^2$  periodica

è una possibile misura del grado di oscillazione della curva.

Si dimostra che vale la relazione:

$$\int_{u_0}^{u_n} \ddot{s}^2(u) du \leq \int_{u_0}^{u_n} \ddot{y}^2(u) du$$

Infatti:

$$\begin{aligned} \ddot{y}(u) &= (\ddot{y}(u) - \ddot{s}(u)) + \ddot{s}(u) \\ \ddot{y}^2(u) &= \ddot{s}^2(u) + (\ddot{y}(u) - \ddot{s}(u))^2 + 2\ddot{s}(u)(\ddot{y}(u) - \ddot{s}(u)) \\ \int_{u_0}^{u_n} \ddot{y}^2(u) du &= \int_{u_0}^{u_n} \ddot{s}^2(u) du + \int_{u_0}^{u_n} (\ddot{y}(u) - \ddot{s}(u))^2 du + 2 \int_{u_0}^{u_n} \ddot{s}(u)(\ddot{y}(u) - \ddot{s}(u)) du \end{aligned}$$

integrando per parti l'ultimo integrale della sommatoria si ha:

$$\int_{u_0}^{u_n} \ddot{s}(u)(\ddot{y}(u) - \ddot{s}(u)) du = \underbrace{\ddot{s}(u)(\dot{y}(u) - \dot{s}(u))|_{u_0}^{u_n}}_{\alpha} - \underbrace{\int_{u_0}^{u_n} \ddot{s}(u)(\dot{y}(u) - \dot{s}(u)) du}_{\beta}$$

in cui  $\alpha = 0$  ed in quanto  $\ddot{s}(u)$  è costante a tratti,  $\beta$  può essere trasformato nella somma:

$$\sum_{i=0}^{n-1} s_i [y(u) - s(u)]_{u_i}^{u_{i+1}}$$

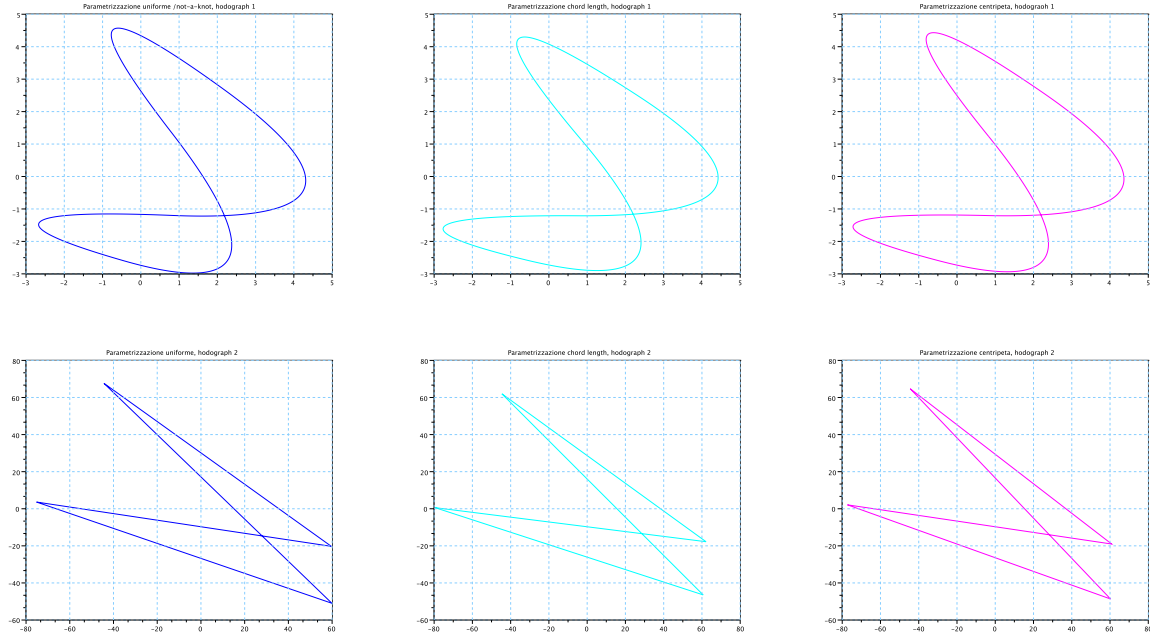


Figura 4.9: Spline  $\mathcal{C}^2$  periodica, curve hodograph

che a sua volta è nulla perché valgono le condizioni  $y(u_i) = s(u_i)$ .

Un'altra misura della stessa quantità può essere ottenuta dalla curvatura, considerando come parametro la lunghezza dell'arco:

$$\int_0^L k(s) ds = \int_{u_0}^{u_n} k^2 \|\dot{X}(u)\| du, \quad s(t) = \int_{u_0}^{u_n} \|\dot{X}(t)\| dt$$

Rappresentando la funzione vettorialmente:

$$X(u) = \begin{pmatrix} u \\ y(u) \end{pmatrix}, \quad \dot{X}(u) = \begin{pmatrix} 1 \\ \dot{y}(u) \end{pmatrix}, \quad \ddot{X}(u) = \begin{pmatrix} 0 \\ \ddot{y}(u) \end{pmatrix}$$

la curvatura assume espressione:

$$k(u) = \frac{\dot{X}(u) \times \ddot{X}(u)}{\|\dot{X}(u)\|^3} = \frac{\ddot{y}(u)}{(1 + \dot{y}^2(u))^{\frac{3}{2}}}$$

da cui:

$$\int_{u_0}^{u_n} k^2(u) \|\dot{X}(u)\| du, \quad s(t) = \int_{u_0}^{u_n} \frac{\ddot{y}(u)}{(1 + \dot{y}^2(u))} du$$

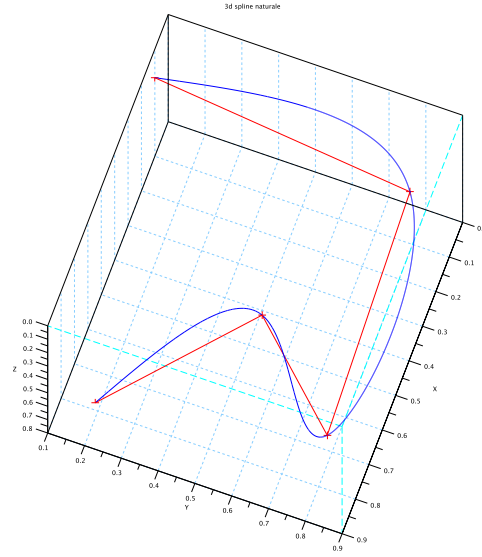


Figura 4.10: Spline  $\mathcal{C}^2$  naturale 3d

## Spline cubiche $\mathcal{C}^1 \cap \mathcal{G}^2$

Data una spline in forma di Bézier:

$$X(u) = X_i(u), \quad u \in [u_i, u_{i+1}]$$

$$X_i(t) = \sum_{i=0}^3 b_{k,i} B_k^3(t), \quad t = \left( \frac{u - u_i}{h_i} \right)$$

che ha coefficienti:

$$\begin{cases} b_{0,i} &= P_i \\ b_{1,i} &= P_i + \frac{h_i}{3} w_i \\ b_{2,i} &= P_{i+1} - \frac{h_i}{3} w_{i+1} \\ b_{3,i} &= P_{i+1} \end{cases}$$

Imponendo le condizioni di raccordo, considerando  $\omega_{1,i} = 1$  si ottiene:

$$\frac{d^2 X_i}{du^2}(u_i) - \frac{d^2 X_{i-1}}{du^2}(u_i) = \nu_i w_i, \quad w_i = \frac{dX_i}{du}(u_i), \quad \nu_i = \omega_{2,i}$$

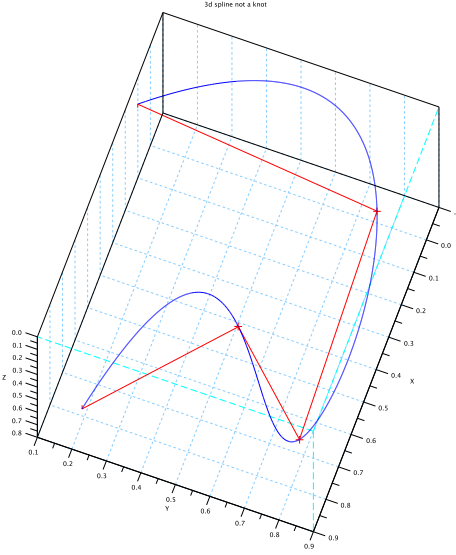


Figura 4.11: Spline  $\mathcal{C}^2$  not a knot 3d

Le condizioni di raccordo permettono di scrivere infine le equazioni:

$$\begin{aligned} \frac{6}{h_i^2} \left[ \left( P_{i+1} - \frac{h_i}{3} w_{i+1} \right) - 2 \left( P_i + \frac{h_i}{3} w_i \right) + P_i \right] - \\ \frac{6}{h_{i+1}^2} \left[ P_i - 2 \left( P_i - \frac{h_{i-1}}{3} w_i \right) + \left( P_{i-1} + \frac{h_{i-1}}{3} w_{i-1} \right) \right] - \nu_i w_i = 0 \end{aligned}$$

manipolando e moltiplicando per  $-\frac{h_i h_{i-1}}{2}$  si ottiene infine:

$$h_i w_i + \left[ 2(h_{i-1} + h_i) + \frac{\nu_i}{2} h_i h_{i-1} \right] w_i + h_{i-1} w_{i+1} = 3 \left[ h_{i-1} \frac{P_{i+1} - P_i}{h_i} + h_i \frac{P_i - P_{i-1}}{h_{i-1}} \right]$$

ovvero si ottiene un sistema analogo a quello delle spline  $\mathcal{C}^2$  con un termine in più sulla diagonale:

$$(A + D)\mathbf{w} = \mathbf{T}, \quad D = \begin{pmatrix} d_0 & & & \\ & \ddots & & \\ & & & d_n \end{pmatrix}$$

in cui  $d_0, d_n$  sono assegnati e  $d_i = \frac{\nu_i}{2} h_{i-1} h_i$ .

Per ottenere una spline chiusa, supponendo di avere il primo punto uguale al primo ( $P_0 = P_n$ ) si ha invece un sistema in  $n$  incognite in cui le prime e le ultime equazioni di  $A$  sono analoghe

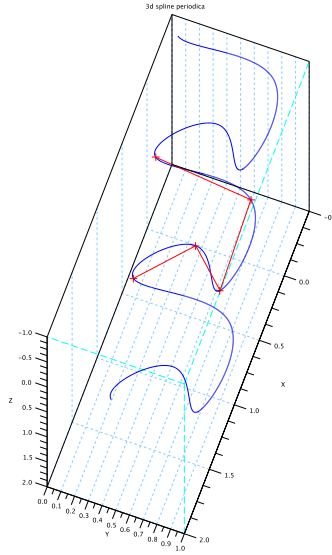


Figura 4.12: Spline  $\mathcal{C}^2$  periodica 3d

a quelle per la spline periodica precedentemente ricavate, ovvero del tipo:

$$h_0 w_{n-1} + 2(h_{n-1} + h_0)w_0 + h_{n-1}w_1 = 3 \left( h_{n-1} \frac{P_1 - P_0}{h_0} + h_0 \frac{P_0 - P_{n-1}}{h_{n-1}} \right)$$

e inoltre

$$d_0 = d_n = \frac{\nu_0}{2} h_{n-1} h_0$$

È interessante osservare cosa succede per  $\nu_{min} \rightarrow \infty$ . Innanzitutto serve calcolare:

$$\begin{aligned} (A + D)\mathbf{w} &= \mathbf{T} \\ (AD^{-1} + I)(D\mathbf{w}) &= \mathbf{T} \\ (I + E)\tilde{\mathbf{w}} &= \mathbf{T}, \quad E = AD, \quad \tilde{\mathbf{w}} = D\mathbf{w} \end{aligned}$$

Se  $\nu_{min} \rightarrow \infty$  anche  $D \rightarrow \infty$ ;  $AD^{-1}$  è non singolare e per  $D$  sufficientemente grande  $\|E\| < 1$ .  
In quanto:

$$\|(I + E)^{-1}\| \leq \frac{1}{1 - \|E\|}$$

si ha che:

$$(I + E)\tilde{\mathbf{w}} \Rightarrow \|\tilde{\mathbf{w}}\| \leq \frac{1}{1 - \|E\|} \|\mathbf{T}\|$$

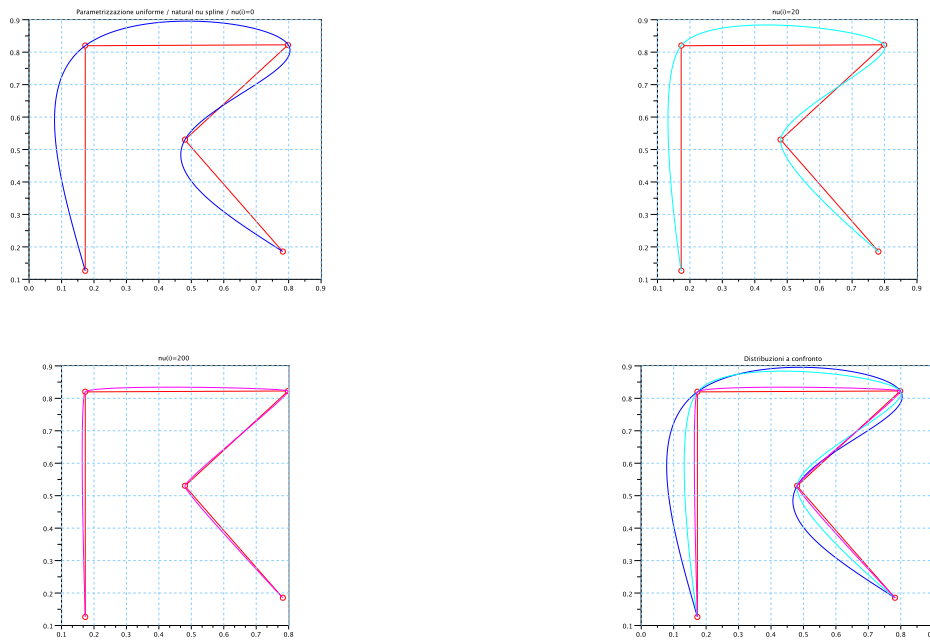
ovvero se  $D \rightarrow \infty$ ,  $\mathbf{w} \rightarrow 0$ .

$\nu$ -spline

```

1 function [w,A,T]=l_tang_nu_nat(p,u,nu)
2     [d,n] = size(p)
3     h=diff(u)
4     A = []
5     T = []
6     A(1,:) = [2*h(1),h(1),zeros(1,n-2)]
7     T(:,1) = 3*(p(:,2)-p(:,1))
8     for i=2:n-1
9         A(i,:)= [zeros(1,i-2),h(i),2*(h(i)+h(i-1)),h(i-1),zeros(1,n-i-1)]
10        T(:,i) = 3*((h(i-1)/h(i))*(p(:,i+1)-p(:,i))+(h(i)/h(i-1))*(p(:,i)-p(:,i-1)))
11    end
12    A(n,:)= [zeros(1,n-2),h(n-1),2*h(n-1)]
13    T(:,n) = 3*(p(:,n)-p(:,n-1))
14    A(1,1)=A(1,1)+nu(1)
15    for i=2:n-1
16        A(i,i)=A(i,i)+(nu(i)*h(i-1)*h(i)/2)
17    end
18    A(n,n)=A(1,1)+nu(n)
19    w=(A\T)'
20 endfunction

```


 Figura 4.13:  $\nu$ -spline naturale

 $\nu$ -spline chiusa

```

1 function [w,A,T]=l_tang_nu_closed(p,u,nu)
2     [d,n] = size(p)
3     h=diff(u)
4     A = []
5     T = []
6     A(1,:)= [2*(h(1)+h(n-1)),h(n-1),zeros(1,n-4),h(1),0]

```

## Interpolazione

---

```

7   T(:,1) = 3*(h(n-1)*((p(:,2)-p(:,1))/h(1))+h(1)*((p(:,n)-p(:,n-1))/h(n-1)))
8   for i=2:n-1
9     A(i,:)=[zeros(1,i-2),h(i),2*(h(i)+h(i-1)),h(i-1),zeros(1,n-i-1)]
10    T(:,i) = 3*((h(i-1)/h(i))*(p(:,i+1)-p(:,i))+(h(i)/h(i-1))*(p(:,i)-p(:,i-1)))
11   end
12   A(n,:) = [0,h(n-1),zeros(1,n-4),h(1),2*(h(n-1)+h(1))]
13   T(:,n)=T(:,1)
14   A(1,1)=A(1,1)+(nu(1)/2)*h(1)*h(n-1)
15   for i=2:n-1
16     A(i,i)=A(i,i)+(nu(i)*h(i-1)*h(i)/2)
17   end
18   A(n,n)=A(1,1)+(nu(1)/2)*h(1)*h(n-1)
19   w=(A\T')
20 endfunction

```

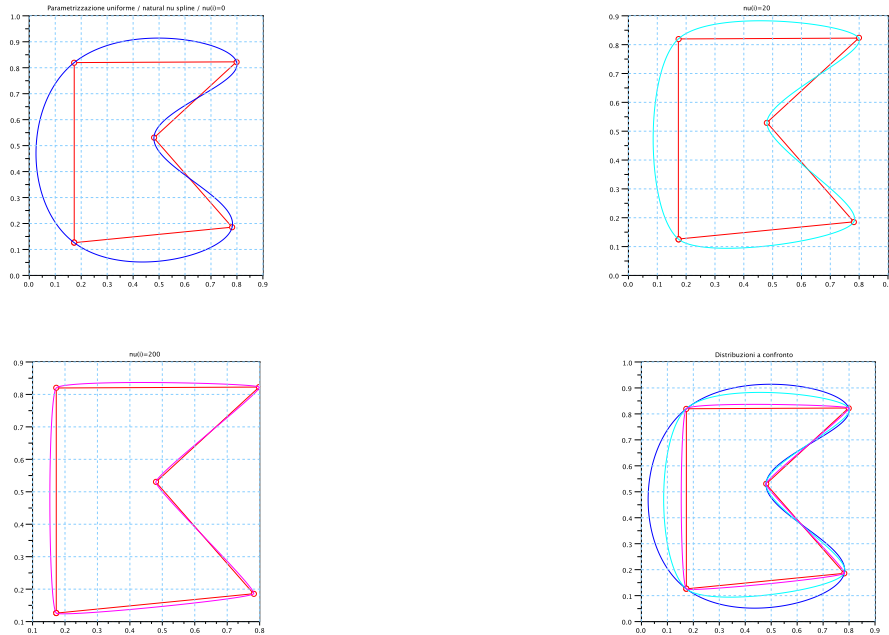


Figura 4.14:  $\nu$ -spline chiusa

# Superfici parametriche

## Rappresentazione parametrica

Una superficie, in maniera analoga ad una curva, può essere rappresentata in modo parametrico come l'immagine di una funzione continua e iniettiva di due variabili reali  $X : (A \in \mathbb{R}^2) \rightarrow \mathbb{E}^3$  tale che:

$$X(u, v) = \begin{pmatrix} x(u, v) \\ y(u, v) \\ z(u, v) \end{pmatrix}, \quad (u, v) \in \mathbb{R}^2$$

**Definizione 5.1** (Superficie parametrica regolare). La superficie parametrica si dice **regolare** se valgono le condizioni:

- le funzioni  $x(u, v), y(u, v), z(u, v) \in \mathcal{C}^1$  ovvero sono derivabili e la derivata prima è continua
- la matrice Jacobiana<sup>†</sup>  $\frac{\partial(x, y, z)}{\partial(u, v)} = \begin{bmatrix} x_u & y_u & z_u \\ x_v & y_v & z_v \end{bmatrix}$  abbia rango 2, ovvero le derivate non si annullano mai entrambe in uno stesso punto
- le funzioni  $x(u, v), y(u, v), z(u, v)$  sono iniettive

---

<sup>†</sup>La matrice jacobiana è la matrice di tutte le derivate parziali prime di una funzione che ha dominio e codominio in uno spazio euclideo. Una funzione  $F : \mathbb{R}^n \rightarrow \mathbb{R}^m$  è descritta in modo parametrico attraverso le sue componenti:  $(F_1(x_1, \dots, x_n), \dots, F_m(x_1, \dots, x_n))^T$  e la relativa matrice Jacobiana è definita come:

$$J_f(x_1, \dots, x_m) = \frac{\partial(F_1, \dots, F_m)}{\partial(x_1, \dots, x_n)} = \begin{bmatrix} \frac{\partial F_1}{\partial x_1} & \dots & \frac{\partial F_1}{\partial x_n} \\ \vdots & \dots & \vdots \\ \frac{\partial F_m}{\partial x_1} & \dots & \frac{\partial F_m}{\partial x_n} \end{bmatrix}$$

**Definizione 5.2** (Vettori associati alla superficie: tangenti e normale). Per comodità nello studio delle proprietà della superficie si definiscono i vettori:

$$X_u = \begin{pmatrix} \frac{\partial x(u, v)}{\partial u} \\ \frac{\partial y(u, v)}{\partial u} \\ \frac{\partial z(u, v)}{\partial u} \end{pmatrix}, \quad X_v = \begin{pmatrix} \frac{\partial x(u, v)}{\partial v} \\ \frac{\partial y(u, v)}{\partial v} \\ \frac{\partial z(u, v)}{\partial v} \end{pmatrix}$$

delle derivate parziali rispetto ai parametri, ed il vettore normale alla superficie di conseguenza:

$$N(u, v) = \frac{X_u \wedge X_v}{|X_u \wedge X_v|}$$

*Osservazione 5.1* (Caratteristiche dei vettori  $X_u, X_v, N(u, v)$ ). Se la superficie è regolare si ha che i vettori  $X_u$  e  $X_v$  sono linearmente indipendenti e non paralleli, ovvero  $X_u \wedge X_v \neq 0$ ; di conseguenza anche  $N(u, v) \neq 0 \forall (u, v) \in A$ .

## Esempi di superfici parametriche

**Sfera** La sfera<sup>†</sup> è definibile come il luogo geometrico dei punti equidistanti dall'origine:

$$x^2 + y^2 + z^2 = r$$

Una possibile parametrizzazione per i punti della superficie sferica si può dare a partire dai parametri  $u \in [-\frac{\pi}{2}, \frac{\pi}{2}]$  e  $v \in [0, 2\pi]$ :

$$S(u, v) = \begin{pmatrix} \cos u \cos v \\ \cos u \sin v \\ \sin u \end{pmatrix}$$

I vettori tangenti alla superficie sono quindi:

$$S_u = \begin{pmatrix} -\sin u \cos v \\ -\sin u \sin v \\ \cos u \end{pmatrix}, \quad S_v = \begin{pmatrix} -\cos u \sin v \\ \cos u \cos v \\ 0 \end{pmatrix}$$

---

<sup>†</sup>centrata nell'origine degli assi

<sup>‡</sup>A causa di un bug di SCILAB non è attualmente possibile esportare figure vettoriali che contengono più di un centinaio marks, le figure riportate nel testo sono quindi in bassa risoluzione. Le stesse figure con risoluzione migliore sono generabili in qualsiasi momento lanciando lo script `esempi_surf.sci` allegato.

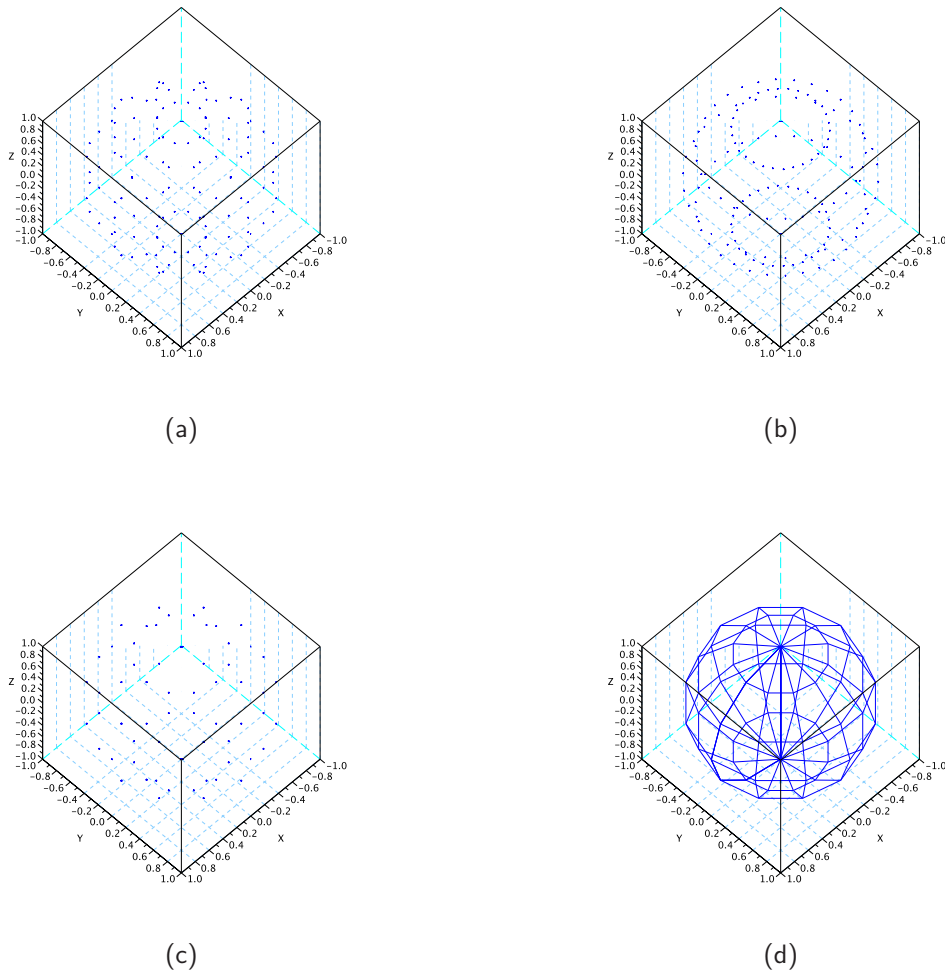


Figura 5.1: Esempio di sfera parametrizzata come descritto nel testo. Nella prima e seconda figura si evidenziano in risoluzione le coordinate verticali od orizzontali, in basso l'unione delle due figure con e senza linee ad unire i punti nelle due direzioni<sup>†</sup>.

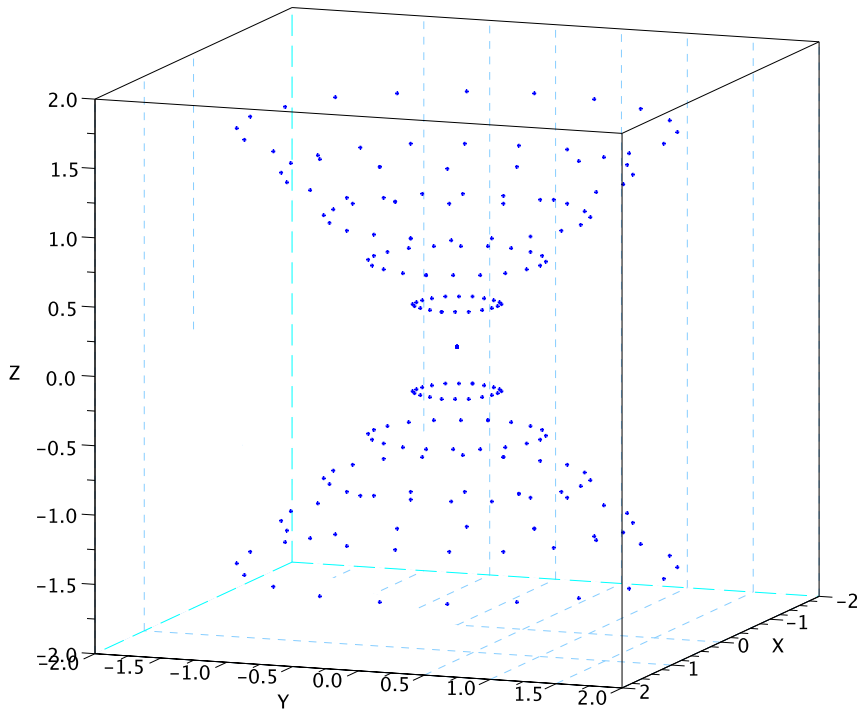


Figura 5.2: Esempio di cono parametrizzato come descritto nel testo.

**Cono** Un cono è lo spazio geometrico dei punti che soddisfano l'equazione:

$$z^2 = x^2 + y^2$$

Una parametrizzazione in due parametri  $u \in [-L, L]$ ,  $v \in [0, 2\pi]$  è:

$$C(u, v) = \begin{pmatrix} cu \cos v \\ cu \sin v \\ cu \end{pmatrix}$$

I vettori tangenti sono, di conseguenza:

$$C_u = \begin{pmatrix} c \cos v \\ c \sin v \\ c \end{pmatrix}, \quad C_v = \begin{pmatrix} -cu \sin v \\ cu \cos v \\ 0 \end{pmatrix}$$

## Riparametrizzazione ammissibile

Si definiscono due nuovi parametri in funzione di quelli vecchi:

$$\begin{cases} \tilde{u} = \tilde{u}(u, v) \\ \tilde{v} = \tilde{v}(u, v) \end{cases}$$

Data la matrice:

$$J(u, v) = \begin{pmatrix} \frac{\partial \tilde{u}}{\partial u} & \frac{\partial \tilde{u}}{\partial v} \\ \frac{\partial \tilde{v}}{\partial u} & \frac{\partial \tilde{v}}{\partial v} \end{pmatrix}$$

la riparametrizzazione si definisce **ammissibile** se  $\det J(u, v) \neq 0$ . In particolare si ha che:

$$X_u \wedge X_v = \left( X_{\tilde{u}} \frac{\partial \tilde{u}}{\partial u} + X_{\tilde{v}} \frac{\partial \tilde{v}}{\partial u} \right) \wedge \left( X_{\tilde{u}} \frac{\partial \tilde{u}}{\partial v} + X_{\tilde{v}} \frac{\partial \tilde{v}}{\partial v} \right) = (X_{\tilde{u}} \wedge X_{\tilde{v}}) \underbrace{\left( \frac{\partial \tilde{u}}{\partial u} \frac{\partial \tilde{u}}{\partial v} - \frac{\partial \tilde{v}}{\partial u} \frac{\partial \tilde{v}}{\partial v} \right)}_{\det J(u, v)}$$

## Tipologie di superfici

### Superfici di rivoluzione

Una superficie di rivoluzione è una superficie ottenuta ruotando una curva (chiamata curva generatrice o profilo) intorno ad un asse (detto asse di rotazione). La circonferenza ottenuta intersecando un piano perpendicolare all'asse di rotazione con la superficie è detta parallelo, la curva ottenuta intersecando la superficie con un piano passante per l'asse di rotazione è detta meridiano.

In generale una superficie di rotazione è rappresentabile in modo parametrico. Sia una curva  $C$  definita parametricamente come:

$$C(u) = \begin{cases} C_x(u) \\ C_y(u) \end{cases}, \quad u \in [a, b]$$

La curva  $C$  può essere fatta ruotare intorno all'asse  $z$  definendo la superficie:

$$X(u, v) = \begin{cases} C_x(u) \cos(v) \\ C_y(u) \sin(v) \\ C_z(u) \end{cases}, \quad v \in [0, 2\pi]$$

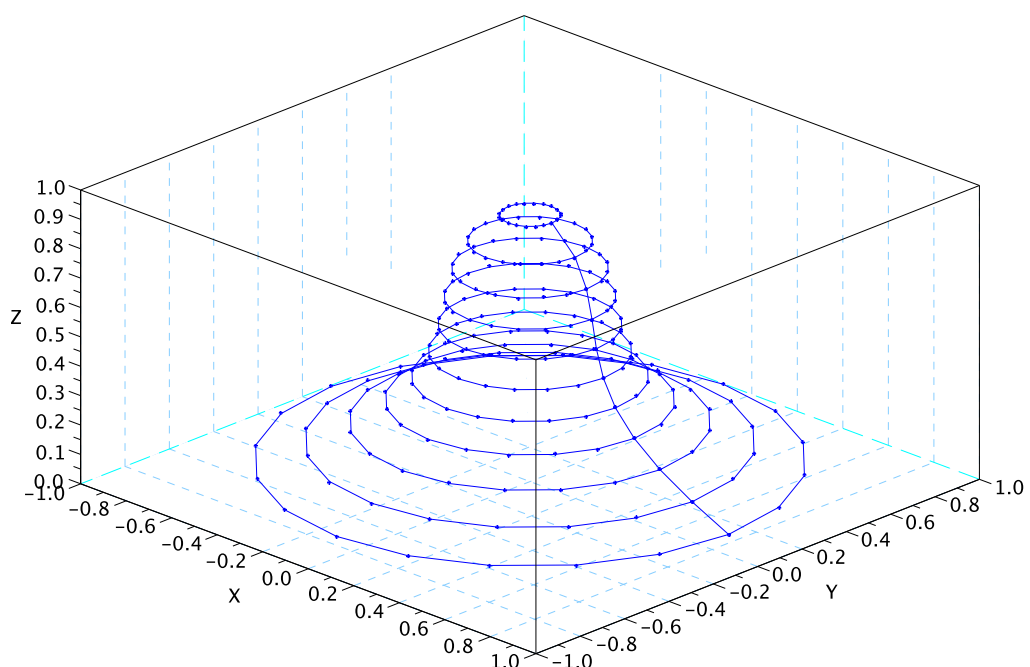


Figura 5.3: Esempio di curva di Bézier utilizzata come curva parametrica di rotazione.

## Superfici Rigate

Una superficie rigata è una superficie ottenuta da un'unione di rette.

**Definizione 5.3** (Superficie rigata). Una superficie  $S$  si dice rigata se esiste una famiglia di rette  $r_\alpha$  tale che  $S$  è l'unione delle rette di tale famiglia:  $S = \cup_\alpha r_\alpha$ .<sup>†</sup>

Date due curve  $C_0(u), C_1(u)$  e due parametri  $u \in [a, b], v \in [0, 1]$  una superficie rigata può essere definita parametricamente come:

$$S(u, v) = (1 - v)C_0(u) + vC_1(u)$$

ovvero si sfrutta l'esistenza di una corrispondenza univoca tra i punti di  $C_0$  e quelli di  $C_1$ .

## Superficie bilineare

Se  $C_0$  e  $C_1$  sono segmenti, ovvero sono parametrizzabili come:

$$\begin{cases} C_0(u) = (1 - u)p_{00} + up_{01} \\ C_1(u) = (1 - u)p_{10} + up_{11} \end{cases}$$

la superficie rigata  $S$  può essere scritta come:

$$S(u, v) = (1 - v)C_0(u) + vC_1(u) = (1 - u, u) \begin{pmatrix} p_{00} & p_{01} \\ p_{10} & p_{11} \end{pmatrix} \begin{pmatrix} 1 - v \\ v \end{pmatrix}$$

## Superfici tensor-product

**Definizione 5.4** (Tensor product). Date due funzioni monovariante  $S_1, S_2$  tali che:

$$S_1 = \langle f_0, \dots, f_n \rangle, \quad f_0, \dots, f_n \text{ funzioni monovariante in } u \in [a, b]$$

$$S_2 = \langle g_0, \dots, g_m \rangle, \quad g_0, \dots, g_m \text{ funzioni monovariante in } v \in [c, d]$$

si definisce **tensor product**  $S_1 \otimes S_2$  la funzione:

$$S_1 \otimes S_2 = \langle f_0g_0, \dots, f_0g_m, \dots, f_ng_0, \dots, f_ng_m \rangle$$

$S_1 \otimes S_2$  è pertanto una funzione bivariata, e vale:

$$S(u, v) \in S \Leftrightarrow S(u, v) = \sum_{i=0}^n \sum_{j=0}^m b_{ij} f_i(u) g_j(v), \quad (u, v) \in [a, b] \times [c, d]$$

Il tensor product può quindi essere utilizzato per definire superfici, considerando funzioni del tipo:

$$X(u, v) = \sum_{i=0}^n \sum_{j=0}^m b_{ij} f_i(u) g_j(v), \quad (u, v) \in [a, b] \times [c, d]$$

---

<sup>†</sup>Una definizione equivalente è che  $S$  è rigata se per ogni punto di  $S$  passa una retta  $r_s$  che sia tutta contenuta in essa.

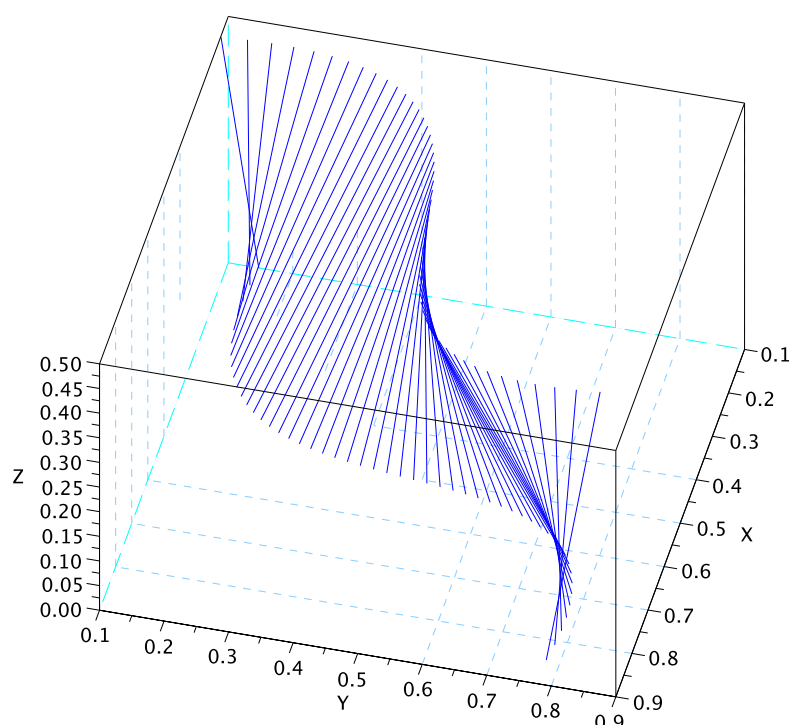


Figura 5.4: Esempio di curva di Bézier utilizzata come bordi per una superficie rigata.

## Superfici tensor-product come patch Bézier

La patch di Bézier è definita a partire dalla base omonima nel modo seguente:

$$X(u, v) = \sum_{i=0}^n \sum_{j=0}^m b_{ij} B_i^n(u) B_j^m(v)$$

### Proprietà

**Curve di contorno** La superficie è delimitata da quattro curve di contorno<sup>†</sup>:

$$\begin{cases} u = 0, v \in [0, 1], & X(0, v) = \sum_{j=0}^m b_{0j} B_j^m(v) \\ u = 1, v \in [0, 1], & X(1, v) = \sum_{j=0}^m b_{1j} B_j^m(v) \\ v = 0, u \in [0, 1], & X(u, 0) = \sum_{i=0}^n b_{i0} B_i^n(u) \\ v = 1, u \in [0, 1], & X(u, 1) = \sum_{i=0}^n b_{i1} B_i^n(u) \end{cases}$$

**Posizione negli angoli** Negli angoli la superficie è parallela al piano individuato dai punti di controllo. Infatti, considerando le derivate prime parziali della superficie lungo le due direzioni negli angoli, si ha:

$$\begin{aligned} \dot{X}_u(0, 0) &= n\Delta^{(1,0)} b_{0,0} = n(b_{1,0} - b_{0,0}) \\ \dot{X}_u(1, 0) &= n \sum_{i=0}^{n-1} \Delta^{(1,0)} b_{i,0} B_i^{n-1}(1) = n\Delta^{(1,0)} b_{n-1,0} = n(b_{n,0} - b_{n-1,0}) \\ \dot{X}_v(0, 0) &= n\Delta^{(0,1)} b_{0,0} = m(b_{0,1} - b_{0,0}) \\ \dot{X}_v(0, 1) &= m \sum_{j=0}^{m-1} \Delta^{(0,1)} b_{0,j} B_j^{m-1}(1) = m\Delta^{(0,1)} b_{0,m-1} = m(b_{0,m} - b_{0,m-1}) \end{aligned}$$

**Altre proprietà** In quanto somme di polinomi di Bernstein valgono le seguenti proprietà, dimostrabili in modo analogo a quanto già mostrato in modo esplicito per le curve di Bézier:

- $\sum_{i=0}^n \sum_{j=0}^m B_i^n(u) B_j^m(v) = 1$
- I punti della superficie  $X(u, v) = \sum_{i=0}^n \sum_{j=0}^m b_{ij} B_i^n(u) B_j^m(v)$  sono una combinazione convessa dei punti di controllo  $b_{i,j}$
- Vale la proprietà di convex hull
- Vale la proprietà di invarianza alle trasformazioni affini

---

<sup>†</sup>boundary

**Forma compatta** La superficie  $X(u, v)$  può essere espressa in forma compatta come:

$$X(u, v) = \left( B_0^n(u), \dots, B_n^n(u) \right) \begin{pmatrix} b_{0,0} & \cdots & b_{0,m} \\ \vdots & & \vdots \\ b_{n,0} & \cdots & b_{n,m} \end{pmatrix} \begin{pmatrix} B_0^m(v) \\ \vdots \\ B_m^m(v) \end{pmatrix}$$

## Algoritmi

### de Casteljau

L'algoritmo di de Casteljau per le superfici funziona in maniera del tutto analoga a quello descritto precedentemente per le curve.

Dati  $b_{ij}^{00} = b_{ij}$  come punti iniziali per l'algoritmo ( $i = 0, \dots, n; j = 0, \dots, m$ ), si definisce il passo dell'algoritmo unidirezionale (nelle due direzioni, rispettivamente) in questo modo:

$$\begin{aligned} b_{ij}^{k0}(u) &= (1 - u)b_{ij}^{k-1,0} + ub_{i+1,j}^{k-1,0}, \quad i = 0, \dots, n - k \\ b_{ij}^{0k}(v) &= (1 - v)b_{ij}^{0,k-1} + vb_{i,j+1}^{0,k-1}, \quad j = 0, \dots, m - k \end{aligned}$$

Svolgendo contemporaneamente nelle due direzioni si ha:

$$\begin{aligned} b_{ij}^{kl}(u, v) &= (1 - v)b_{ij}^{k,l-1} + vb_{i,j+1}^{k,l-1} \\ &= (1 - v) \left[ (1 - u)b_{ij}^{k-1,l-1} + ub_{i+1,j}^{k-1,l-1} \right] + v \left[ (1 - u)b_{i,j+1}^{k-1,l-1} + ub_{i+1,j+1}^{k-1,l-1} \right] \end{aligned}$$

e se  $m = n$ ,

$$b_{ij}^{kl}(u, v) = ((1 - u), u) \begin{pmatrix} b_{ij}^{k-1,l-1} & b_{i+1,j}^{k-1,l-1} \\ b_{i,j+1}^{k-1,l-1} & b_{i+1,j+1}^{k-1,l-1} \end{pmatrix} \begin{pmatrix} 1 - v \\ v \end{pmatrix}, \quad i = 0, \dots, n - k; j = 0, \dots, m - l$$

### Algoritmo per il calcolo delle patch di Bézier

```

1 function Curve = Bezier_patch_casteljau(b,u,v) //b poligono, u,v punti di valutazione
2 Lu = length(u)
3 Lv = length(v)
4 [d,n,m] = size(b)
5 Curve = []
6 tcurve = []
7 for im=1:m
8     tcurve(:, :, im) = Bezier_casteljau(b(:, :, im), v);
9 end
10 for iv=1:Lv
11     Curve(:, :, iv) = Bezier_casteljau(matrix(tcurve(:, iv, :), 3, -1), u)
12 end
13 endfunction

```

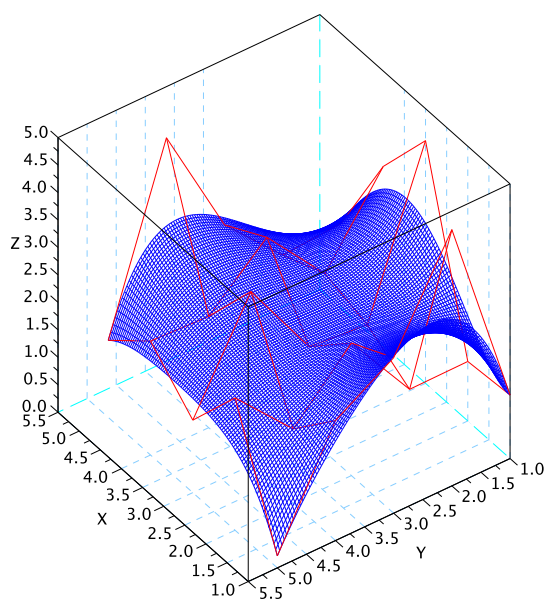
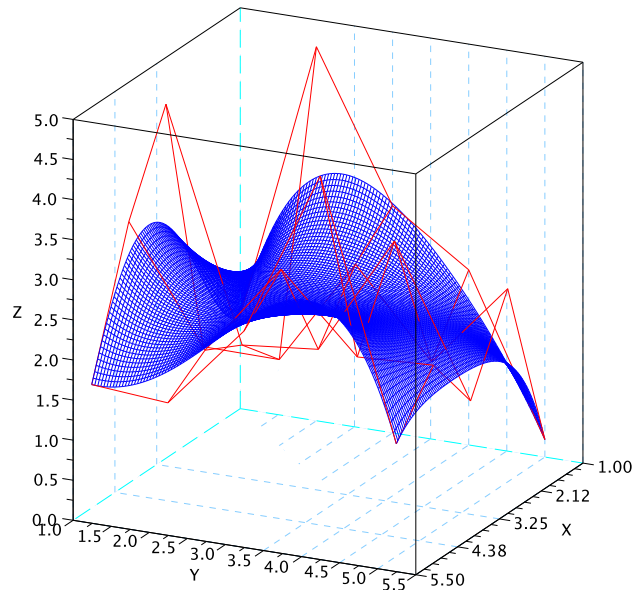


Figura 5.5: Esempio di Patch di Bézier da due angolazioni di verse.

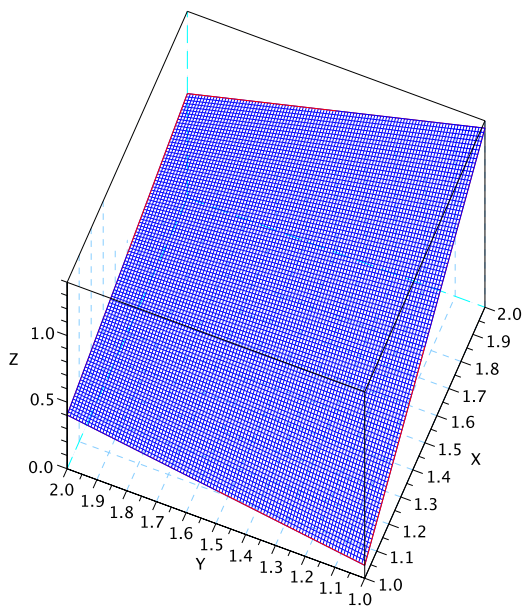
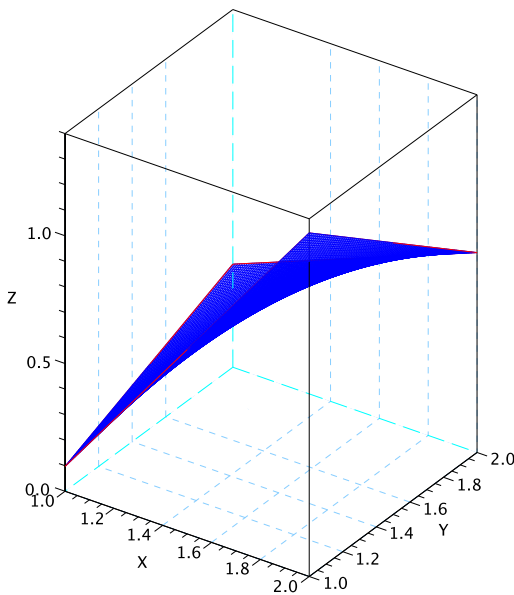


Figura 5.6: Esempio di Patch di Bézier con soli quattro punti di controllo: risalta la proprietà di tangenza agli angoli.

## Degree-elevation

L'algoritmo di degree elevation consente di elevare il grado della patch di Bézier lungo una delle due direzioni aggiungendo una riga di punti di controllo e modificando quelli esistenti in modo opportuno. In particolare, data la superficie:

$$X_{n,m}(u, v) = \sum_{i=0}^n \sum_{j=0}^m b_{ij} B_i^n(u) B_j^m(v)$$

si vuole aumentarne il grado lungo una direzione, ovvero ottenere:

$$X_{n+1,m}(u, v) = \sum_{i=0}^{n+1} \sum_{j=0}^m c_{ij} B_i^{n+1}(u) B_j^m(v)$$

oppure

$$X_{n,m+1}(u, v) = \sum_{i=0}^n \sum_{j=0}^{m+1} d_{ij} B_i^n(u) B_j^{m+1}(v)$$

Per le proprietà dei polinomi di Bernstein segue direttamente che:

$$\begin{aligned} X_{n,m}(u, v) &= \sum_{i=0}^n \sum_{j=0}^m b_{ij} B_i^n(u) B_j^m(v) \\ &= X_{n+1,m}(u, v) = \sum_{i=0}^{n+1} \sum_{j=0}^m c_{ij} B_i^{n+1}(u) B_j^m(v) = \sum_{j=0}^m \left( \sum_{i=0}^{n+1} c_{ij} B_i^{n+1}(u) \right) B_j^m(v) \end{aligned}$$

da cui:

$$\sum_{j=0}^m \left( \sum_{i=0}^n b_{ij} B_i^n(u) \right) B_j^m(v) = \sum_{j=0}^m \left( \sum_{i=0}^{n+1} c_{ij} B_i^{n+1}(u) \right) B_j^m(v)$$

che implica:

$$\sum_{i=0}^n b_{ij} B_i^n(u) = \sum_{i=0}^{n+1} c_{ij} B_i^{n+1}(u), \quad \forall j$$

I nuovi punti di controllo sono pertanto:

$$c_{ij} = \frac{n+1-i}{n+1} b_{ij} + \frac{i}{n+1} b_{i-1,j}, \quad \forall j, \quad i = 0, \dots, n+1$$

Gli stessi ragionamenti si applicano in modo perfettamente analogo anche all'altro caso.

In generale si preferisce aumentare il grado contemporaneamente in entrambe le direzioni. Applicando lo stesso ragionamento anche nell'altra direzione si ottiene:

$$\sum_{i=0}^{n+1} \left( \sum_{j=0}^m c_{ij} B_j^m(v) \right) B_i^{n+1}(u) = \sum_{i=0}^{n+1} \left( \sum_{j=0}^{m+1} d_{ij} B_j^{m+1}(v) \right) B_i^{n+1}(u)$$

## Superfici parametriche

---

da cui, come prima:

$$\sum_{j=0}^m c_{ij} B_j^m(v) = \sum_{j=0}^{m+1} d_{ij} B_j^{m+1}(v)$$

che implica:

$$d_{ij} = \frac{m+1-j}{m+1} c_{ij} + \frac{j}{m+1} c_{i,j-1}, \quad \forall i, j = 0, \dots, m+1$$

Esplicitando i  $c_{ij}$  si ottiene:

$$\begin{aligned} d_{ij} &= \frac{m+1-j}{m+1} \left( \frac{n+1-i}{n+1} b_{ij} + \frac{i}{n+1} b_{i-1,j} \right) + \frac{j}{m+1} \left( \frac{n+1-i}{n+1} b_{i,j-1} + \frac{i}{n+1} b_{i-1,j-1} \right) \\ &= \begin{pmatrix} i & n+1-i \\ n+1 & n+1 \end{pmatrix} \begin{pmatrix} b_{i-1,j-1} & b_{i-1,j} \\ b_{i,j-1} & b_{ij} \end{pmatrix} \begin{pmatrix} \frac{j}{m+1} \\ \frac{m+1-j}{m+1} \end{pmatrix} \end{aligned}$$

### Degree elevation nelle due direzioni

```

1 function B = Bezier_patch_degelev(b)
2 [d,n,m] = size(b)
3 B=b
4
5 for i=1:n
6 B(:,i,1:m+1)=matrix(Bezier_degelev(matrix(b(:,i,:)),3,-1)),3,1,m+1)
7 end
8 b=B
9 for i=1:m+1
10 B(:,1:n+1,i)=Bezier_degelev(b(:,:,i))
11 end
12
13 endfunction

```

## Subdivision

L'algoritmo di subdivision lungo una delle due direzioni è analogo a quello per le curve. Data la superficie:

$$X(u, v) = \sum_{i=0}^n \sum_{j=0}^m b_{ij} B_i^n(u) B_j^m(v)$$

la si vuole suddividere in due superfici lungo una delle due direzioni:

$$\begin{cases} X_L(\tau, v) = \sum_{i=0}^n \sum_{j=0}^m c_{ij} B_i^n(\tau) B_j^m(v) = X(t, v), \quad t \in [0, \hat{t}], \quad \tau = \frac{t}{\hat{t}} \in [0, 1] \\ X_R(\tau, v) = \sum_{i=0}^n \sum_{j=0}^m d_{ij} B_i^n(\tau) B_j^m(v) = X(t, v), \quad t \in [\hat{t}, 1], \quad \tau = \frac{t - \hat{t}}{1 - \hat{t}} \in [0, 1] \end{cases}$$

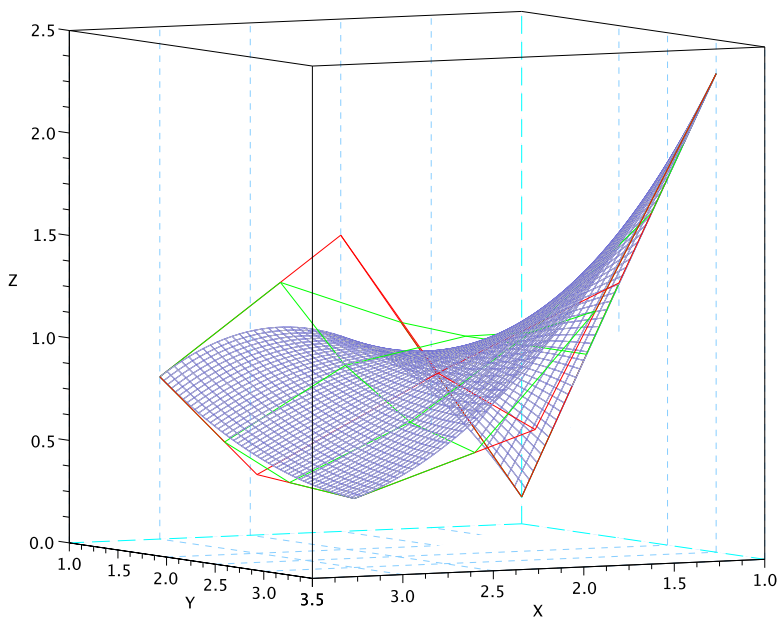
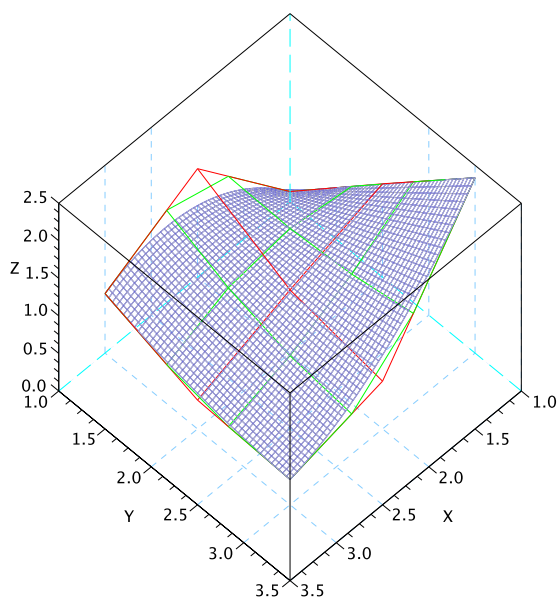


Figura 5.7: Esempio di applicazione della degree elevation, da due angolazioni di verse. In rosso il poligono di controllo originale, in verde quello di grado elevato, in grigio la sovrapposizione esatta della vecchia superficie (in blu) e della nuova (grigia).

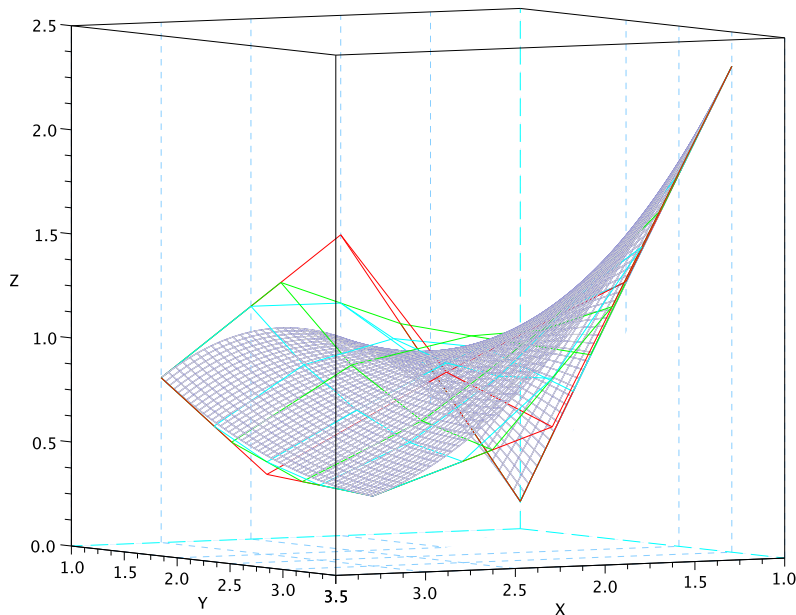
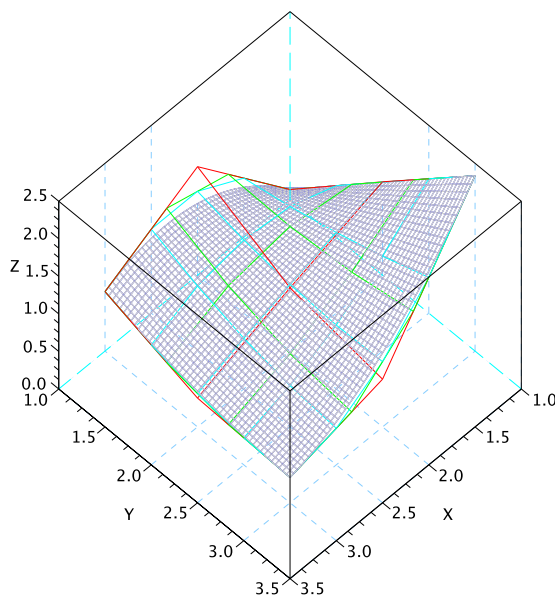


Figura 5.8: Esempio di applicazione della degree elevation, da due angolazioni di verse. In rosso il poligono di controllo originale, in verde quello di grado elevato, in ciano una seconda elevazione. In grigio la sovrapposizione esatta della vecchia superficie (in blu) e delle nuove (grigia).

oppure lungo l'altra:

$$\begin{cases} X_L(u, \tau) = \sum_{i=0}^n \sum_{j=0}^m c_{ij} B_i^n(u) B_j^m(\tau) = X(u, t), & t \in [0, \hat{t}], \tau = \frac{t}{\hat{t}} \in [0, 1] \\ X_R(u, \tau) = \sum_{i=0}^n \sum_{j=0}^m d_{ij} B_i^n(u) B_j^m(\tau) = X(u, t), & t \in [\hat{t}, 1], \tau = \frac{t - \hat{t}}{1 - \hat{t}} \in [0, 1] \end{cases}$$

In entrambi i casi, in modo analogo al caso bidimensionale i coefficienti si ottengono a partire da quelli dell'algoritmo di de Casteljau:

$$c_{kj} = b_{0j}^{k,0}(\tau), \quad d_{kj} = b_{k,j}^{n-k,0}(\tau)$$

per la direzione  $u$  e:

$$c_{ik} = b_{i0}^{0,k}(\tau), \quad d_{ik} = b_{i,k}^{0,m-k}(\tau)$$

lungo  $v$ .

### Subdivision nelle due direzioni

```

1 function [B1,B2,B3,B4] = Bezier_patch_subdiv(B,t)
2 [d,n,m] = size(B)
3
4 for i=1:n
5     [a,b] = Bezier_subdiv(matrix(B(:,:,i,:)),3,-1),t)
6     B5(1:3,i,1:m)=matrix(a,3,1,m)
7     B6(1:3,i,1:m)=matrix(b,3,1,m)
8 end
9
10 for i=1:m
11     [a,b] = Bezier_subdiv(B5(:,:,i),t)
12     B1(1:3,1:n,i)=a
13     B2(1:3,1:n,i)=b
14     [a,b] = Bezier_subdiv(B6(:,:,i),t)
15     B3(1:3,1:n,i)=a
16     B4(1:3,1:n,i)=b
17 end
18 endfunction

```

## Interpolazione di superfici con patch di Bézier

Una superficie tensor-product di Bézier, come definita in precedenza, è una funzione del tipo:

$$X(u, v) = \sum_{i=0}^n \sum_{j=0}^m b_{ij} B_i^n(u) B_j^m(v), \quad (u, v) \in [0, 1] \times [0, 1]$$

In questo caso, definiti:

$$S_1 = \langle B_0^n, \dots, B_n^n \rangle, \quad S_2 = \langle B_0^m, \dots, B_m^m \rangle, \quad S = S_1 \otimes S_2$$

si ha che si sta lavorando su uno spazio di dimensione:

$$N = \dim S = (n+1)(m+1)$$

Il problema dell'interpolazione di superfici quindi è completamente determinato se si hanno a disposizione  $N$  campionamenti della superficie da interpolare; i dati del problema sono rappresentabili come:

$$X_{in}(u_i, v_j) = P_k, \quad k = 0, \dots, N-1, \quad P_k \in \mathbb{E}^3$$

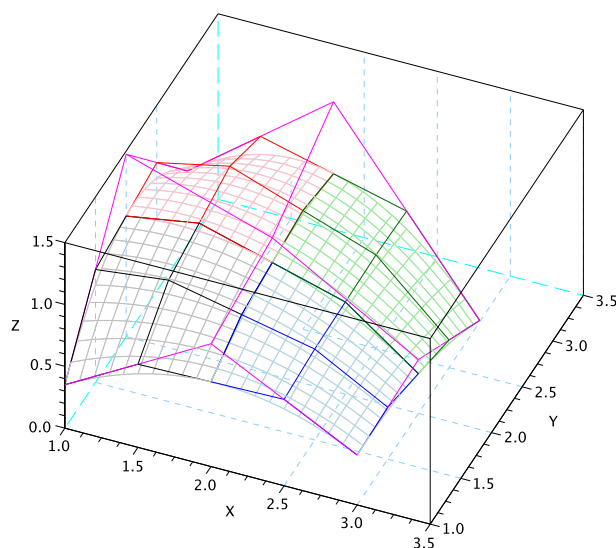
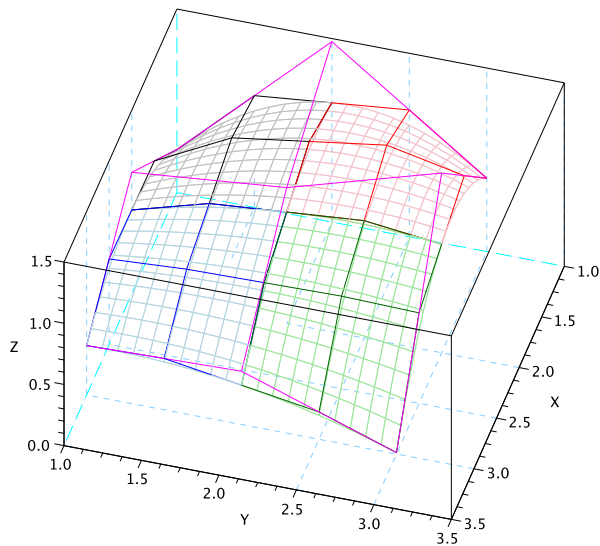


Figura 5.9: Esempio di subdivision applicata a  $t=0.5$ , vista da due angolazioni diverse. In magenta i punti di controllo originali; i nuovi punti di controllo sono colorati e le relative superfici hanno colori concordi.

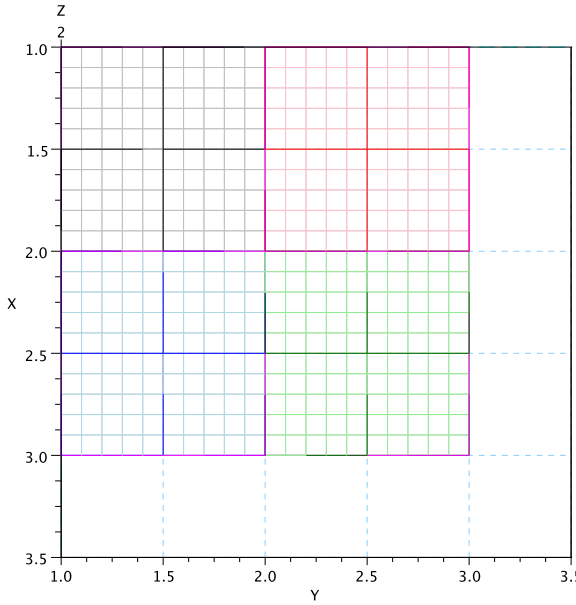


Figura 5.10: Esempio di subdivision applicata a  $t=0.5$ , vista dall'alto si nota bene come ogni quadrante sia diviso in quattro quadranti uguali.

### Interpolazione su punti sparsi

Se si hanno a disposizione campionamenti sparsi della superficie che si vuole interpolare:

$$X_{in}(u_i, v_i) = P_k, \quad i = 0, \dots, N;$$

si va a risolvere il sistema:

$$X(u_i, v_i) = \sum_{i=0}^n \sum_{j=0}^m b_{ij} B_i^n(u_i) B_j^m(v_i) = X_{in}(u_i, v_i) = P_k$$

il quale può essere scritto nella forma:

$$\begin{pmatrix} B_0^n(u_1) B_0^m(v_1) & \cdots & B_n^n(u_1) B_m^m(v_1) \\ \vdots & & \vdots \\ B_0^n(u_n) B_0^m(v_n) & \cdots & B_n^n(u_n) B_m^m(v_n) \end{pmatrix} \begin{pmatrix} b_{00} \\ \vdots \\ b_{0m} \\ b_{10} \\ \vdots \\ b_{nm} \end{pmatrix} = \begin{pmatrix} P_1 \\ \vdots \\ P_k \end{pmatrix}$$

### Interpolazione su griglia rettangolare

Se i campionamenti sono distribuiti su una griglia rettangolare:

$$X(u_i, v_i) = P_{ij}, \quad i = 0, \dots, n; \quad j = 0, \dots, m$$

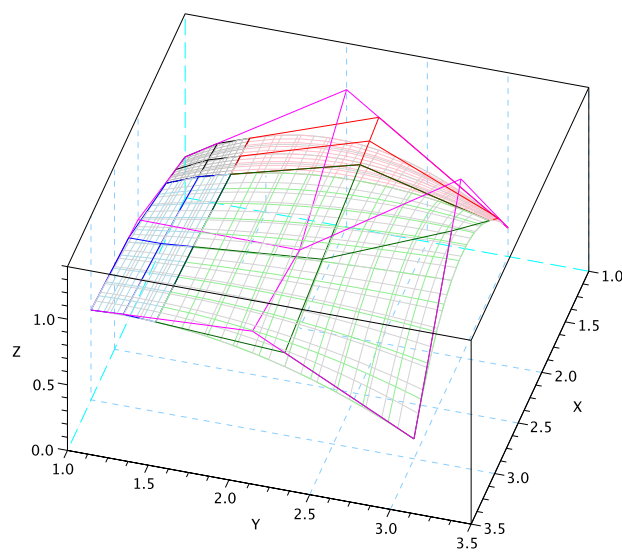
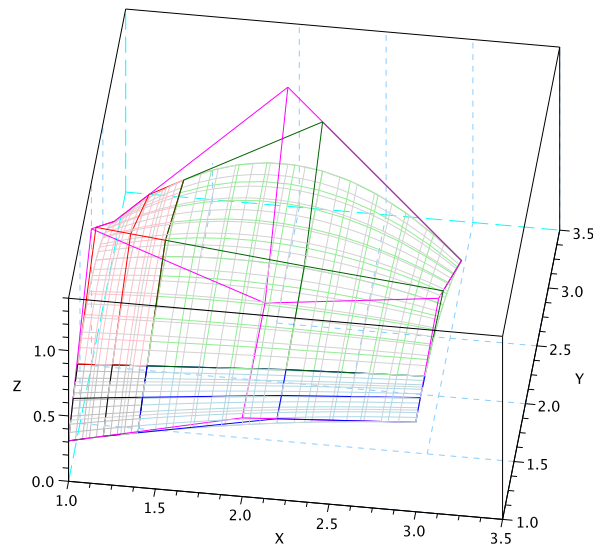


Figura 5.11: Esempio di subdivision applicata a  $t=0.2$ , vista da due angolazioni diverse. In magenta i punti di controllo originali, in grigio la superficie originale; i nuovi punti di controllo sono colorati e le relative superfici hanno colori concordi.

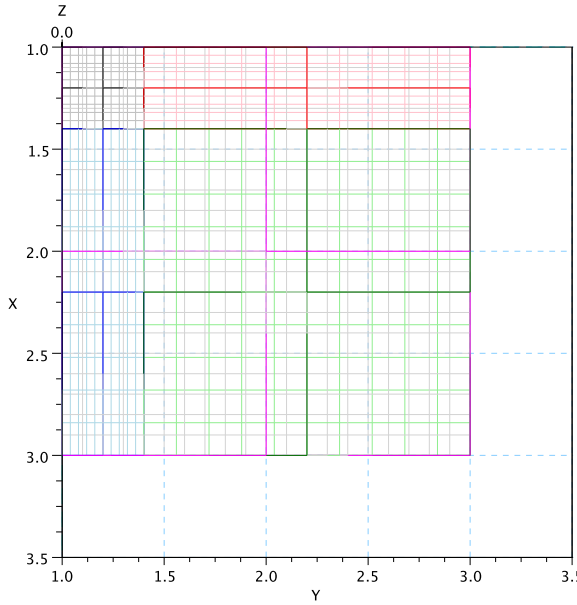


Figura 5.12: Esempio di subdivision applicata a  $t=0.2$ , vista dall'alto si nota la distribuzione della suddivisione; le griglie delle nuove superfici, campionate uniformemente come in tutte gli esempi precedenti, enfatizzano la diversa scalatura delle quattro suddivisioni.

si vuole risolvere, come prima, il sistema:

$$X(u_i, v_j) = \sum_{i=0}^n \sum_{j=0}^m b_{ij} B_i^n(u_i) B_j^m(v_j) = X_{in}(u_i, v_j) = P_{ij}$$

Per ogni coppia di punti si ha:

$$X(u_k, v_r) = (B_0^n(u_k), \dots, B_n^n(u_k)) \underbrace{\begin{pmatrix} b_{00} & \cdots & b_{0m} \\ \vdots & & \vdots \\ b_{n0} & \cdots & b_{nm} \end{pmatrix}}_B \begin{pmatrix} B_0^m(v_r) \\ \vdots \\ B_m^m(v_r) \end{pmatrix} = P_{kr}$$

Definita la matrice dei punti noti:

$$P = \begin{pmatrix} P_{00} & \cdots & P_{0m} \\ \vdots & & \vdots \\ P_{n0} & \cdots & P_{nm} \end{pmatrix}$$

e le matrici:

$$F = \begin{pmatrix} B_0^n(u_0) & \cdots & B_0^n(u_n) \\ \vdots & & \vdots \\ B_n^n(u_0) & \cdots & B_n^n(u_n) \end{pmatrix}, \quad G = \begin{pmatrix} B_0^m(v_0) & \cdots & B_0^m(v_m) \\ \vdots & & \vdots \\ B_m^m(v_0) & \cdots & B_m^m(v_m) \end{pmatrix}$$

il problema può essere rappresentato in forma matriciale come

$$F^T B G = P$$

## Patch triangolari di Bézeir

L'idea alla base delle patch triangolari è quella di usare una combinazioni baricentrica di coordinate come parametri per muoversi su una superficie. In particolare in questo caso si considera come dominio un triangolo non degenere  $T$ , di vertici  $\widehat{ABC}$ ; i punti dell'area sono rappresentabili come combinazione baricentrica dei vertici:

$$P \in T, \quad P = uA + vB + wC, \quad u + v + w = 1$$

e la superficie come una funzione:

$$X : T \rightarrow \mathbb{E}^3$$

### Coordinate baricentriche

Le coordinate baricentriche descritte sopra sono in relazione biunivoca con quelle cartesiane. Si ha:

$$\begin{pmatrix} x \\ y \\ 1 \end{pmatrix} = \underbrace{\begin{pmatrix} x_A & x_B & x_C \\ y_A & y_B & y_C \\ 1 & 1 & 1 \end{pmatrix}}_T \begin{pmatrix} u \\ v \\ w \end{pmatrix}$$

Affinchè la relazione sia biunivoca (ovvero il sistema ha soluzione unica) se e solo se la matrice  $T$  è non singolare, ovvero il triangolo  $\widehat{ABC}$  non è degenere.

## Polinomi di Bernstein generalizzati

I polinomi di Bernstein possono essere generalizzati alle coordinate baricentriche. Per comodità si utilizza la seguente notazione:

- $I = (i, j, k)$  è un multiindice
- $I! = i!j!k!$
- $|I| = i + j + k = n$
- $\mu = (u, v, w)^T$
- $\mu^I = u^i v^j w^k$

**Definizione 5.5** (polinomio di Bernstein generalizzato). Si definisce polinomio di Bernstein generalizzato il polinomio:

$$B_I^n(\mu) = \frac{n!}{I!} \mu^I$$

Tale polinomio è bivariato e di grado  $n$ , infatti  $\mu^I = u^i v^j w^k$  e  $i + j + k = n$ .

Fissare  $|I| = n$  riduce il numero di indici distinti a  $(n+1)(n+2)/2$ .

### Proprietà

**Non negatività** Tutti i fattori sono positivi o nulli, e la proprietà è banalmente soddisfatta.

**Partizione dell'unità** Vale che:

$$\sum_{|I|=n} B_I^n(\mu) \equiv 1, \quad \forall \mu \in T$$

*Dimostrazione.* si ha infatti che:

$$\begin{aligned} 1 &= 1^n = (u + v + w)^n = (u + (v + w))^n \\ &= \sum_{i=0}^n \binom{n}{i} u^i (v + w)^{n-i} \\ &= \sum_{i=0}^n \binom{n}{i} u^i \sum_{j=0}^{n-i} \binom{n-i}{j} v^j w^{\overbrace{n-i-j}^k} \\ &= \sum_{i=0}^n \sum_{j=0}^{n-i} \binom{n}{i} \binom{n-i}{j} u^i v^j w^k \\ &= \sum_{i=0}^n \sum_{j=0}^{n-i} \frac{n!}{i! j! k!} u^i v^j w^k \\ &= \sum_{|I|=n} \frac{n!}{I!} \mu^I \\ &= B_I^n(\mu) \end{aligned}$$

□

**Linear Precision** Si può dimostrare che vale:

$$\mu = \sum_{|I|=n} \frac{|I|}{n} B_I^n(\mu)$$

la dimostrazione è componente per componente e si riconduce direttamente alla proprietà analoga già dimostrata nel caso monovariato.

## Patch triangolari

Ora è possibile dare una definizione più rigorosa delle patch triangolari di Bézier.

**Definizione 5.6** (Patch triangolare di Bézier). Dato un dominio triangolare  $T$ , una patch triangolare di Bézier di grado  $n$  è una funzione  $X : T \rightarrow \mathbb{E}^3$  del tipo:

$$X(\mu) = \sum_{|I|=n} b_I B_I^n(\mu)$$

in cui  $b_I \in \mathbb{E}^3$  sono chiamati punti di controllo.

### Proprietà

**Comportamento ai bordi** Lungo uno dei bordi (ovvero quando uno dei tre parametri in  $\mu$  è nullo si ha:

$$\begin{aligned} X \begin{pmatrix} u \\ v \\ 0 \end{pmatrix} &= \sum_{\substack{|I|=n \\ k=0}} b_I B_I^n \begin{pmatrix} u \\ v \\ 0 \end{pmatrix} \\ &= \sum_{i=0}^n b_{(i,n-i,0)} \frac{n!}{(n-i)!i!0!} u^i v^{n-i} w^0 \\ &= \sum_{i=0}^n b_{(i,n-i,0)} \underbrace{\binom{n}{i} u^i v^{n-i} w^0}_{B_i^n(n), v=1-u} \end{aligned}$$

ovvero lungo i bordi si ha una curva di Bézier. Gli altri casi sono analoghi.

**Controllo pseudolocale** Spostando un punto di controllo:

$$\tilde{b}_I = b_I + \delta b$$

si ha:

$$\tilde{X}(\mu) = X(\mu) + \delta b B_I^n(\mu)$$

ovvero come nel caso delle curve di Bézier la modifica di un punto di controllo ha effetti su tutta la curva, in maniera proporzionale al valore del polinomio di Bernstein corrispondente.

## End-point interpolation

Ai vertici del triangolo si ha:

$$\begin{aligned} X \begin{pmatrix} 1 \\ 0 \\ 0 \end{pmatrix} &= \sum_{\substack{|I|=n \\ k=0}} b_I B_I^n \sum_{i=0}^n b_{(i,0,0)} \begin{pmatrix} 1 \\ 0 \\ 0 \end{pmatrix} = \sum_{\substack{|I|=n \\ j=0 \\ k=0}} b_I B_I^n \begin{pmatrix} 1 \\ 0 \\ 0 \end{pmatrix} \\ &= \sum_{i=n}^n b_{(i,0,0)} B_{(i,0,0)}^n \begin{pmatrix} 1 \\ 0 \\ 0 \end{pmatrix} \\ &= b_{(n,0,0)} \frac{n!}{n!0!0!} 1^n v^0 w^0 = b_{(n,0,0)} \end{aligned}$$

La dimostrazione per gli altri due casi è analoga.

## Forma ricorsiva

I polinomi di Bérnstein generalizzati posso essere espressi in forma ricorsiva:

$$B_I^n(\mu)^\dagger = u B_{I-e_1}^{n-1}(\mu) + v B_{I-e_2}^{n-1}(\mu) + w B_{I-e_3}^{n-1}(\mu) \quad (5.1)$$

Infatti:

$$\begin{aligned} B_{I-e_1}^{n-1}(\mu) &= \frac{(n-1)!}{(i-1)!j!k!} u^{i-1} v^j w^k \\ B_{I-e_2}^{n-1}(\mu) &= \frac{(n-1)!}{(j-1)!i!k!} u^i v^{j-1} w^k \\ B_{I-e_3}^{n-1}(\mu) &= \frac{(n-1)!}{(k-1)!i!j!} u^i v^j w^{k-1} \end{aligned}$$

e svolgendo la somma (5.1) si ottiene:

$$\left[ \frac{1}{jk} + \frac{1}{ik} + \frac{1}{ij} \right] \frac{(n-1)!}{(i-1)!(j-1)!(k-1)!} u^i v^j w^k = \frac{n!}{i!j!k!} u^i v^j w^k =_{def} B_I^n(\mu)$$

## Algoritmi

### de Casteljau

Come nel caso delle patch quadrate di Bézeir, l'algoritmo di de Casteljau si definisce a partire dalla definizione ricorsiva dei polinomi di Bernstein.

Si definiscono i punti di controllo al passo zero:

$$b_I^0 = b_I \quad \forall |I| = n$$

---

<sup>†</sup>in cui con  $e_1, e_2, e_3$  si indicano i versori unitari lungo le direzioni  $u, v, w$

## Superfici parametriche

---

La superficie è definita dai punti:

$$\begin{aligned} X(\mu) &= \sum_{|I|=n} b_I^0 B_I^n(\mu) \\ &= \sum_{|I|=n} b_I^0 [uB_{I-e_1}^{n-1}(\mu) + vB_{I-e_2}^{n-1}(\mu) + wB_{I-e_3}^{n-1}(\mu)] \\ &= \sum_{|J|=n-1} (ub_{J+e_1}^0 + vb_{J+e_2}^0 + wb_{J+e_3}^0) B_J^{n-1}(\mu) \end{aligned}$$

e definendo:

$$b_J^n = (ub_{J+e_1}^{n-1} + vb_{J+e_2}^{n-1} + wb_{J+e_3}^{n-1})$$

in generale la superficie può essere rappresentata come:

$$X(\mu) = \sum_{|J|=n-r} b_J^r B_J^{n-r}(\mu)$$

i cui singoli punti sono quindi in:

$$X(\mu) = b_{(0,0,0)}^n$$

de Casteljau per patch triangolari

```

1 function Curve = Bezier_tripatch_casteljau(b,u,v)
2 Lu = length(u)
3 Lv = length(v)
4
5 for cu=1:Lu
6     tcurve = []
7     for cv=1:Lv
8         tcurve = [tcurve , tripatch_point(b,u(cu),v(cv))]
9     end
10    Curve(:,:,cu) = tcurve
11 end
12 endfunction
13
14 function P = tripatch_point(b,cu,cv)
15 [d,n,m] = size(b) //n,m must be the same!
16 tb1=b
17 tb2=b
18 cw = 1-cu-cv
19 for r=1:n-1
20     for cn=1:n-1-r+1
21         for cm=1:m-cn
22             tb2(:,:,cn,cm) = cw*tb1(:,:,cn,cm)+cu*tb1(:,:,cn+1,cm)+cv*tb1(:,:,cn,cm+1)
23         end
24         tb1=tb2
25     end
26 end
27 P = tb1(:,:,1)
28 endfunction

```

## Degree-elevation

Data la superficie:

$$X(\mu) = \sum_{|I|=n} b_I B_I^n(\mu), \quad \mu \in T$$

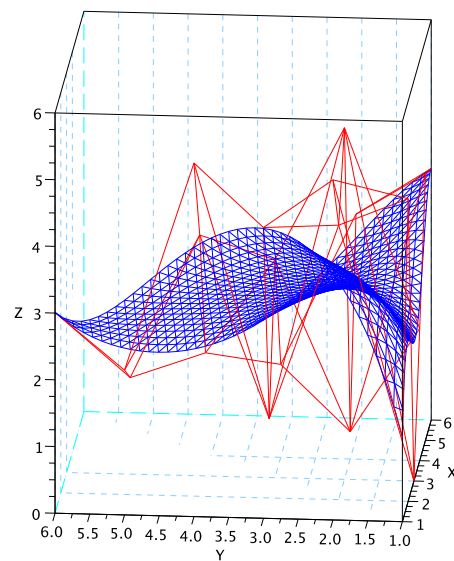
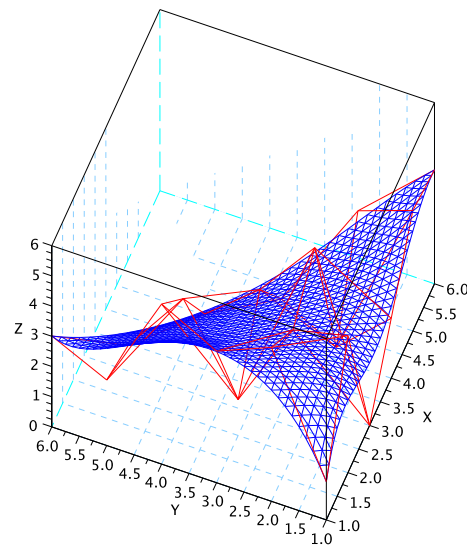


Figura 5.13: Esempio di patch di bezier triangolare, da due angolazioni diverse.

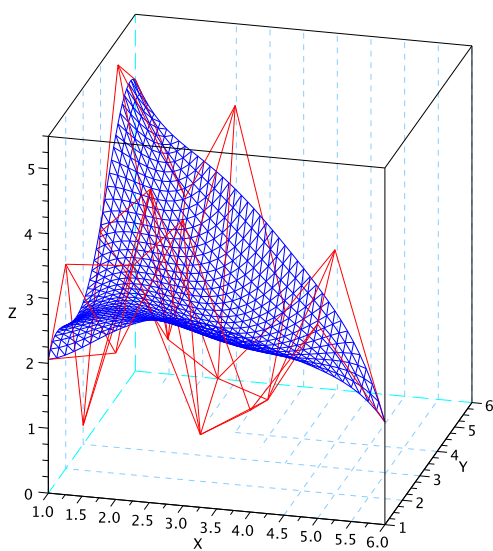
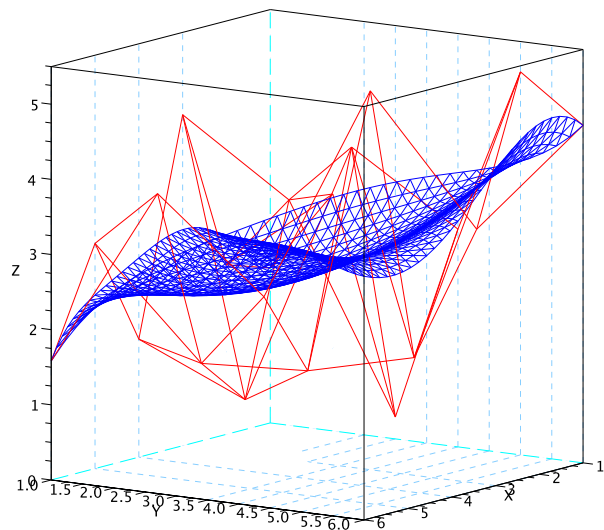


Figura 5.14: Esempio di patch di bezier triangolare, da due angolazioni diverse.

la si vuole rappresentare con una patch di bezier di grado più elevato:

$$X_e(\mu) = \sum_{|I|=n+1} c_I B_I^{n+1}(\mu) = X(\mu), \quad \mu \in T$$

In quanto  $u + v + w = 1$  si può scrivere:

$$\begin{aligned} X(\mu) &= \sum_{|I|=n} b_I B_I^n(\mu) = (u + v + w) \sum_{|I|=n} b_I B_I^n(\mu) \\ &= \sum_{|I|=n} b_I \frac{n!}{i!j!k!} u^{i+1} v^j w^k + \sum_{|I|=n} b_I \frac{n!}{i!j!k!} u^i v^{j+1} w^k + \sum_{|I|=n} b_I \frac{n!}{i!j!k!} u^i v^j w^{k+1} \\ &= {}^\dagger \sum_{|I|=n} b_I \frac{i+1}{n+1} \frac{(n+1)!}{(I+e_1)!} U^{I+e_1} + \sum_{|I|=n} b_I \frac{i+1}{n+1} \frac{(n+1)!}{(I+e_2)!} U^{I+e_2} + \sum_{|I|=n} b_I \frac{i+1}{n+1} \frac{(n+1)!}{(I+e_3)!} U^{I+e_3} \\ &= {}^\ddagger \sum_{|J|=n+1} \left( \frac{i}{n+1} b_{J-e_1} + \frac{j}{n+1} b_{J-e_2} + \frac{k}{n+1} b_{J-e_3} \right) B_J^{n+1}(\mu) \\ &= \sum_{|J|=n+1} c_J B_J^{n+1}(\mu) \text{asd} \end{aligned}$$

ovvero i coefficienti  $c_I$  possono essere ricavati direttamente:

$$c_I = \left( \frac{i}{n+1} b_{J-e_1} + \frac{j}{n+1} b_{J-e_2} + \frac{k}{n+1} b_{J-e_3} \right)$$

### Degree elevation per patch triangolari

```

1 function d = Bezier_tripatch_degelev(b)
2 [dim,n,m] = size(b)
3 d = hypermat([dim,n+1,m+1])
4
5
6 for i=2:n
7     for j=2:n+2-i
8         k = (n-j+1-i+1)
9         d(1:3,i,j) = (1/(n)) * ((i-1)*b(1:3,i-1,j)+(j-1)*b(1:3,i,j-1)+(k)*b(1:3,i,j))
10    end
11 end
12
13 for j=2:n
14     k=n+1-1-j+1
15     d(1:3,1,j) = (1/(n)) * ((j-1)*b(1:3,1,j-1)+(k)*b(1:3,1,j))
16 end
17
18 for i=2:n
19     k=n+1-1-i+1
20     d(1:3,i,1) = (1/(n)) * ((i-1)*b(1:3,i-1,1)+(k)*b(1:3,i,1))
21

```

<sup>†</sup>Chiamando  $u^i v^j w^k = U^I$

<sup>‡</sup>Considerato che  $\frac{(n+1)!}{(I+e_1)!} U^{I+e_1} = B_{I+e_1}^{n+1}$  e così via

```
22 | end
23 |
24 | d(1:3,1,1) = b(1:3,1,1)
25 | d(1:3,n+1,1) = b(1:3,n,1)
26 | d(1:3,1,m+1) = b(1:3,1,m)
27 |
28 | endfunction
```

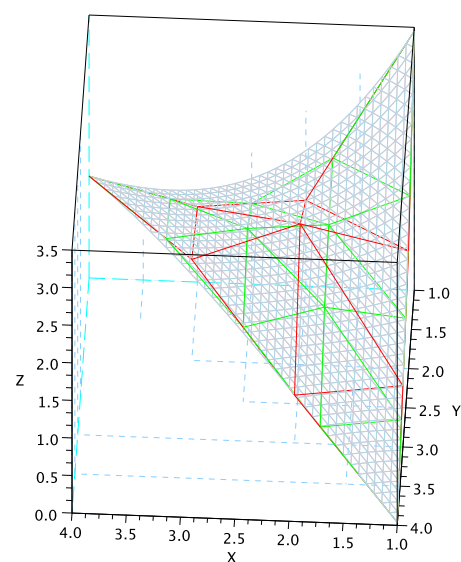
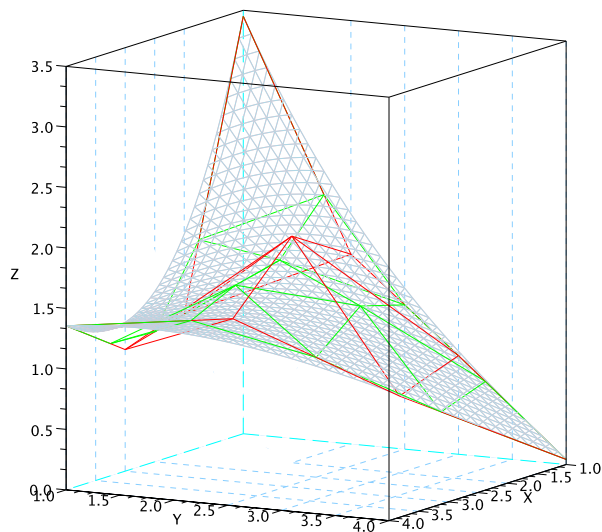


Figura 5.15: Esempio di degree elevation applicata ad una patch di bezier triangolare, da due angolazioni diverse.

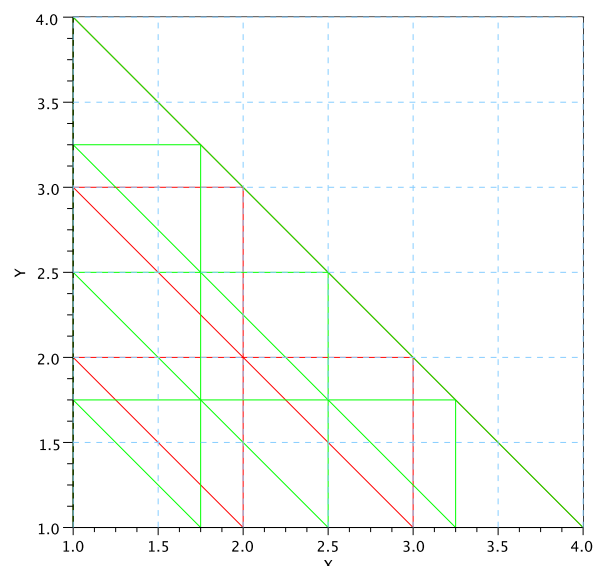


Figura 5.16: Esempio di degree elevation applicata ad una patch di bezier triangolare, su un griglia piana.



## Codici

Qui sono riportati i codici troppo lunghi o non abbastanza importanti per essere interlacciati al testo.

Per provare i vari codici è sufficiente avviare scilab nella directory che contiene tutti gli script e lanciare uno qualsiasi degli script di esempio con il comando

```
exec script.sci
```

All'inizio di ogni script di esempio, tutti denominati `esempi_*.sci`, c'è una lista di selettori per selezionare quali figure si vogliono prodotte.

### A.1 Bézier SPLINE: acquisizione punti condizionale e calcolo

Acquisizione e calcolo Bézier spline C0

```

1 exec glib.sci;
2 xcol = [0:0.001:1];
3 gcount=1;
4 g = input('numero e grado curve? ')
5
6 po(:,:,1) = mouse_input_2d(g(2));
7 plot(po(:,:,1),po(2,:,1),'Color',[1/g(1),0.5,1-1/g(1)],'LineStyle','--','Marker','o');
8 handler=get("current_axes");
9 handler.isoview="on";handler.grid=[12,12];
10 for i=1:g(1)-1
11 po(:,:,i+1) = [po(:,:,size(po,2),i),mouse_input_2d(g(2)-1)];
12 plot(po(:,:,i+1),po(2(:,:,i+1),'Color',[((i+1)/g(1),0.5,1-(i+1)/g(1)],'LineStyle','--',
13 'Marker','o');
14 end
15 scf(gcount);gcount=gcount+1;
16 subplot(1,2,1)
17 for i=1:g(1)
```

## Codici

---

```

18 | c(:,:,i) = Bezier_casteljau(po(:,:,i),xcol);
19 | plot(po(1,:,i),po(2,:,i),'Color',[i/g(1),0.5,1-(i)/g(1]),'LineStyle','—','Marker','o')
| ;
20 | plot(c(:,:,i),c(:,:,i),'Color',[i/g(1),0.5,1-i/g(1)]);
21 | end
22 | handler=get("current_axes");
23 | handler.isoview="on";handler.grid=[12,12];
24 | subplot(1,2,2)
25 | for i=1:g(1)
26 | rpo = Bezier_hodograph(po(:,:,i));
27 | c(:,:,i) = Bezier_casteljau(rpo,xcol);
28 | plot(rpo(1,:),rpo(2,:),'Color',[i/g(1),0.5,1-(i)/g(1]),'LineStyle','—','Marker','o');
29 | plot(c(:,:,i),c(:,:,i),'Color',[i/g(1),0.5,1-i/g(1)]);
30 | end
31 | handler=get("current_axes");
32 | handler.isoview="on";handler.grid=[12,12];

```

### Acquisizione e calcolo Bézier spline C1

```

1 exec glib.sci;
2 xcol = [0:0.001:1];
3 gcount=1;
4 g = input('numero e grado curve? ')
5
6 po(:,:,1) = mouse_input_2d(g(2));
7 plot(po(:,:,1),po(:,:,1),'Color',[1/g(1),0.5,1-1/g(1)],'LineStyle','—','Marker','o');
8 handler=get("current_axes");
9 handler.isoview="on";handler.grid=[12,12];
10 for i=1:g(1)-1
11 //tutte le curve hanno lo stesso grado, i coefficienti si semplificano
12 tpo = [po(:,:,size(po,2),i),(2*po(:,:,size(po,2),i)-po(:,:,size(po,2)-1,i))];
13 plot(tpo(:,:,1),tpo(:,:,2),'Color',[i+1/g(1),0.5,1-(i+1)/g(1)],'LineStyle','—','Marker','o');
14 po(:,:,i+1)=[tpo ,mouse_input_2d(g(2)-2)]
15 plot(po(:,:,i+1),po(:,:,i+1),'Color',[i+1/g(1),0.5,1-(i+1)/g(1)],'LineStyle','—','Marker','o');
16 end
17 scf(gcount);gcount=gcount+1;
18 subplot(1,2,1)
19 for i=1:g(1)
20 c(:,:,i) = Bezier_casteljau(po(:,:,i),xcol);
21 plot(po(:,:,i),po(:,:,i),'Color',[i/g(1),0.5,1-(i)/g(1)],'LineStyle','—','Marker','o');
22 plot(c(:,:,i),c(:,:,i),'Color',[i/g(1),0.5,1-i/g(1)]);
23 end
24 handler=get("current_axes");
25 handler.isoview="on";handler.grid=[12,12];
26 subplot(1,2,2)
27 for i=1:g(1)
28 rpo = Bezier_hodograph(po(:,:,i));
29 c(:,:,i) = Bezier_casteljau(rpo,xcol);
30 plot(rpo(:,:,1),rpo(:,:,2),'Color',[i/g(1),0.5,1-(i)/g(1)],'LineStyle','—','Marker','o');
31 plot(c(:,:,i),c(:,:,i),'Color',[i/g(1),0.5,1-i/g(1)]);
32 end
33 handler=get("current_axes");
34 handler.isoview="on";handler.grid=[12,12];

```

### Acquisizione e calcolo Bézier spline C2

```

1 exec glib.sci;
2 xcol = [0:0.001:1];
3 gcount=1;
4 g = input('numero e grado curve? ')

```

```

5 | po(:,:,1) = mouse_input_2d(g(2));
6 | plot(po(:,:,1),po(:,:,1),'Color',[1/g(1),0.5,1-1/g(1)],'LineStyle','—','Marker','o');
7 | handler=get("current_axes");
8 | handler.isoview="on";handler.grid=[12,12];
9 | for i=1:g(1)-1
10 //i coefficienti si semplificano se le curve hanno tutte lo stesso grado
11 tpo = [po(:,:,size(po,2),i)];
12 tpo = [tpo(:,:,1),(2*tpo(:,:,1)-po(:,:,size(po,2)-1,i))];
13 tpo1 = -2*po(:,:,size(po,2)-1,i) + po(:,:,size(po,2)-2,i) + 2*tpo(:,:,2)
14 tpo = [tpo,tpo1]
15
16
17
18 plot(tpo(:,:,1),tpo(:,:,2),'Color',[((i+1)/g(1),0.5,1-(i+1)/g(1)],'LineStyle','—','Marker','o'));
19 po(:,:,i+1)=[tpo,mouse_input_2d(g(2)-3)]
20 plot(po(:,:,i+1),po(:,:,i+1),'Color',[((i+1)/g(1),0.5,1-(i+1)/g(1)],'LineStyle','—','Marker','o'));
21 end
22
23 scf(gcf);gcount=gcount+1;
24 subplot(1,3,1)
25 for i=1:g(1)
26 c(:,:,i) = Bezier_casteljau(po(:,:,i),xcol);
27 plot(po(:,:,i),po(:,:,i),'Color',[((i)/g(1),0.5,1-(i)/g(1)],'LineStyle','—','Marker','o');
28 plot(c(:,:,i),c(:,:,i),'Color',[i/g(1),0.5,1-i/g(1)]);
29 end
30 handler=get("current_axes");
31 handler.isoview="on";handler.grid=[12,12];
32 subplot(1,3,2)
33 for i=1:g(1)
34 rpo = Bezier_hodograph(po(:,:,i));
35 c(:,:,i) = Bezier_casteljau(rpo,xcol);
36 plot(rpo(:,:,1),rpo(:,:,2),'Color',[((i)/g(1),0.5,1-(i)/g(1)],'LineStyle','—','Marker','o');
37 plot(c(:,:,i),c(:,:,i),'Color',[i/g(1),0.5,1-i/g(1)]);
38 end
39 handler=get("current_axes");
40 handler.isoview="on";handler.grid=[12,12];
41 subplot(1,3,3)
42 for i=1:g(1)
43 rrpo = Bezier_hodograph(Bezier_hodograph(po(:,:,i)));
44 c(:,:,i) = Bezier_casteljau(rrpo,xcol);
45 plot(rrpo(:,:,1),rrpo(:,:,2),'Color',[((i)/g(1),0.5,1-(i)/g(1)],'LineStyle','—','Marker','o');
46 plot(c(:,:,i),c(:,:,i),'Color',[i/g(1),0.5,1-i/g(1)]);
47 end
48 handler=get("current_axes");
49 handler.isoview="on";handler.grid=[12,12];

```

## Acquisizione e calcolo Bézier spline G1

```

1 exec glib.sci;
2 xcol = [0:0.001:1];
3 gcount=1;
4 g = input('numero, grado, scala curve? ')
5 k = g(3)
6
7 po(:,:,1) = mouse_input_2d(g(2));
8 plot(po(:,:,1),po(:,:,1),'Color',[1/g(1),0.5,1-1/g(1)],'LineStyle','—','Marker','o');
9 handler=get("current_axes");
10 handler.isoview="on";handler.grid=[12,12];
11 for i=1:g(1)-1
12 //tutte le curve hanno lo stesso grado, i coefficienti si semplificano
13 tpo = [po(:,:,size(po,2),i),((k+1)*po(:,:,size(po,2),i)-po(:,:,size(po,2)-1,i))/k];

```

## Codici

---

```

14
15 plot(tpo(1,:),tpo(2,:), 'Color',[ (i+1)/g(1),0.5,1-(i+1)/g(1)], 'LineStyle','—', 'Marker','o')
16 );
17 po(:,:,i+1)=[tpo , mouse_input_2d(g(2)-2)]
18 plot(po(:,:,i+1),po(2(:,:,i+1), 'Color',[ (i+1)/g(1),0.5,1-(i+1)/g(1)], 'LineStyle','—',
19 Marker','o');
20 end
21 scf(gcf);gcount=gcount+1;
22 subplot(1,2,1)
23 for i=1:g(1)
24 c(:,:,i) = Bezier_casteljau(po(:,:,i),xcol);
25 plot(po(:,:,i),po(2(:,:,i), 'Color',[ (i)/g(1),0.5,1-(i)/g(1)], 'LineStyle','—', 'Marker','o')
26 ;
27 plot(c(:,:,i),c(2(:,:,i), 'Color',[ i/g(1),0.5,1-i/g(1)]);
28 end
29 handler=get("current_axes");
30 handler.isoview="on";handler.grid=[12,12];
31 subplot(1,2,2)
32 for i=1:g(1)
33 rpo = Bezier_hodograph(po(:,:,i));
34 c(:,:,i) = Bezier_casteljau(rpo,xcol);
35 plot(rpo(:,:,1),rpo(:,:,2), 'Color',[ (i)/g(1),0.5,1-(i)/g(1)], 'LineStyle','—', 'Marker','o');
36 plot(c(:,:,i),c(2(:,:,i), 'Color',[ i/g(1),0.5,1-i/g(1)]);
37 if i>1 then
38 plot(k*c(:,:,i),k*c(:,:,2), 'Color',[ i/g(1),0.7,(1-i/g(1))]);
39 end
40 end
41 handler=get("current_axes");
42 handler.isoview="on";handler.grid=[12,12];

```

## Acquisizione e calcolo Bézier spline G2

```

1 exec glib.sci;
2 xcol = [0:0.001:1];
3 gcount=1;
4 g = input('numero, grado, scala1, scala2 curve? ')
5 k = g(3)
6 s = g(4)
7
8 po(:,:,1) = mouse_input_2d(g(2));
9 plot(po(:,:,1),po(:,:,1), 'Color',[1/g(1),0.5,1-1/g(1)], 'LineStyle','—', 'Marker','o');
10 handler=get("current_axes");
11 handler.isoview="on";handler.grid=[12,12];
12 for i=1:g(1)-1
13 //tutte le curve hanno lo stesso grado, i coefficienti si semplificano
14 b1 = ((k+1)*po(:,:,size(po,2),i)-po(:,:,size(po,2)-1,i))/k
15 b2=((s-1)*po(:,:,size(po,2),i)-2*po(:,:,size(po,2)-1,i)+po(:,:,size(po,2)-2,i)+2*s*b1)/s
16
17 tpo = [po(:,:,size(po,2),i),b1,b2];
18
19 plot(tpo(:,:,1),tpo(:,:,2), 'Color',[ (i+1)/g(1),0.5,1-(i+1)/g(1)], 'LineStyle','—', 'Marker','o')
20 );
21 po(:,:,i+1)=[tpo , mouse_input_2d(g(2)-3)]
22 plot(po(:,:,i+1),po(2(:,:,i+1), 'Color',[ (i+1)/g(1),0.5,1-(i+1)/g(1)], 'LineStyle','—',
23 Marker','o');
24 end
25 scf(gcf);gcount=gcount+1;
26 subplot(1,3,1)
27 for i=1:g(1)
28 c(:,:,i) = Bezier_casteljau(po(:,:,i),xcol);
29 plot(po(:,:,i),po(2(:,:,i), 'Color',[ (i)/g(1),0.5,1-(i)/g(1)], 'LineStyle','—', 'Marker','o')
30 ;

```

```

29 plot(c(1,:,i),c(2,:,i),'Color',[i/g(1),0.5,1-i/g(1)]);
30 end
31 handler=get("current_axes");
32 handler.isoview="on";handler.grid=[12,12];
33 subplot(1,3,2)
34 for i=1:g(1)
35 rpo = Bezier_hodograph(po(:,:,i));
36 c(:,:,i) = Bezier_casteljau(rpo,xcol);
37 plot(rpo(1,:),rpo(2,:),'Color',[i/g(1),0.5,1-(i)/g(1)],'LineStyle','--','Marker','o');
38 plot(c(1,:,i),c(2,:,i),'Color',[i/g(1),0.5,1-i/g(1)]);
39 if i>1 then
40 plot(k*c(1,:,i),k*c(2,:,i),'Color',[i/g(1),0.7,i/g(1)]);
41 end
42 end
43 handler=get("current_axes");
44 handler.isoview="on";handler.grid=[12,12];
45 subplot(1,3,3)
46 for i=1:g(1)
47 rrp0 = Bezier_hodograph(Bezier_hodograph(po(:,:,i)));
48 c(:,:,i) = Bezier_casteljau(rrp0,xcol);
49 plot(rrp0(1,:),rrp0(2,:),'Color',[i/g(1),0.5,1-(i)/g(1)],'LineStyle','--','Marker','o');
50 plot(c(1,:,i),c(2,:,i),'Color',[i/g(1),0.5,1-i/g(1)]);
51 if i>1 then
52 plot(s*c(1,:,i),s*c(2,:,i),'Color',[i/g(1),0.7,i/g(1)]);
53 end
54 end
55 handler=get("current_axes");
56 handler.isoview="on";handler.grid=[12,12];

```

## A.2 Curve di Bézeir: esempi del testo

Listing:

```

1 //ALMENO 5 PUNTI ALTRIMENTI CRASH SU DERIVATA 3!
2 exec glib.sci;
3 xcol = [0:0.001:1];
4 gcount=1;
5
6 //attiva disattiva grafici
7 castel = 1;
8 hodo = 1;
9 td = 1;
10 degelev = 1;
11 subdiv = 1;
12 ratbez = 1;
13 coniche = 1;
14
15 p = mouse_input_2d(input('Numero di punti? '));
16 //CASTELJAU
17 c = Bezier_casteljau(p,xcol);
18 if castel then
19 scf(gcount);gcount=gcount+1;
20 xtitle('de Casteljau')
21 plot(p(1,:),p(2,:),'ro-');
22 plot(c(1,:),c(2,:),'b-');
23 handler=get("current_axes");
24 handler.isoview="on";handler.grid=[12,12];
25 end
26 //HODOGRAPH E CURVATURA
27 pcl = Bezier_hodograph(p)

```

## Codici

---

```
28 | pc2 = Bezier_hodograph(pc1)
29 | c1 = Bezier_casteljau(pc1,xcol);
30 | c2 = Bezier_casteljau(pc2,xcol);
31 | curv = curvature(c1,c2);
32 | if hodo then
33 | scf(gcf); gcount=gcount+1;
34 | subplot(2,2,1);
35 | xtitle('de Casteljau')
36 | plot(p(1,:),p(2,:),'ro-');
37 | plot(c(1,:),c(2,:),'b-');
38 | handler=get("current_axes");
39 | handler.isoview="on"; handler.grid=[12,12];
40 | subplot(2,2,2);
41 | xtitle('Hodograph 1')
42 | plot(c1(1,:),c1(2,:),'b-');
43 | plot(pc1(1,:),pc1(2,:),'r-o');
44 | handler=get("current_axes");
45 | handler.isoview="on"; handler.grid=[12,12];
46 | subplot(2,2,3);
47 | xtitle('Hodograph 2');
48 | plot(c2(1,:),c2(2,:),'b-');
49 | plot(pc2(1,:),pc2(2,:),'r-o');
50 | handler=get("current_axes");
51 | handler.isoview="on"; handler.grid=[12,12];
52 | subplot(2,2,4);
53 | xtitle('Curvatura');
54 | plot(curv);
55 | handler=get("current_axes");
56 | handler.isoview="on"; handler.grid=[12,12];
57 | end
58 //3d, CURVATURA E TORSIONE
59 [d,n] = size(p);
60 z = [0:(1/n):1];
61 ptd = [p;z(1:n)];
62 tdc = Bezier_casteljau(ptd,xcol);
63 ptdd = Bezier_hodograph(ptd);
64 ptddd = Bezier_hodograph(ptdd);
65 ptdddd = Bezier_hodograph(ptddd);
66 tdcdd = Bezier_casteljau(ptdd,xcol);
67 tdcdd = Bezier_casteljau(ptddd,xcol);
68 tdcddd = Bezier_casteljau(ptdddd,xcol);
69 tor3d = torsione(tdcdd,tdcdd,tdcddd);
70 cur3d = curvature(tdcdd,tdcddd);
71 if td then
72 scf(gcf); gcount=gcount+1;
73 subplot(3,1,1);
74 xtitle('3d de Casteljau');
75 param3d(ptd(1,:),ptd(2,:),ptd(3,:),20,-20);
76 handler = gce();
77 handler.foreground=color('red') //red
78 handler.mark_mode='on' //enable marks
79 handler.mark_size=1
80 handler.mark_foreground=color('red') //red marks
81 handler.mark_style=1 //cross
82 param3d(tdc(1,:),tdc(2,:),tdc(3,:),20,-20);
83 handler = gce();
84 handler.foreground=color('blue') //blue
85 handler=get("current_axes");
86 handler.isoview="on"; handler.grid=[12,12];
87 subplot(3,1,2);
88 xtitle('Curvatura');
89 plot(cur3d);
90 handler=get("current_axes");
91 handler.isoview="on"; handler.grid=[12,12];
92 subplot(3,1,3);
```

```

93 | xtitle('Torsione');
94 | plot(tor3d);
95 | handler=get("current_axes");
96 | handler.isoview="on"; handler.grid=[12,12];
97 | end
98 //Degree elevation
99 pdegev1 = Bezier_degelev(p);
100 cdeg1 = Bezier_casteljau(pdegev1,xcol);
101 pdegev2 = Bezier_degelev(pdegev1);
102 cdeg2 = Bezier_casteljau(pdegev2,xcol);
103 if degelev then
104 scf(gcount);gcount=gcount+1;
105 xtitle('Degree elevation')
106 subplot(1,2,1);
107 plot(p(1,:),p(2,:),'ro-');
108 plot(c(1,:),c(2,:),'b-');
109 plot(pdegev1(1,:),pdegev1(2,:),'go-');
110 plot(cdeg1(1,:),cdeg1(2,:),'b-');
111 handler=get("current_axes");
112 handler.isoview="on"; handler.grid=[12,12];
113 subplot(1,2,2);
114 plot(p(1,:),p(2,:),'ro-');
115 plot(c(1,:),c(2,:),'b-');
116 plot(pdegev2(1,:),pdegev2(2,:),'mo-');
117 plot(pdegev1(1,:),pdegev1(2,:),'go--');
118 plot(cdeg2(1,:),cdeg2(2,:),'b-');
119 handler=get("current_axes");
120 handler.isoview="on"; handler.grid=[12,12];
121 end
122 //subdivision
123 [psub1,psub2] = Bezier_subdiv(p,0.5);
124 csub1 = Bezier_casteljau(psub1,xcol);
125 csub2 = Bezier_casteljau(psub2,xcol);
126 if subdiv then
127 scf(gcount);gcount=gcount+1;
128 xtitle('Subdivision');
129 plot(p(1,:),p(2,:),'ro-');
130 plot(c(1,:),c(2,:),'b-');
131 plot(psub1(1,:),psub1(2,:),'go-');
132 plot(psub2(1,:),psub2(2,:),'co-');
133 plot(csub1(1,:),csub1(2,:),'g--');
134 plot(csub2(1,:),csub2(2,:),'c--');
135 handler=get("current_axes");
136 handler.isoview="on"; handler.grid=[12,12];
137 end
138 //rational bezier
139 beta0 = ones(1,size(p,2));
140 if pmodulo(size(p,2),2)==1 then
141 n=(size(p,2)+1)/2;
142 beta1 = [[1:1:n],[n-1:-1:1]];
143 beta2 = [[[1:1:1*n],[1*(n-1):-1:1]]^4;
144 else
145 n=size(p,2)/2;
146 beta1 = [[1:1:n],[n:-1:1]];
147 beta2 = [[[1:1:n],[(n):-1:1]]^2;
148 end
149 beta2c = beta2^-1
150 beta3 = [1:1:size(p,2)]^4;
151 beta3c = beta3^-1;
152 rb0 = RATBezier_casteljau(p,beta0,xcol);
153 rb1 = RATBezier_casteljau(p,beta1,xcol);
154 rb2 = RATBezier_casteljau(p,beta2,xcol);
155 rbc2 = RATBezier_casteljau(p,beta2c,xcol);
156 rb3 = RATBezier_casteljau(p,beta3,xcol);
157 rbc3 = RATBezier_casteljau(p,beta3c,xcol);

```

## Codici

---

```
158 | if ratbez then
159 | scf(gcf); gcount=gcount+1;
160 | xtitle('Bezier razionali')
161 | subplot(2,2,1)
162 | xtitle('Razionale pesi omogenei - normale 1 2 3 2 1')
163 | plot(p(1,:),p(2,:),'ro-');
164 | plot(c(1,:),c(2,:),'b-');
165 | plot(rb0(1,:),rb0(2,:),'k-');
166 | handler=get("current_axes");
167 | handler.isoview="on"; handler.grid=[12,12];
168 | subplot(2,2,2)
169 | xtitle('modifica pesi 1')
170 | plot(p(1,:),p(2,:),'ro-');
171 | plot(c(1,:),c(2,:),'b-');
172 | plot(rb1(1,:),rb1(2,:),'m-');
173 | handler=get("current_axes");
174 | handler.isoview="on"; handler.grid=[12,12];
175 | subplot(2,2,3)
176 | xtitle('modifica pesi 2: esponenziale (g) e reciproco (k)')
177 | plot(p(1,:),p(2,:),'ro-');
178 | plot(c(1,:),c(2,:),'b-');
179 | plot(rb1(1,:),rb1(2,:),'m--');
180 | plot(rb2(1,:),rb2(2,:),'g-');
181 | plot(rbc2(1,:),rbc2(2,:),'k-');
182 | handler=get("current_axes");
183 | handler.isoview="on"; handler.grid=[12,12];
184 | subplot(2,2,4)
185 | xtitle('modifica pesi 3: asimmetrici exp (1 2 3 ... size(p))^4 e reciproco')
186 | plot(p(1,:),p(2,:),'ro-');
187 | plot(c(1,:),c(2,:),'b-');
188 | plot(rb2(1,:),rb2(2,:),'g--');
189 | plot(rb1(1,:),rb1(2,:),'m--');
190 | plot(rb3(1,:),rb3(2,:),'r-');
191 | plot(rbc3(1,:),rbc3(2,:),'k-');
192 | handler=get("current_axes");
193 | handler.isoview="on"; handler.grid=[12,12];
194 end
195
196 pc = [-1,0,1;1,-1,1];
197 ellipse1 = RATBezier_coniche(pc,0.5,xcol);
198 ellipse2 = RATBezier_coniche(pc,-0.5,xcol);
199 parabola = RATBezier_coniche(pc,1,xcol);
200 iperbole = RATBezier_coniche(pc,3,xcol);
201 pc2 = [.5,0,1;1,0,.5];
202 circ1 = RATBezier_coniche(pc2,0.5,xcol);
203 circ2 = RATBezier_coniche(pc2,-0.5,xcol);
204 if coniche then
205 scf(gcf); gcount=gcount+1;
206 subplot(2,2,1)
207 xtitle('ellisse , beta = 0.5 (g), -0.5 (m)')
208 plot(pc(1,:),pc(2,:),'ro-');
209 plot(ellipse1(1,:),ellipse1(2,:),'g');
210 plot(ellipse2(1,:),ellipse2(2,:),'m');
211 handler=get("current_axes");
212 handler.isoview="on"; handler.grid=[12,12];
213 subplot(2,2,2)
214 xtitle('parabola , beta = 1, x^2 (c--)')
215 plot(pc(1,:),pc(2,:),'ro-');
216 plot(parabola(1,:),parabola(2,:),'b');
217 plot(xcol,xcol.^2,'c--');
218 handler=get("current_axes");
219 handler.isoview="on"; handler.grid=[12,12];
220 subplot(2,2,4)
221 xtitle('iperbole beta = 3')
222 plot(pc(1,:),pc(2,:),'ro-');
```

```

223 plot(iperbole(1,:),iperbole(2,:),'b');
224 handler=get("current_axes");
225 handler.isoview="on";handler.grid=[12,12];
226 subplot(2,2,3)
227 xtitle('ellisse 2')
228 plot(pc2(1,:),pc2(2,:),'ro-');
229 plot(circ1(1,:),circ1(2,:),'g');
230 plot(circ2(1,:),circ2(2,:),'m');
231 handler=get("current_axes");
232 handler.isoview="on";handler.grid=[12,12];
233 end

```

Disegno della base di Bernstein

```

1 function somma=Bezier_plot_base(n,t)
2 somma = []
3 for i=0:n
4     c = exp( gammaln( n+1) - gammaln( i+1) - gammaln( n-i+1))
5     curva = c*(t^i.*((1-t)^(n-i)))
6     somma = somma+curva
7     plot(t,curva,'Color',[i/n,0.5,1-i/n]);
8     handler=get("current_axes");
9     handler.isoview="on";handler.grid=[12,12];
10 end
11 endfunction

```

### A.3 Curve BSpline: esempi del testo

Listing:

```

1 exec glib.sci;
2 gcount=1;
3
4 fig_noep=1;
5 fig_ep=1;
6 fig_mult=1;
7 fig_norm=1;
8 fig_closed=1;
9 fig_knotins=1;
10 fig_rat=1;
11 fig_circ=1;
12
13 k = input('Grado Spline? ');
14 b = mouse_input_2d(input('Numero di punti? '));
15 [d,np]=size(b);
16
17 T=zeros(k,1)';
18 for i=k+1:np
19     T=[T,(T(i-1)+1)];
20 end
21 T=[T,(ones(k,1)*(T(np)+1))];
22
23 Tnoep = [0:1:(k+np-1)];
24
25 Tmult=zeros(k,1)';
26 for i=k+1:floor(np/2)
27     Tmult=[Tmult,(Tmult(i-1)+1)];
28 end
29 Tmult=[Tmult,(ones(k-1,1)*(Tmult(floor(np/2))+1))];

```

## Codici

---

```
30 | for i=floor(np/2)+k:np
31 |   Tmult=[Tmult ,(Tmult(i-1)+1)];
32 |
33 | Tmult=[Tmult ,(ones(k,1) *(Tmult(np)+1))];
34 |
35 | Cnoep = Bspline_deboor(k,Tnoep,b,[k-1:0.01:np]);
36 | Cep = Bspline_deboor(k,T,b,[T(1):0.01:T(length(T))]);
37 | Cmult = Bspline_deboor(k,Tmult,b,[0:0.01:Tmult(length(Tmult))]);
38 |
39 | if fig_noep then
40 |   scf(gcf);gcount=gcount+1;
41 |   plot(b(1,:),b(2,:),'ro-');
42 |   handler=get("current_axes");
43 |   handler.isoview="on";handler.grid=[12,12];
44 |   plot(Cnoep(1,:),Cnoep(2,:),'b-');
45 |   handler=get("current_axes");
46 |   handler.isoview="on";handler.grid=[12,12];
47 |   xtitle('Bspline senza endpoint interpolation')
48 | end
49 |
50 | if fig_ep then
51 |   scf(gcf);gcount=gcount+1;
52 |   plot(b(1,:),b(2,:),'ro-');
53 |   handler=get("current_axes");
54 |   handler.isoview="on";handler.grid=[12,12];
55 |   plot(Cep(1,:),Cep(2,:),'b-');
56 |   handler=get("current_axes");
57 |   handler.isoview="on";handler.grid=[12,12];
58 |   xtitle('Bspline con endpoint interpolation')
59 | end
60 |
61 | if fig_mult then
62 |   scf(gcf);gcount=gcount+1;
63 |   plot(b(1,:),b(2,:),'ro-');
64 |   handler=get("current_axes");
65 |   handler.isoview="on";handler.grid=[12,12];
66 |   plot(Cep(1,:),Cep(2,:),'c--');
67 |   handler=get("current_axes");
68 |   handler.isoview="on";handler.grid=[12,12];
69 |   plot(Cmult(1,:),Cmult(2,:),'b-');
70 |   handler=get("current_axes");
71 |   handler.isoview="on";handler.grid=[12,12];
72 |   xtitle('Bspline con endpoint interpolation e nodo con molteplicitÃ massima')
73 | end
74 |
75 | // Cepnorm = Bspline_curve(k,T,b,[T(1):0.01:T(length(T))]);
76 | Cepnorm = Bspline_deboor(k,T,b,[T(1):0.01:T(length(T))]);
77 | //Rimettere il normale!
78 |
79 | if fig_norm then
80 |   scf(gcf);gcount=gcount+1;
81 |   plot(b(1,:),b(2,:),'ro-');
82 |   handler=get("current_axes");
83 |   handler.isoview="on";handler.grid=[12,12];
84 |   plot(Cepnorm(1,:),Cepnorm(2,:),'b-');
85 |   handler=get("current_axes");
86 |   handler.isoview="on";handler.grid=[12,12];
87 |   xtitle('Bspline con endpoint interpolation, algoritmo normale')
88 |   // C = Bspline_deboor(b,[0,0,0,1,1,1,2,2,2,3,3,3],[0:0.01:3]);
89 | end
90 |
91 | bclosed=b
92 | for i=1:k-1
93 |   bclosed=[bclosed , bclosed(:, i)]
94 | end
```

```

95
96 Tclosed = [0:1:(k+size(bclosed,2)-1)];
97 Cclosed = Bspline_deboor(k,Tclosed,bclosed,[k-1:0.01:size(bclosed,2)]);
98
99 if fig_closed then
100 scf(gcf);gcount=gcount+1;
101 plot(bclosed(1,:),bclosed(2,:),'ro-');
102 handler=get("current_axes");
103 handler.isoview="on";handler.grid=[12,12];
104 plot(Cclosed(1,:),Cclosed(2,:),'b-');
105 handler=get("current_axes");
106 handler.isoview="on";handler.grid=[12,12];
107 xtitle('Bspline chiusa')
108 // C = Bspline_deboor(b,[0,0,0,1,1,1,2,2,2,3,3,3],3,[0:0.01:3]);
109 end
110
111 nb=b; nT=T;
112 for i=1:length(T)-1
113     if T(i)~=(i+1) then
114         [nb,nT] = Bspline_knotins(k,nT,nb,((T(i)+T(i+1))/2));
115     end
116 end
117
118 Cknotins = Bspline_deboor(k,nT,nb,[nT(1):0.01:nT(length(nT))]);
119
120 if fig_knotins then
121 scf(gcf);gcount=gcount+1;
122 plot(b(1,:),b(2,:),'ro-');
123 handler=get("current_axes");
124 handler.isoview="on";handler.grid=[12,12];
125 plot(Cep(1,:),Cep(2,:),'b-');
126 handler=get("current_axes");
127 handler.isoview="on";handler.grid=[12,12];
128 plot(nb(1,:),nb(2,:),'go-');
129 handler=get("current_axes");
130 handler.isoview="on";handler.grid=[12,12];
131 plot(Cknotins(1,:),Cknotins(2,:),'c--');
132 handler=get("current_axes");
133 handler.isoview="on";handler.grid=[12,12];
134 xtitle('Bspline knot insertion')
135 end
136
137
138 beta1 = ones(np,1)'
139 beta2 = ones(np,1)'*np
140
141 beta1(floor(np/2))=beta1(floor(np/2))+np-1
142 beta2(floor(np/2))=beta2(floor(np/2))-np+1
143
144 Crat1 = Bspline_rational(k,T,b,beta1,[T(1):0.01:T(length(T))]);
145 Crat2 = Bspline_rational(k,T,b,beta2,[T(1):0.01:T(length(T))]);
146
147 if fig_rat then
148 scf(gcf);gcount=gcount+1;
149 plot(b(1,:),b(2,:),'ro-');
150 handler=get("current_axes");
151 handler.isoview="on";handler.grid=[12,12];
152 plot(Cep(1,:),Cep(2,:),'b-');
153 handler=get("current_axes");
154 handler.isoview="on";handler.grid=[12,12];
155 plot(Crat1(1,:),Crat1(2,:),'c-');
156 handler=get("current_axes");
157 handler.isoview="on";handler.grid=[12,12];
158 plot(Crat2(1,:),Crat2(2,:),'g-');
159 handler=get("current_axes");

```

## Codici

---

```
160 handler.isoview="on"; handler.grid=[12,12];
161 end
162
163 Tcirc = [0,0,0,1/4,1/4,1/2,1/2,3/4,3/4,1,1,1];
164 betacirc = [sqrt(2),1,sqrt(2),1,sqrt(2),1,sqrt(2)];
165 bcirc = [[1;0],[1;1],[0;1],[-1;1],[-1;0],[-1;-1],[0;-1],[1;-1],[1;0]];
166 Circ = Bspline_rational(3,Tcirc,bcirc,betacirc,[0:0.01:1]);
167
168 if fig_circ then
169 scf(gcf);gcount=gcount+1;
170 plot(bcirc(1,:),bcirc(2,:),'ro-');
171 plot(bcirc(1,:)*1.2,bcirc(2,:)*-2,'--');
172 handler=get("current_axes");
173 handler.isoview="on";handler.grid=[12,12];
174 plot(Circ(1,:),Circ(2,:),'b');
175 handler=get("current_axes");
176 handler.isoview="on";handler.grid=[12,12];
177 end
```

Disegno della base delle bspline

```
1 function base = Bspline_plot_base(k,T,t)
2 lt = length(t)
3 IT = length(T)
4
5 base = []
6 for p=1:lt
7     for i=1:IT-k
8         base(1,p,i) = t(p)
9         base(2,p,i) = Bspline_base(i,k,T,t(p))
10    end
11 end
12
13 for i=1:IT-k
14 plot(base(1,:,:i),base(2,:,:i),'Color',[((i/(IT-k)),0.5,(i/(IT-k))]))
15 end
16 plot(base(1,:,:1),(sum(base(2,:,:3)), 'r')
17 plot(0,1.1)
18 handler=get("current_axes");
19 handler.isoview="off";handler.grid=[12,12];
20 endfunction
```

## A.4 Interpolazione: esempi del testo

Listing:

```
1 exec glib.sci;
2 gcount=1;
3
4 fig_param=1
5 fig_fmill=1
6 fig_bessel=1
7 // fig_fmill vs bessel=1
8 fig_c2_nat=1
9 fig_c2_nat_hodo=1
10 fig_c2_nak=1
11 fig_c2_nak_hodo=1
12 fig_c2_periodic=1
13 fig_c2_periodic_hodo=1
```

```

14 fig_c2_3d=1
15 fig_c2_nu_nat=1
16 fig_c2_nu_closed=1
17
18 b = mouse_input_2d(input('Numero di punti? '));
19 [d,np]=size(b);
20
21 // w = [(b(:,2:np)-b(:,1:np-1))]
22 w=ones(d,np)
23 C_unif = Interp_c1(b,w,l_par_unif(b),500);
24 C_cl = Interp_c1(b,w,l_par_cl(b),500);
25 C_ce = Interp_c1(b,w,l_par_centrip(b),500);
26
27 if fig_param then
28 scf(gcf);gcount=gcount+1;
29 subplot(2,2,1)
30 plot(b(1,:),b(2,:),'ro-');
31 handler=get("current_axes");
32 handler.isoview="on";handler.grid=[12,12];
33 plot(C_unif(1,:),C_unif(2,:),'b-');
34 handler=get("current_axes");
35 handler.isoview="on";handler.grid=[12,12];
36 xtitle('Parametrizzazione uniforme')
37 subplot(2,2,2)
38 plot(b(1,:),b(2,:),'ro-');
39 handler=get("current_axes");
40 handler.isoview="on";handler.grid=[12,12];
41 plot(C_cl(1,:),C_cl(2,:),'c-');
42 handler=get("current_axes");
43 handler.isoview="on";handler.grid=[12,12];
44 xtitle('Parametrizzazione chord length')
45 subplot(2,2,3)
46 plot(b(1,:),b(2,:),'ro-');
47 handler=get("current_axes");
48 handler.isoview="on";handler.grid=[12,12];
49 plot(C_ce(1,:),C_ce(2,:),'m-');
50 handler=get("current_axes");
51 handler.isoview="on";handler.grid=[12,12];
52 xtitle('Parametrizzazione centripeta')
53 subplot(2,2,4)
54 plot(b(1,:),b(2,:),'ro-');
55 handler=get("current_axes");
56 handler.isoview="on";handler.grid=[12,12];
57 plot(C_unif(1,:),C_unif(2,:),'b-');
58 plot(C_cl(1,:),C_cl(2,:),'c-');
59 plot(C_ce(1,:),C_ce(2,:),'m-');
60 handler=get("current_axes");
61 handler.isoview="on";handler.grid=[12,12];
62 xtitle('Parametrizzazioni a confronto')
63 end
64
65 C_unif_fmill = Interp_c1(b, l_tang_fmill(b,l_par_unif(b)),l_par_unif(b),500);
66 C_cl_fmill = Interp_c1(b, l_tang_fmill(b,l_par_cl(b)),l_par_cl(b),500);
67 C_ce_fmill = Interp_c1(b, l_tang_fmill(b,l_par_centrip(b)),l_par_centrip(b),500);
68 if fig_fmill then
69 scf(gcf);gcount=gcount+1;
70 xtitle('fmill')
71 subplot(2,2,1)
72 plot(b(1,:),b(2,:),'ro-');
73 handler=get("current_axes");
74 handler.isoview="on";handler.grid=[12,12];
75 plot(C_unif_fmill(1,:),C_unif_fmill(2,:),'b-');
76 handler=get("current_axes");
77 handler.isoview="on";handler.grid=[12,12];
78 xtitle('Parametrizzazione uniforme')

```

## Codici

---

```
79 subplot(2,2,2)
80 plot(b(1,:),b(2,:),'ro-');
81 handler=get("current_axes");
82 handler.isoview="on";handler.grid=[12,12];
83 plot(C_cl_fmill(1,:),C_cl_fmill(2,:),'c-');
84 handler=get("current_axes");
85 handler.isoview="on";handler.grid=[12,12];
86 xtitle('Parametrizzazione chord length')
87 subplot(2,2,3)
88 plot(b(1,:).b(2,:),'ro-');
89 handler=get("current_axes");
90 handler.isoview="on";handler.grid=[12,12];
91 plot(C_ce_fmill(1,:),C_ce_fmill(2,:),'m-');
92 handler=get("current_axes");
93 handler.isoview="on";handler.grid=[12,12];
94 xtitle('Parametrizzazione centripeta')
95 subplot(2,2,4)
96 plot(b(1,:).b(2,:),'ro-');
97 handler=get("current_axes");
98 handler.isoview="on";handler.grid=[12,12];
99 plot(C_unif_fmill(1,:),C_unif_fmill(2,:),'b-');
100 plot(C_cl_fmill(1,:),C_cl_fmill(2,:),'c-');
101 plot(C_ce_fmill(1,:),C_ce_fmill(2,:),'m-');
102 handler=get("current_axes");
103 handler.isoview="on";handler.grid=[12,12];
104 xtitle('Parametrizzazioni a confronto')
105 end
106
107 C_unif_bessel = Interp_c1(b, l_tang_bessel(b,l_par_unif(b)),l_par_unif(b),500);
108 C_cl_bessel = Interp_c1(b, l_tang_bessel(b,l_par_cl(b)),l_par_cl(b),500);
109 C_ce_bessel = Interp_c1(b, l_tang_bessel(b,l_par_centrip(b)),l_par_centrip(b),500);
110 if fig_bessel then
111 scf(gcf);gcount=gcount+1;
112 xtitle('bessel')
113 subplot(2,2,1)
114 plot(b(1,:),b(2,:),'ro-');
115 handler=get("current_axes");
116 handler.isoview="on";handler.grid=[12,12];
117 plot(C_unif_bessel(1,:),C_unif_bessel(2,:),'b-');
118 handler=get("current_axes");
119 handler.isoview="on";handler.grid=[12,12];
120 xtitle('Parametrizzazione uniforme')
121 subplot(2,2,2)
122 plot(b(1,:).b(2,:),'ro-');
123 handler=get("current_axes");
124 handler.isoview="on";handler.grid=[12,12];
125 plot(C_cl_bessel(1,:),C_cl_bessel(2,:),'c-');
126 handler=get("current_axes");
127 handler.isoview="on";handler.grid=[12,12];
128 xtitle('Parametrizzazione chord length')
129 subplot(2,2,3)
130 plot(b(1,:).b(2,:),'ro-');
131 handler=get("current_axes");
132 handler.isoview="on";handler.grid=[12,12];
133 plot(C_ce_bessel(1,:),C_ce_bessel(2,:),'m-');
134 handler=get("current_axes");
135 handler.isoview="on";handler.grid=[12,12];
136 xtitle('Parametrizzazione centripeta')
137 subplot(2,2,4)
138 plot(b(1,:).b(2,:),'ro-');
139 handler=get("current_axes");
140 handler.isoview="on";handler.grid=[12,12];
141 plot(C_unif_bessel(1,:),C_unif_bessel(2,:),'b-');
142 plot(C_cl_bessel(1,:),C_cl_bessel(2,:),'c-');
143 plot(C_ce_bessel(1,:),C_ce_bessel(2,:),'m-');
```

```

144 handler=get("current_axes");
145 handler.isoview="on"; handler.grid=[12,12];
146 xtitle('Parametrizzazioni a confronto')
147 end
148
149 [ $C_{\text{unif\_c2\_nat}}$ ,  $h1_{\text{c2\_nat}}$ ,  $h2_{\text{c2\_nat}}$ ] = Interp_c1(b,  $I_{\text{tang\_c2\_nat}}$ (b,  $I_{\text{par\_unif}}$ (b)),
150  $I_{\text{par\_unif}}$ (b,500);
151 [ $C_{\text{cl\_c2\_nat}}$ ,  $h1_{\text{c2\_cl}}$ ,  $h2_{\text{c2\_cl}}$ ] = Interp_c1(b,  $I_{\text{tang\_c2\_nat}}$ (b,  $I_{\text{par\_cl}}$ (b)),  $I_{\text{par\_cl}}$ (b)
152 ,500);
153 [ $C_{\text{ce\_c2\_nat}}$ ,  $h1_{\text{c2\_ce}}$ ,  $h2_{\text{c2\_ce}}$ ] = Interp_c1(b,  $I_{\text{tang\_c2\_nat}}$ (b,  $I_{\text{par\_centrip}}$ (b)),
154  $I_{\text{par\_centrip}}$ (b,500);
155 if fig_c2_nat then
156 scf(gcount); gcount=gcount+1;
157 xtitle('c2_nat')
158 subplot(2,2,1)
159 plot(b(1,:),b(2,:),'ro-');
160 handler=get("current_axes");
161 handler.isoview="on"; handler.grid=[12,12];
162 plot( $C_{\text{unif\_c2\_nat}}$ (1,:), $C_{\text{unif\_c2\_nat}}$ (2,:),'b-');
163 handler=get("current_axes");
164 handler.isoview="on"; handler.grid=[12,12];
165 xtitle('Parametrizzazione uniforme / natural spline')
166 subplot(2,2,2)
167 plot(b(1,:),b(2,:),'ro-');
168 handler=get("current_axes");
169 handler.isoview="on"; handler.grid=[12,12];
170 xtitle('Parametrizzazione chord length')
171 subplot(2,2,3)
172 plot(b(1,:),b(2,:),'ro-');
173 handler=get("current_axes");
174 handler.isoview="on"; handler.grid=[12,12];
175 plot( $C_{\text{cl\_c2\_nat}}$ (1,:), $C_{\text{cl\_c2\_nat}}$ (2,:),'c-');
176 handler=get("current_axes");
177 handler.isoview="on"; handler.grid=[12,12];
178 xtitle('Parametrizzazione centripeta')
179 subplot(2,2,4)
180 plot(b(1,:),b(2,:),'ro-');
181 handler=get("current_axes");
182 handler.isoview="on"; handler.grid=[12,12];
183 plot( $C_{\text{unif\_c2\_nat}}$ (1,:), $C_{\text{unif\_c2\_nat}}$ (2,:),'b-');
184 plot( $C_{\text{cl\_c2\_nat}}$ (1,:), $C_{\text{cl\_c2\_nat}}$ (2,:),'c-');
185 plot( $C_{\text{ce\_c2\_nat}}$ (1,:), $C_{\text{ce\_c2\_nat}}$ (2,:),'m-');
186 handler=get("current_axes");
187 handler.isoview="on"; handler.grid=[12,12];
188 xtitle('Parametrizzazioni a confronto')
189 end
190
191 if fig_c2_nat_hodo then
192 scf(gcount); gcount=gcount+1;
193 xtitle('c2_nat')
194 subplot(2,3,1)
195 plot( $h1_{\text{c2\_nat}}$ (1,:), $h1_{\text{c2\_nat}}$ (2,:),'b-');
196 handler=get("current_axes");
197 handler.grid=[12,12];
198 xtitle('Parametrizzazione uniforme / natural spline , hodograph 1')
199 subplot(2,3,2)
200 plot( $h1_{\text{c2\_cl}}$ (1,:), $h1_{\text{c2\_cl}}$ (2,:),'c-');
201 handler=get("current_axes");
202 handler.grid=[12,12];
203 xtitle('Parametrizzazione chord length , hodograph 1')
204 subplot(2,3,3)
205 plot( $h1_{\text{c2\_ce}}$ (1,:), $h1_{\text{c2\_ce}}$ (2,:),'m-');

```

## Codici

---

```
206 handler=get("current_axes");
207 handler.grid=[12,12];
208 xtitle('Parametrizzazione centripeta , hodograoh 1')
209 subplot(2,3,4)
210 plot(h2_c2_nat(1,:),h2_c2_nat(2,:),'b-');
211 handler=get("current_axes");
212 handler.grid=[12,12];
213 xtitle('Parametrizzazione uniforme , hodograph 2')
214 subplot(2,3,5)
215 plot(h2_c2_cl(1,:),h2_c2_cl(2,:),'c-');
216 handler=get("current_axes");
217 handler.grid=[12,12];
218 xtitle('Parametrizzazione chord length , hodograph 2')
219 subplot(2,3,6)
220 plot(h2_c2_ce(1,:),h2_c2_ce(2,:),'m-');
221 handler=get("current_axes");
222 handler.grid=[12,12];
223 xtitle('Parametrizzazione centripeta , hodograph 2')
224 end
225
226
227 [ C_unif_c2_nak , h1_c2_nak , h2_c2_nak ] = Interp_c1(b, I_tang_c2_nak(b,I_par_unif(b)),
228 I_par_unif(b,500);
229 [ C_cl_c2_nak , h1_c2_cl , h2_c2_cl ] = Interp_c1(b, I_tang_c2_nak(b,I_par_cl(b)),I_par_cl(b)
230 ,500);
231 [ C_ce_c2_nak , h1_c2_ce , h2_c2_ce ] = Interp_c1(b, I_tang_c2_nak(b,I_par_centrip(b)),
232 I_par_centrip(b,500);
233 if fig_c2_nak then
234 scf(gcount);gcount=gcount+1;
235 xtitle('c2.nak')
236 subplot(2,2,1)
237 plot(b(1,:),b(2,:),'ro-');
238 handler=get("current_axes");
239 handler.isoview="on";handler.grid=[12,12];
240 plot(C_unif_c2_nak(1,:),C_unif_c2_nak(2,:),'b-');
241 handler=get("current_axes");
242 handler.isoview="on";handler.grid=[12,12];
243 xtitle('Parametrizzazione uniforme / not-a-knot')
244 subplot(2,2,2)
245 plot(b(1,:),b(2,:),'ro-');
246 handler=get("current_axes");
247 handler.isoview="on";handler.grid=[12,12];
248 plot(C_cl_c2_nak(1,:),C_cl_c2_nak(2,:),'c-');
249 handler=get("current_axes");
250 handler.isoview="on";handler.grid=[12,12];
251 plot(C_ce_c2_nak(1,:),C_ce_c2_nak(2,:),'m-');
252 handler=get("current_axes");
253 handler.isoview="on";handler.grid=[12,12];
254 xtitle('Parametrizzazione chord length')
255 subplot(2,2,3)
256 plot(b(1,:),b(2,:),'ro-');
257 handler=get("current_axes");
258 handler.isoview="on";handler.grid=[12,12];
259 plot(C_unif_c2_nak(1,:),C_unif_c2_nak(2,:),'b-');
260 plot(C_cl_c2_nak(1,:),C_cl_c2_nak(2,:),'c-');
261 plot(C_ce_c2_nak(1,:),C_ce_c2_nak(2,:),'m-');
262 handler=get("current_axes");
263 handler.isoview="on";handler.grid=[12,12];
264 xtitle('Parametrizzazioni a confronto')
265 end
```

```

268
269 if fig_c2_nak_hodo then
270 scf(gcf); gcount=gcount+1;
271 xtitle('c2_nak')
272 subplot(2,3,1)
273 plot(h1_c2_nak(1,:),h1_c2_nak(2,:),'b-');
274 handler=get("current_axes");
275 handler.grid=[12,12];
276 xtitle('Parametrizzazione uniforme /not-a-knot, hodograph 1')
277 subplot(2,3,2)
278 plot(h1_c2_cl(1,:),h1_c2_cl(2,:),'c-');
279 handler=get("current_axes");
280 handler.grid=[12,12];
281 xtitle('Parametrizzazione chord length, hodograph 1')
282 subplot(2,3,3)
283 plot(h1_c2_ce(1,:),h1_c2_ce(2,:),'m-');
284 handler=get("current_axes");
285 handler.grid=[12,12];
286 xtitle('Parametrizzazione centripeta, hodograph 1')
287 subplot(2,3,4)
288 plot(h2_c2_nak(1,:),h2_c2_nak(2,:),'b-');
289 handler=get("current_axes");
290 handler.grid=[12,12];
291 xtitle('Parametrizzazione uniforme, hodograph 2')
292 subplot(2,3,5)
293 plot(h2_c2_cl(1,:),h2_c2_cl(2,:),'c-');
294 handler=get("current_axes");
295 handler.grid=[12,12];
296 xtitle('Parametrizzazione chord length, hodograph 2')
297 subplot(2,3,6)
298 plot(h2_c2_ce(1,:),h2_c2_ce(2,:),'m-');
299 handler=get("current_axes");
300 handler.grid=[12,12];
301 xtitle('Parametrizzazione centripeta, hodograph 2')
302 end
303
304 [C_unif_c2_periodic,h1_c2_periodic,h2_c2_periodic] = Interp_c1(b, l_tang_c2_periodic(b,
305 l_par_unif(b)),l_par_unif(b),500);
306 [C_cl_c2_periodic,h1_c2_cl,h2_c2_cl] = Interp_c1(b, l_tang_c2_periodic(b,l_par_cl(b)),
307 l_par_cl(b),500);
308 [C_ce_c2_periodic,h1_c2_ce,h2_c2_ce] = Interp_c1(b, l_tang_c2_periodic(b,l_par_centrip(b))
309 ,l_par_centrip(b),500);
310 if fig_c2_periodic then
311 scf(gcf); gcount=gcount+1;
312 xtitle('c2_periodic')
313 subplot(2,2,1)
314 plot(b(1,:),b(2,:),'ro-');
315 handler=get("current_axes");
316 handler.isoview="on"; handler.grid=[12,12];
317 plot(C_unif_c2_periodic(1,:),C_unif_c2_periodic(2,:),'b-');
318 plot(C_unif_c2_periodic(1,:)+(b(1,np)-b(1,1)),C_unif_c2_periodic(2,:)+(b(2,np)-b(2,1)),'c-');
319 plot(C_unif_c2_periodic(1,:)-(b(1,np)-b(1,1)),C_unif_c2_periodic(2,:)-(b(2,np)-b(2,1)),'c-');
320 handler=get("current_axes");
321 handler.isoview="on"; handler.grid=[12,12];
322 xtitle('Parametrizzazione uniforme / periodica')
323 subplot(2,2,2)
324 plot(b(1,:),b(2,:),'ro-');
325 handler=get("current_axes");
326 handler.isoview="on"; handler.grid=[12,12];
327 plot(C_cl_c2_periodic(1,:),C_cl_c2_periodic(2,:),'c-');
328 plot(C_cl_c2_periodic(1,:)+(b(1,np)-b(1,1)),C_cl_c2_periodic(2,:)+(b(2,np)-b(2,1)),'g-');
329 plot(C_cl_c2_periodic(1,:)-(b(1,np)-b(1,1)),C_cl_c2_periodic(2,:)-(b(2,np)-b(2,1)),'g-');
330 handler=get("current_axes");

```

## Codici

---

```
328 | handler.isoview="on"; handler.grid=[12,12];
329 | xtitle('Parametrizzazione chord length')
330 | subplot(2,2,3)
331 | plot(b(1,:),b(2,:),'ro-');
332 | handler=get("current_axes");
333 | handler.isoview="on"; handler.grid=[12,12];
334 | plot(C_ce_c2_periodic(1,:),C_ce_c2_periodic(2,:),'m-');
335 | plot(C_ce_c2_periodic(1,:)+(b(1,np)-b(1,1)),C_ce_c2_periodic(2,:)+(b(2,np)-b(2,1)),'c-');
336 | plot(C_ce_c2_periodic(1,:)-(b(1,np)-b(1,1)),C_ce_c2_periodic(2,:)-(b(2,np)-b(2,1)),'c-');
337 | handler=get("current_axes");
338 | handler.isoview="on"; handler.grid=[12,12];
339 | xtitle('Parametrizzazione centripeta')
340 | subplot(2,2,4)
341 | plot(b(1,:),b(2,:),'ro-');
342 | handler=get("current_axes");
343 | handler.isoview="on"; handler.grid=[12,12];
344 | plot(C_unif_c2_periodic(1,:),C_unif_c2_periodic(2,:),'b-');
345 | plot(C_cl_c2_periodic(1,:),C_cl_c2_periodic(2,:),'c-');
346 | plot(C_ce_c2_periodic(1,:),C_ce_c2_periodic(2,:),'m-');
347 | handler=get("current_axes");
348 | handler.isoview="on"; handler.grid=[12,12];
349 | xtitle('Parametrizzazioni a confronto')
350 end
351
352 if fig_c2_hodo then
353 scf(gcf); gcount=gcount+1;
354 xtitle('c2_periodic')
355 subplot(2,3,1)
356 plot(h1_c2_periodic(1,:),h1_c2_periodic(2,:),'b-');
357 handler=get("current_axes");
358 handler.grid=[12,12];
359 xtitle('Parametrizzazione uniforme /not-a-knot, hodograph 1')
360 subplot(2,3,2)
361 plot(h1_c2_cl(1,:),h1_c2_cl(2,:),'c-');
362 handler=get("current_axes");
363 handler.grid=[12,12];
364 xtitle('Parametrizzazione chord length, hodograph 1')
365 subplot(2,3,3)
366 plot(h1_c2_ce(1,:),h1_c2_ce(2,:),'m-');
367 handler=get("current_axes");
368 handler.grid=[12,12];
369 xtitle('Parametrizzazione centripeta, hodograph 1')
370 subplot(2,3,4)
371 plot(h2_c2_periodic(1,:),h2_c2_periodic(2,:),'b-');
372 handler=get("current_axes");
373 handler.grid=[12,12];
374 xtitle('Parametrizzazione uniforme, hodograph 2')
375 subplot(2,3,5)
376 plot(h2_c2_cl(1,:),h2_c2_cl(2,:),'c-');
377 handler=get("current_axes");
378 handler.grid=[12,12];
379 xtitle('Parametrizzazione chord length, hodograph 2')
380 subplot(2,3,6)
381 plot(h2_c2_ce(1,:),h2_c2_ce(2,:),'m-');
382 handler=get("current_axes");
383 handler.grid=[12,12];
384 xtitle('Parametrizzazione centripeta, hodograph 2')
385 end
386
387
388 z = [0:(1/np):1];
389 b3d = [b;z(1:np)];
390 [C_unif_c2_3d_3d_nat,h1_c2_nat,h2_c2_nat] = Interp_c1(b3d, l_tang_c2_nat(b3d, l_par_unif(
    b3d)),l_par_unif(b3d),500);
```

```

391 [ C_unif_c2_3d_nak , h1_c2_nak , h2_c2_nak ] = Interp_c1(b3d , l_tang_c2_nak(b3d , l_par_unif(b3d)) ,
392 , l_par_unif(b3d) ,500);
393 [ C_unif_c2_3d_periodic , h1_c2_periodic , h2_c2_periodic ] = Interp_c1(b3d , l_tang_c2_periodic(
394 b3d , l_par_unif(b3d)) ,l_par_unif(b3d) ,500);
395
396 if fig_c2_3d then
397 scf(gcf);gcount=gcount+1;
398 param3d(b3d(1,:),b3d(2,:),b3d(3,:),20,-20);
399 handler = gce();
400 handler.foreground=color('red') //red
401 handler.mark_mode='on' //enable marks
402 handler.mark_size=1
403 handler.mark_foreground=color('red') //red marks
404 handler.mark_style=1 //cross
405 param3d(C_unif_c2_3d_3d_nat(1,:),C_unif_c2_3d_3d_nat(2,:),C_unif_c2_3d_3d_nat(3,:),20,-20)
406 ;
407 handler = gce();
408 handler.foreground=color('blue') //blue
409 handler=get("current_axes");
410 handler.isoview="on";handler.grid=[12,12];
411 xtitle('3d spline naturale');
412
413 scf(gcf);gcount=gcount+1;
414 param3d(b3d(1,:),b3d(2,:),b3d(3,:),20,-20);
415 handler = gce();
416 handler.foreground=color('red') //red
417 handler.mark_mode='on' //enable marks
418 handler.mark_size=1
419 handler.mark_foreground=color('red') //red marks
420 handler.mark_style=1 //cross
421 param3d(C_unif_c2_3d_nak(1,:),C_unif_c2_3d_nak(2,:),C_unif_c2_3d_nak(3,:),20,-20);
422 handler = gce();
423 handler.foreground=color('blue') //blue
424 handler=get("current_axes");
425 handler.isoview="on";handler.grid=[12,12];
426 xtitle('3d spline not a knot');
427
428 scf(gcf);gcount=gcount+1;
429 param3d(b3d(1,:),b3d(2,:),b3d(3,:),20,-20);
430 handler = gce();
431 handler.foreground=color('red') //red
432 handler.mark_mode='on' //enable marks
433 handler.mark_size=1
434 handler.mark_foreground=color('red') //red marks
435 handler.mark_style=1 //cross
436 param3d(C_unif_c2_3d_periodic(1,:),C_unif_c2_3d_periodic(2,:),C_unif_c2_3d_periodic(3,:),
437 ,20,-20);
438 handler = gce();
439 handler.foreground=color('blue') //blue
440 handler=get("current_axes");
441 handler.isoview="on";handler.grid=[12,12];
442 param3d(C_unif_c2_3d_periodic(1,:)+(b3d(1,np)-b3d(1,1)),C_unif_c2_3d_periodic(2,:)+(b3d(2,
443 np)-b3d(2,1)),C_unif_c2_3d_periodic(3,:)+(b3d(3,np)-b3d(3,1)),20,-20);
444 handler = gce();
445 handler.foreground=color('blue') //blue
446 handler=get("current_axes");
447 handler.isoview="on";handler.grid=[12,12];
448 xtitle('3d spline periodica');
449 end

```

## Codici

---

```
450
451 nu=[];
452 nu1=[];
453 nu2=[];
454 for i=1:np
455 nu(i)=0;
456 nu1(i)=20;
457 nu2(i)=200;
458 end
459 bclosed = [b,b(:,1)]
460
461 [C_unif_c2_nat,h1_c2_nat,h2_c2_nat] = Interp_c1(b, l_tang_nu_nat(b,l_par_unif(b),nu),
462 l_par_unif(b),500);
462 [C_unif_c2_nat1,h1_c2_nat,h2_c2_nat1] = Interp_c1(b, l_tang_nu_nat(b,l_par_unif(b),nu1),
463 l_par_unif(b),500);
463 [C_unif_c2_nat2,h1_c2_nat,h2_c2_nat2] = Interp_c1(b, l_tang_nu_nat(b,l_par_unif(b),nu2),
464 l_par_unif(b),500);
464 if fig_c2_nu_nat then
465 scf(gcf);gcount=gcount+1;
466 xtitle('c2.nat')
467 subplot(2,2,1)
468 plot(b(1,:),b(2,:),'ro-');
469 handler=get("current_axes");
470 handler.isoview="on";handler.grid=[12,12];
471 plot(C_unif_c2_nat(1,:),C_unif_c2_nat(2,:),'b-');
472 handler=get("current_axes");
473 handler.isoview="on";handler.grid=[12,12];
474 xtitle('Parametrizzazione uniforme / natural nu spline / nu(i)=0')
475 subplot(2,2,2)
476 plot(b(1,:),b(2,:),'ro-');
477 handler=get("current_axes");
478 handler.isoview="on";handler.grid=[12,12];
479 plot(C_unif_c2_nat1(1,:),C_unif_c2_nat1(2,:),'c-');
480 handler=get("current_axes");
481 handler.isoview="on";handler.grid=[12,12];
482 xtitle('nu(i)=20')
483 subplot(2,2,3)
484 plot(b(1,:),b(2,:),'ro-');
485 handler=get("current_axes");
486 handler.isoview="on";handler.grid=[12,12];
487 plot(C_unif_c2_nat2(1,:),C_unif_c2_nat2(2,:),'m-');
488 handler=get("current_axes");
489 handler.isoview="on";handler.grid=[12,12];
490 xtitle('nu(i)=200')
491 subplot(2,2,4)
492 plot(b(1,:),b(2,:),'ro-');
493 handler=get("current_axes");
494 handler.isoview="on";handler.grid=[12,12];
495 plot(C_unif_c2_nat(1,:),C_unif_c2_nat(2,:),'b-');
496 plot(C_unif_c2_nat1(1,:),C_unif_c2_nat1(2,:),'c-');
497 plot(C_unif_c2_nat2(1,:),C_unif_c2_nat2(2,:),'m-');
498 handler=get("current_axes");
499 handler.isoview="on";handler.grid=[12,12];
500 xtitle('Distribuzioni a confronto')
501 end
502
503
504
505
506 nu=[];
507 nu1=[];
508 nu2=[];
509 for i=1:np
510 nu(i)=0;
511 nu1(i)=20;
```

```

512 | nu2(i)=200;
513 | end
514 | [C_unif_c2_nat,h1_c2_nat,h2_c2_nat] = Interp_c1(bclosed, l_tang_nu_closed(bclosed,
515 | l_par_unif(bclosed),nu),l_par_unif(bclosed),500);
516 | [C_unif_c2_nat1,h1_c2_nat,h2_c2_nat1] = Interp_c1(bclosed, l_tang_nu_closed(bclosed,
517 | l_par_unif(bclosed),nu1),l_par_unif(bclosed),500);
518 | [C_unif_c2_nat2,h1_c2_nat,h2_c2_nat2] = Interp_c1(bclosed, l_tang_nu_closed(bclosed,
519 | l_par_unif(bclosed),nu2),l_par_unif(bclosed),500);
520 | if fig_c2_nu_closed then
521 | scf(gcf);gcount=gcount+1;
522 | xtitle('c2.nat')
523 | subplot(2,2,1)
524 | plot(bclosed(1,:),bclosed(2,:),'ro-');
525 | handler=get("current_axes");
526 | handler.isoview="on";handler.grid=[12,12];
527 | plot(C_unif_c2_nat(1,:),C_unif_c2_nat(2,:),'b-');
528 | handler.isoview="on";handler.grid=[12,12];
529 | xtitle('Parametrizzazione uniforme / natural nu spline / nu(i)=0')
530 | subplot(2,2,2)
531 | plot(bclosed(1,:),bclosed(2,:),'ro-');
532 | handler=get("current_axes");
533 | handler.isoview="on";handler.grid=[12,12];
534 | plot(C_unif_c2_nat1(1,:),C_unif_c2_nat1(2,:),'c-');
535 | handler.isoview="on";handler.grid=[12,12];
536 | xtitle('nu(i)=20')
537 | subplot(2,2,3)
538 | plot(bclosed(1,:),bclosed(2,:),'ro-');
539 | handler=get("current_axes");
540 | handler.isoview="on";handler.grid=[12,12];
541 | plot(C_unif_c2_nat2(1,:),C_unif_c2_nat2(2,:),'m-');
542 | handler.get("current_axes");
543 | handler.isoview="on";handler.grid=[12,12];
544 | xtitle('nu(i)=200')
545 | subplot(2,2,4)
546 | plot(bclosed(1,:),bclosed(2,:),'ro-');
547 | handler.get("current_axes");
548 | handler.isoview="on";handler.grid=[12,12];
549 | plot(C_unif_c2_nat(1,:),C_unif_c2_nat(2,:),'b-');
550 | plot(C_unif_c2_nat1(1,:),C_unif_c2_nat1(2,:),'c-');
551 | plot(C_unif_c2_nat2(1,:),C_unif_c2_nat2(2,:),'m-');
552 | handler.get("current_axes");
553 | handler.isoview="on";handler.grid=[12,12];
554 | xtitle('Distribuzioni a confronto')
555 | end

```

## A.5 Superfici parametriche: esempi dal testo

Listing:

```

1 exec glib.sci;
2 gcount=1;
3
4 fig_sphere=0
5 fig_cone=0
6 get_input=0
7 fig_rot=0
8 fig_rig=0
9 fig_bez=0

```

## Codici

---

```
10 | fig_degelev=0
11 | fig_subdiv=0
12 | fig_subdiv2=0
13 | fig_cast_tri=0
14 | fig_tri_degelev=1
15 |
16 |
17 | Sx1 = [];
18 | Sy1 = [];
19 | Sz1 = [];
20 | for v=0:%pi/12:2*%pi
21 |   for u=-%pi/2:%pi/36:%pi/2
22 |     Sx1 = [Sx1, cos(u)*cos(v)];
23 |     Sy1 = [Sy1, cos(u)*sin(v)];
24 |     Sz1 = [Sz1, sin(u)];
25 |   end
26 | end
27 |
28 | Sx2 = [];
29 | Sy2 = [];
30 | Sz2 = [];
31 | for u=-%pi/2:%pi/12:%pi/2
32 |   for v=0:%pi/36:2*%pi
33 |     Sx2 = [Sx2, cos(u)*cos(v)];
34 |     Sy2 = [Sy2, cos(u)*sin(v)];
35 |     Sz2 = [Sz2, sin(u)];
36 |   end
37 | end
38 |
39 | if fig_sphere then
40 | scf(gcf); gcount=gcount+1;
41 | param3d1(Sx1,Sy1,Sz1);
42 | handler = gce();
43 | // handler.foreground=color('red') //red
44 | handler.line_mode='off'
45 | handler.mark_mode='on' //enable marks
46 | // handler.mark_size=1
47 | handler.mark_foreground=color('blue') //red marks
48 | handler.mark_style=0 //dot
49 | handler.mark_size=0
50 | handler=get("current_axes");
51 | handler.isoview="on"; handler.grid=[12,12];
52 | scf(gcf); gcount=gcount+1;
53 | param3d1(Sx2,Sy2,Sz2);
54 | handler = gce();
55 | // handler.foreground=color('red') //red
56 | handler.line_mode='off'
57 | handler.mark_mode='on' //enable marks
58 | // handler.mark_size=1
59 | handler.mark_foreground=color('blue') //red marks
60 | handler.mark_style=0 //dot
61 | handler.mark_size=0
62 | handler=get("current_axes");
63 | handler.isoview="on"; handler.grid=[12,12];
64 | scf(gcf); gcount=gcount+1;
65 | param3d1(Sx2,Sy2,Sz2);
66 | handler = gce();
67 | // handler.foreground=color('red') //red
68 | handler.line_mode='off'
69 | handler.mark_mode='on' //enable marks
70 | // handler.mark_size=1
71 | handler.mark_foreground=color('blue') //red marks
72 | handler.mark_style=0 //dot
73 | handler.mark_size=0
74 | handler=get("current_axes");
```

```

75  handler.isoview="on"; handler.grid=[12,12];
76  param3d1(Sx1,Sy1,Sz1);
77  handler=gce();
78 // handler.foreground=color('red') //red
79  handler.line_mode='off'
80  handler.mark_mode='on' //enable marks
81 // handler.mark_size=1
82  handler.mark_foreground=color('blue') //red marks
83  handler.mark_style=0 //dot
84  handler.mark_size=0
85  handler=get("current_axes");
86  handler.isoview="on"; handler.grid=[12,12];
87 scf(gcf);gcount=gcount+1;
88 param3d1(Sx1,Sy1,Sz1);
89  handler=gce();
90  handler.foreground=color('blue') //red marks
91  handler=get("current_axes");
92  handler.isoview="on"; handler.grid=[12,12];
93 param3d1(Sx2,Sy2,Sz2)
94  handler=gce();
95  handler.foreground=color('blue') //red marks
96  handler=get("current_axes");
97  handler.isoview="on"; handler.grid=[12,12];
98 end
99
100 Cx1=[];
101 Cy1=[];
102 Cz1=[];
103 for v=0:%pi/50:2*%pi
104   for u=-%pi/2:%pi/50:%pi/2
105     Cx1=[Cx1, (u)*cos(v)];
106     Cy1=[Cy1, (u)*sin(v)];
107     Cz1=[Cz1, (u)];
108   end
109 end
110
111 if fig_cone then
112   scf(gcf);gcount=gcount+1;
113   param3d1(Cx1,Cy1,Cz1)
114   handler=gce();
115 // handler.foreground=color('red') //red
116  handler.line_mode='off'
117  handler.mark_mode='on' //enable marks
118 // handler.mark_size=1
119  handler.mark_foreground=color('blue') //red marks
120  handler.mark_style=0 //dot
121  handler.mark_size=0
122  handler=get("current_axes");
123  handler.isoview="on"; handler.grid=[12,12];
124 end
125
126
127 if get_input then
128 p=mouse_input_2d(input('Numero di punti? '));
129 else
130 p=[[0,1];[1,0]]
131 end
132 //faster but wrong order for nice plot
133 // Cu = Bezier_casteljau(p,[0:0.02:1]);
134 // Crx = []
135 // Cry = []
136 // Crz = []
137 // for v=0:%pi/20:2*%pi
138 //   Crx = [Crx, Cu(1,:)*cos(v)];
139 //   Cry = [Cry, Cu(1,:)*sin(v)];

```

## Codici

---

```
140 //      Crz = [Crz, Cu(2,:)];
141 // end
142
143 Crx = [];
144 Cry = [];
145 Crz = [];
146 for u=0:0.1:1
147     for v=0:%pi/10:2*pi
148         Cu = Bezier_casteljau(p,u);
149         Crx = [Crx, Cu(1,:)*cos(v)];
150         Cry = [Cry, Cu(1,:)*sin(v)];
151         Crz = [Crz, Cu(2,:)];
152     end
153 end
154
155 if fig_rot then
156 scf(gcf); gcount=gcount+1;
157 param3d1(Crx,Cry,Crz);
158 handler = gce();
159 handler.foreground=color('blue') //red
160 handler.line_mode='on'
161 handler.mark_mode='off' //enable marks
162 // handler.mark_size=1
163 handler.mark_foreground=color('blue') //red marks
164 handler.mark_style=0 //dot
165 handler.mark_size=0
166 handler=get("current_axes");
167 handler.isoview="on"; handler.grid=[12,12];
168 end
169
170 Crigx = [];
171 Crigy = [];
172 Crigz = [];
173
174 for u=0:0.02:1
175     for v=0:1:1
176         Cu1 = [Bezier_casteljau(p,u);0.5];
177         Cu2 = [Cu1(2,:);Cu1(1,:);0];
178         Crigx = [Crigx, (1-v)*Cu1(1,:)+v*Cu2(1,:)];
179         Crigy = [Crigy, (1-v)*Cu1(2,:)+v*Cu2(2,:)];
180         Crigz = [Crigz, (1-v)*Cu1(3,:)+v*Cu2(3,:)];
181     end
182 end
183
184 if fig_rig then
185 scf(gcf); gcount=gcount+1;
186 for i=1:2:length(Crigx)-1
187     param3d1(Crigx(i:i+1),Crigy(i:i+1),Crigz(i:i+1));
188     handler = gce();
189     handler.foreground=color('blue') //red;
190     handler.line_mode='on';
191     handler.mark_mode='off' //enable marks
192     // handler.mark_size=1
193 end
194 //    param3d1()
195 handler=get("current_axes");
196 handler.isoview="on"; handler.grid=[12,12];
197 end
198
199 d=create_grid(6,6);
200 c=Bezier_patch_casteljau(d,[0:0.01:1],[0:0.01:1]);
201 if fig_bez then
202 scf(gcf); gcount=gcount+1;
203 plot_3d_grid(d,'red');
204 plot_3d_grid(c,'blue');
```

```

205 end
206
207
208 delev=create_grid(3,3);
209 delevated=Bezier_patch_degelev(delev);
210 delevated2=Bezier_patch_degelev(delevated);
211 cdegev=Bezier_patch_casteljau(delev,[0:0.02:1],[0:0.02:1]);
212 cdelev1=Bezier_patch_casteljau(delevated,[0:0.02:1],[0:0.02:1]);
213 cdelev2=Bezier_patch_casteljau(delevated2,[0:0.02:1],[0:0.02:1]);
214 if fig_degelev then
215 scf(gcount);gcount=gcount+1;
216 plot_3d_grid(delev,'red');
217 plot_3d_grid(delevated,'green');
218 plot_3d_grid(cdegev,'blue');
219 plot_3d_grid(cdelev1,'grey');
220
221 scf(gcount);gcount=gcount+1;
222 plot_3d_grid(delev,'red');
223 plot_3d_grid(delevated,'green');
224 plot_3d_grid(delevated2,'cyan');
225 plot_3d_grid(cdegev,'blue');
226 plot_3d_grid(cdelev1,'grey');
227 plot_3d_grid(cdelev2,'lightgrey');
228 end
229
230 subdiv=create_grid(3,3);
231 [s1,s2,s3,s4]=Bezier_patch_subdiv(subdiv,0.5);
232 cs0 = Bezier_patch_casteljau(subdiv,[0:0.05:1],[0:0.05:1]);
233 cs1=Bezier_patch_casteljau(s1,[0:0.1:1],[0:0.1:1]);
234 cs2=Bezier_patch_casteljau(s2,[0:0.1:1],[0:0.1:1]);
235 cs3=Bezier_patch_casteljau(s3,[0:0.1:1],[0:0.1:1]);
236 cs4=Bezier_patch_casteljau(s4,[0:0.1:1],[0:0.1:1]);
237 if fig_subdiv then
238 scf(gcount);gcount=gcount+1;
239 plot_3d_grid(subdiv,'magenta');
240 plot_3d_grid(s1,'black');
241 plot_3d_grid(s2,'blue');
242 plot_3d_grid(s3,'red');
243 plot_3d_grid(s4,'darkgreen');
244
245 plot_3d_grid(cs0,'lightgrey');
246 plot_3d_grid(cs1,'grey');
247 plot_3d_grid(cs2,'lightblue');
248 plot_3d_grid(cs3,'pink');
249 plot_3d_grid(cs4,'lightgreen');
250 end
251
252 subdiv=create_grid(3,3);
253 [s1,s2,s3,s4]=Bezier_patch_subdiv(subdiv,0.2);
254 cs0 = Bezier_patch_casteljau(subdiv,[0:0.05:1],[0:0.05:1]);
255 cs1=Bezier_patch_casteljau(s1,[0:0.1:1],[0:0.1:1]);
256 cs2=Bezier_patch_casteljau(s2,[0:0.1:1],[0:0.1:1]);
257 cs3=Bezier_patch_casteljau(s3,[0:0.1:1],[0:0.1:1]);
258 cs4=Bezier_patch_casteljau(s4,[0:0.1:1],[0:0.1:1]);
259 if fig_subdiv2 then
260 scf(gcount);gcount=gcount+1;
261 plot_3d_grid(subdiv,'magenta');
262 plot_3d_grid(s1,'black');
263 plot_3d_grid(s2,'blue');
264 plot_3d_grid(s3,'red');
265 plot_3d_grid(s4,'darkgreen');
266
267 plot_3d_grid(cs0,'lightgrey');
268 plot_3d_grid(cs1,'grey');
269 plot_3d_grid(cs2,'lightblue');

```

## Codici

---

```
270 plot_3d_grid(cs3 , 'pink');
271 plot_3d_grid(cs4 , 'lightgreen');
272 end
273
274
275 u = [0:0.025:1];
276 Ctrip = Bezier_tripatch_casteljau(d,u,u);
277
278 if fig_cast_tri then
279 scf(gcf);gcount=gcount+1;
280 plot_3d_tripatch(d,'red');
281 plot_3d_tripatch(Ctrip , 'blue');
282 end
283
284 u=[0:0.025:1];
285 d = create_grid(4,4)
286 Ctrip = Bezier_tripatch_casteljau(d,u,u);
287 d_tri_deg = Bezier_tripatch_degelev(d);
288 Cddeg = Bezier_tripatch_casteljau(d_tri_deg ,u,u);
289
290 if fig_tri_degelev then
291 scf(gcf);gcount=gcount+1;
292 plot_3d_tripatch(d,'red');
293 plot_3d_tripatch(d_tri_deg , 'green');
294 plot_3d_tripatch(Ctrip , 'pink');
295 plot_3d_tripatch(Cddeg , 'lightblue');
296 end
```

Plot di una griglia in 3d

```
1 function plot_3d_grid(g,colore)
2 [x,y,z] = size(g)
3 gt = []
4
5 for i=1:z
6 param3d1(g(1,:,:i),g(2,:,:i),g(3,:,:i));
7 handler = gce();
8 handler.foreground=color(colore)
9 end
10
11 for iz=1:z
12     gt(:,:,iz) = matrix(g(:,:,iz),3,-1)
13 end
14
15 for i=1:y
16     param3d1(gt(1,:,:i),gt(2,:,:i),gt(3,:,:i));
17     handler = gce();
18     handler.foreground=color(colore)
19 end
20
21 handler=get("current_axes");
22 handler.isoview="on";handler.grid=[12,12];
23
24 endfunction
```

Creazione di una griglia random per gli esempi

```
1 function d=create_grid(x,y)
2 d = []
3 for iy=1:y
4     for ix=1:x
5         d(:,:,ix,iy) = [ix ,iy ,rand()*(x+y)/2]
6     end
```

```
7 end
8 endfunction
```

### Plot griglia triangolare in 3D

```
1 function plot_3d_tripatch(g,colore)
2 [x,y,z] = size(g)
3 gt = []
4
5 for i=1:z
6     param3d1(g(1,1:y-i+1,i),g(2,1:y-i+1,i),g(3,1:y-i+1,i));
7     handler = gce();
8     handler.foreground=color(colore)
9 end
10
11 for iz=1:z
12     gt(:,:,iz) = matrix(g(:,:,iz),3,-1)
13 end
14
15 for i=1:y
16     param3d1(gt(1,1:y-i+1,i),gt(2,1:y-i+1,i),gt(3,1:y-i+1,i));
17     handler = gce();
18     handler.foreground=color(colore)
19 end
20
21 gtransp = g
22
23 for i=1:y
24     for j=1:z-i+1
25         gtransp(1:3,i,j) = g(1:3,i,z-i+1-j+1)
26     end
27 end
28 g
29
30 for i=1:y
31     param3d1(gtransp(1,1:y-i+1,i),gtransp(2,1:y-i+1,i),gtransp(3,1:y-i+1,i));
32     handler = gce();
33     handler.foreground=color(colore)
34 end
35
36 handler=get("current_axes");
37 handler.isoview="on";handler.grid=[12,12];
38 // handler.view="2d"
39 endfunction
```

## A.6 Mouse input

Listing:

```
1 function points = mouse_input_2d(n)
2 //plot([0,2],[0,2],'.')
3 //square(0,0,1,1);
4 plot([0,1],[0,1],'w.')
5 handler=get("current_axes");
6 handler.isoview="on";handler.grid=[12,12];
7 points=locate(n,1);
8 endfunction
```

## A.7 Lista di import per tutti gli script

Listing:

```
1 exec mouse_input_2d.sci;
2 exec crossprod.sci;
3 exec curvature.sci;
4 exec torsione.sci;
5 exec Bezier_casteljau.sci;
6 exec Bezier_degelev.sci;
7 exec Bezier_hodograph.sci;
8 exec Bezier_subdiv.sci;
9 exec RATBezier_casteljau.sci;
10 exec RATBezier_scalebeta.sci;
11 exec RATBezier_coniche.sci;
12 exec Bspline_deboor.sci;
13 exec Bspline_base.sci;
14 exec Bspline_curve.sci;
15 exec Bspline_plot_base.sci;
16 exec Bspline_knotins.sci;
17 exec Bspline_rational.sci;
18 exec Bezier_plot_base.sci;
19 exec l_par_unif.sci;
20 exec l_par_cl.sci;
21 exec l_par_centrip.sci;
22 exec Interp_c1.sci;
23 exec l_tang_fmill.sci;
24 exec l_tang_bessel.sci;
25 exec l_tang_c2_nat.sci;
26 exec l_tang_c2_nak.sci;
27 exec l_tang_c2_periodic.sci;
28 exec l_tang_nu_nat.sci;
29 exec l_tang_nu_closed.sci;
30 exec Bezier_patch_casteljau.sci;
31 exec plot_3d_grid.sci;
32 exec create_grid.sci;
33 exec Bezier_patch_degelev.sci;
34 exec Bezier_patch_subdiv.sci;
35 exec Bezier_tripatch_casteljau.sci;
36 exec plot_3d_tripatch.sci;
37 exec Bezier_tripatch_degelev.sci;
```

# Elenco delle figure

|      |  |    |
|------|--|----|
| 2.1  | Basi di Bernstein $B_i^n(t)$   | 10 |
| 2.2  | Basi di Bernstein di ventesimo grado                                     | 11 |
| 2.3  | Partizionamento dell'unità, la somma dei polinomi è evidenziata in rosso | 13 |
| 2.4  | Precisione lineare: polinomi di Bernstein                                | 15 |
| 2.5  | Esempio di curve di Bézier; in rosso il poligono di controllo            | 17 |
| 2.6  | Precisione lineare: curva e poligono di controllo                        | 19 |
| 2.7  | Controllo pseudolocale   | 20 |
| 2.8  | Tangenza agli estremi  | 22 |
| 2.9  | Esempio di hodograph prima e seconda e curvatura                         | 23 |
| 2.10 | Altro esempio di hodograph prima e seconda e curvatura                   | 24 |
| 2.11 | Esempi di elevazione del grado   | 27 |
| 2.12 | Esempio di subdivision   | 30 |
| 2.13 | Altro esempio di subdivision   | 31 |
| 2.14 | Esempio di curva tridimensionale con curvatura e torsione                | 32 |
| 2.15 | Altro sempio di curva tridimensionale con curvatura e torsione           | 33 |
| 2.16 | Linear precision Bézeir razionali  | 35 |
| 2.17 | Esempio di differenti distribuzioni dei pesi                             | 37 |
| 2.18 | Un altro esempio di differenti distribuzioni dei pesi                    | 38 |
| 2.19 | Rappresentazione di curve coniche  | 43 |
| 3.1  | Beziér-spline con continuità C0  | 46 |
| 3.2  | Beziér-spline con continuità C1  | 47 |
| 3.3  | Beziér-spline con continuità C2  | 49 |
| 3.4  | Beziér-spline con continuità G2  | 50 |
| 3.5  | Beziér-spline con continuità G2  | 51 |
| 3.6  | Base delle BSPLINE   | 54 |
| 3.7  | Parizione dell'unità   | 56 |
| 3.8  | Curve Bspline  | 60 |
| 3.9  | Molteplicità dei nodi  | 62 |
| 3.10 | Linear Precision   | 64 |

## ELENCO DELLE FIGURE

---

|  |     |
|--|-----|
| 3.11 End point interpolation . . . . .                       | 65  |
| 3.12 Derivata agli estremi . . . . .                         | 67  |
| 3.13 Knot Insertion . . . . .                                | 70  |
| 3.14 NURBS . . . . .   | 73  |
| 3.15 Circonferenza . . . . .                                 | 74  |
|  |     |
| 4.1 Parametrizzazioni a confronto . . . . .                  | 77  |
| 4.2 Schema FMILL . . . . .                                   | 80  |
| 4.3 Schema di Bessel . . . . .                               | 82  |
| 4.4 Spline $C^2$ naturale . . . . .                          | 85  |
| 4.5 Spline $C^2$ naturale, curve hodograph . . . . .         | 86  |
| 4.6 Spline $C^2$ not-a-knot . . . . .                        | 88  |
| 4.7 Spline $C^2$ not-a-knot, curve hodograph . . . . .       | 89  |
| 4.8 Spline $C^2$ periodica . . . . .                         | 90  |
| 4.9 Spline $C^2$ periodica, curve hodograph . . . . .        | 91  |
| 4.10 Spline $C^2$ naturale 3d . . . . .                      | 92  |
| 4.11 Spline $C^2$ not a knot 3d . . . . .                    | 93  |
| 4.12 Spline $C^2$ periodica 3d . . . . .                     | 94  |
| 4.13 $\nu$ -spline naturale . . . . .                        | 95  |
| 4.14 $\nu$ -spline chiusa . . . . .                          | 96  |
|  |     |
| 5.1 Sfera parametrica . . . . .                              | 99  |
| 5.2 Cono . . . . .   | 100 |
| 5.3 Curva di rotazione . . . . .                             | 102 |
| 5.4 Superficie rigata . . . . .                              | 104 |
| 5.5 de Casteljau 3d . . . . .                                | 107 |
| 5.6 Tangenza agli angoli . . . . .                           | 108 |
| 5.7 de Casteljau 3d . . . . .                                | 111 |
| 5.8 de Casteljau 3d . . . . .                                | 112 |
| 5.9 Subdivision . . . . .                                    | 114 |
| 5.10 Subdivision - 2d . . . . .                              | 115 |
| 5.11 Subdivision . . . . .                                   | 116 |
| 5.12 Subdivision - 2d . . . . .                              | 117 |
| 5.13 Patch di Bézier triangolari . . . . .                   | 123 |
| 5.14 Patch di Bézier triangolari, altro esempio . . . . .    | 124 |
| 5.15 Patch di Bézier triangolari: degree elevation . . . . . | 127 |
| 5.16 Patch di Bézier triangolari: degree elevation . . . . . | 128 |

# **Bibliografia**

- [1] David Salomon, Curves and Surfaces for Computer Graphics, Springer-Verlag
- [2] Les Piegl and Wayne Tiller, The NURBS Book, Springer-Verlag